

## MECANIQUE DES MILIEUX CONTINUS DEFORMABLES

-----

Première Partie : Généralités sur les milieux continus déformables.

### TABLE DES MATIERES

-----

#### Chapitre I    RAPPELS-NOTION DE TENSEUR

- I.1 Scalaires - vecteurs - tenseurs de rang 2
- I.2 Transformations
- I.3 Définition d'un tenseur
- I.4 Quadrique représentative
- I.5 Grandeur en valeur absolue d'une propriété physique dans une direction donnée
- I.6 Propriétés géométriques de la quadrique représentative
- I.7 Diagonalisation d'un tenseur. Détermination analytique des axes principaux du tenseur. Invariants d'un tenseur
- I.8 Construction du cercle de Mohr
- I.9 Ellipsoïde de la propriété

#### Chapitre II    CARACTERISTIQUES DES MATERIAUX - ESSAIS FONDAMENTAUX

- II.1 Essai de traction
- II.2 Essai de compression
- II.3 Essai de torsion
- II.4 Notion de contrainte
- II.5 Notion de déformation
- II.6 Diagrammes fondamentaux

#### Chapitre III    TENSEUR DES CONTRAINTES

- III.1 Définition-Notations. Contrainte sur une facette quelconque
- III.2 Répartition des contraintes autour d'un point
  - III.2.1. Quadrique de Cauchy. Eléments principaux en P
  - III.2.2 Invariants de  $\sigma_{ij}$
  - III.2.3 Ellipsoïde de Lamé
  - III.2.4 Recherche des éléments principaux quand on connaît à priori une direction principale  $\sigma_3$ .
  - III.2.5 Tricercle de Mohr
  - III.2.6 Tenseur déviateur
  - III.2.7 Contraintes octaédriques
- III.3 Equations d'équilibre
- III.4 Formes particulières prises par le tenseur des contraintes

## Chapitre IV      TENSEUR DES DEFORMATIONS

- IV.1 Déplacements et déformations
- IV.2 Déformations infinitésimales
  - IV.2.1 Signification géométrique des  $e_{ij}$
  - IV.2.2 Décomposition de la déformation : rotation et déformation pure
  - IV.2.3 Déformations pures
    - IV.2.3.1. Dilatation linéaire dans une direction quelconque
    - IV.2.3.2. Distorsion d'un angle quelconque
    - IV.2.3.3 Déformation d'un cube unitaire
    - IV.2.3.4 Déformation autour d'un point. Eléments principaux
  - IV.3 Formes particulières du tenseur des déformations
  - IV.4 Dilatation thermique

## Chapitre V      RELATIONS CONTRAINTES - DEFORMATIONS - TENSEUR - ELASTICITE

- V.1 Loi de Hooke
- V.2 Signification géométrique
- V.3 Les élasticités forment un tenseur de rang 4
- V.4 Notation matricielle
- V.5 Thermodynamique de la déformation
- V.6 Effet de la symétrie du cristal
- V.7 Cas des solides isotropes
- Exercice.

## Chapitre VI      ENERGIE DE DEFORMATION ET CRITERES DE RESISTANCE

- VI.1 Energie de déformation
  - VI.1.1 Forme différentielle
  - VI.1.2 Forme intégrée
  - VI.1.3 Energie de changement de volume et de changement de forme
- VI.2 Critères de résistance ou de plasticité
  - VI.2.1 Position du problème
  - VI.2.2 Matériaux ductiles - Matériaux fragiles
  - VI.2.3 Critère de Rankine
  - VI.2.4 Critère de Tresca-Coulomb
  - VI.2.5 Critère de Von Mises
  - VI.2.6 Critère de Stassi
  - VI.2.7 Courbes et surfaces intrinsèques
  - VI.2.8 Détermination expérimentale d'un critère
- VI.3 Calcul du coefficient de sécurité par le critère de Stassi
  - VI.3.1 Coefficient de sécurité et contrainte équivalente statiques
  - VI.3.2 Coefficient de sécurité dynamique

Chapitre VII LES EQUATIONS GENERALES DE LA THEORIE DE L'ELASTICITE

- VII.1 Rappels d'analyse vectorielle
- VII.2 Equations d'équilibre (méthode de Lamé et Clapeyron)  
Calcul des déplacements
- VII.3 Méthode des conditions de compatibilité  
calcul direct des contraintes. Equations de Beltrami  
Exercice.

Chapitre VIII METHODES EXPERIMENTALES D'ANALYSE DES CONTRAINTES

- VIII.1 Extensométrie
  - VIII.1.1 Principes généraux
  - VIII.1.2 Divers types d'extensomètres
  - VIII.1.3 Jauges de contraintes
- VIII.2 Photoélasticité
  - VIII.2.1 Rappels biréfringence - Milieux optiquement anisotropes
  - VIII.2.2 Principe de l'analyse des contraintes par photo-élasticité : isochromes, isoclines, isostatiques
- VIII.3 Méthodes analogiques : analogie électrique
  - VIII.3.1 Principe de la méthode
  - VIII.3.2 Signe des contraintes

Annexe I TENSEUR DEFORMATION EN COORDONNEES CYLINDRIQUES ET SPHERIQUES

Annexe II MATRICES  $(s_{ij})$  et  $(C_{ij})$  POUR LES 7 SYSTEMES CRISTALLINS

Annexe III TRACE DU RESEAU D'ISOSTATIQUES ET DETERMINATION DES CONTRAINTES PRINCIPALES SEPEAREES.

++++++  
++++++  
+

## MECANIQUE DES MILIEUX CONTINUS DEFORMABLES

\*\*\*\*\*

### Première partie : GENERALITES SUR LES MILIEUX CONTINUS DEFORMABLES

-----

#### INTRODUCTION

\*\*\*\*\*

Tous les matériaux soumis à des forces extérieures se déforment. Alors que la mécanique rationnelle n'étudie que le mouvement d'ensemble des corps considérés comme indéformables ("solide parfait"), la mécanique des milieux continus déformables a pour but de calculer les déformations dues aux forces extérieures. Ce calcul ne peut être réalisé qu'à partir de l'observation expérimentale et, en ce sens, on peut dire que la mécanique des milieux déformables est une branche de la physique, par opposition à la mécanique rationnelle. Toutefois, cette classification ne doit pas être considérée dans l'absolu et nous dirons simplement que nous sommes à la frontière de la mécanique et de la physique. D'ailleurs, ceci est bien illustré par le fait que, dans le cas des solides réels, on peut considérer que les deux phénomènes mouvement et déformation sont simplement superposés alors que pour les corps liquides ou gazeux déplacement et déformation ne peuvent plus être séparés distinctement. Ainsi la mécanique des milieux continus déformables comprend deux branches distinctes : - la mécanique des solides déformables - la mécanique des fluides.

L'observation et l'expérience jouent un rôle primordial en mécanique des milieux continus. Le fondement physique des calculs théoriques doit être clairement établi et si la théorie est nécessaire pour coordonner l'ensemble des faits expérimentaux, il est indispensable de vérifier les calculs par l'expérience. "L'expérience suggère et contrôle" (J. Mandel).

Dans ce cours, nous désirons présenter aux élèves-ingénieurs les théories générales de la mécanique des milieux continus (première partie) et les appliquer à la résistance des matériaux (deuxième partie).

Nous admettons par la suite que l'étudiant est familiarisé avec le calcul tensoriel. Dans le cas contraire, l'étudiant se reportera au premier chapitre du cours consacré à la notion de tenseur. .

## ELASTICITE - MECANIQUE DES MILIEUX CONTINUS

-----

## CHAPITRE I - Rappels - NOTION DE TENSEUR

-----

Introduction :

Il est parfaitement possible mais peu commode de présenter la théorie de l'élasticité sans faire appel aux tenseurs.

Dans le cadre de ce cours, nous ne donnerons pas (essentiellement pour des raisons de temps) de définition rigoureuse et générale de l'être mathématique appelé tenseur.

Nous nous contenterons de donner le sens physique des tenseurs dans le cas particulier de l'espace euclidien à trois dimensions en axes cartésiens.

Dans le cas de la Physique, la notion de tenseur est intimement liée à la définition de la grandeur représentée et à la façon dont cette grandeur se transforme dans un changement de coordonnées.

I.1.- Scalaires, vecteurs, tenseurs de rang 21°) Scalaires : ou tenseur d'ordre 0

Un scalaire est défini par un seul nombre et indépendant des axes de référence (donc indépendant de toute notion d'orientation). Citons parmi les grandeurs scalaires : masse, densité, température, volume.

2°) Vecteurs : Par opposition aux scalaires, il existe des grandeurs physiques très différentes, les vecteurs, qui sont inséparables de la notion de direction : c'est le cas par exemple d'une force ou de l'intensité du champ électrique, le gradient de température en un point.

Nous pouvons désigner un vecteur par  $E$ ,  $\vec{E}$ ,  $\vec{E}$

$E$  représentant l'intensité du vecteur. Nous choisissons cette convention.

Représentation d'un vecteur :

Choisissons un trièdre trirectangle  $Ox_1, Ox_2, Ox_3$ . Les composantes du vecteur sur les axes ( c'est-à-dire les projections du vecteur sur les axes) représentent le vecteur en intensité et directions.

$$\vec{E} \begin{vmatrix} E_1 \\ E_2 \\ E_3 \end{vmatrix} \quad \text{ou} \quad \vec{E} = [E_1, E_2, E_3]$$

Un vecteur est un tenseur de rang 1 (cf. suite)

Nous supposerons que le lecteur est familiarisé avec l'analyse vectorielle.

3°) Tenseur de rang 2 (ou d'ordre 2)

Nous pouvons généraliser la notion de vecteur. Appliquons un champ électrique, représenté par le vecteur  $\vec{E}$ , sur un conducteur. Il se produit un courant électrique.

La densité de courant (intensité par unité de surface perpendiculaire au courant) est représentée par le vecteur  $\vec{j}$ . Si le conducteur est isotrope et si la loi d'Ohm s'applique, on a

$$\vec{j} = \sigma \vec{E} \quad (1)$$

$\sigma$  = conductivité.

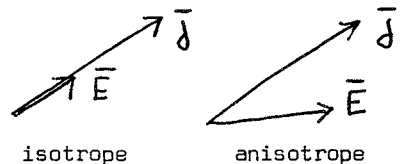
Si dans le système d'axes  $Ox_1, Ox_2, Ox_3$

$$j = [j_1, j_2, j_3] \quad \text{et} \quad \vec{E} = [E_1, E_2, E_3]$$

$$\text{On a} \quad j_1 = \sigma E_1 \quad j_2 = \sigma E_2 \quad j_3 = \sigma E_3 \quad (2)$$

chaque composante de  $\vec{j}$  est proportionnelle à la composante correspondante de  $\vec{E}$ .

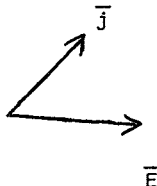
Par contre, si le conducteur est anisotrope (cas d'un cristal) la relation entre les composantes de  $\vec{j}$  et de  $\vec{E}$  n'a plus la forme simple de l'équation (2).



### I-3-

Remarque : Les cristaux du système cubique forment un groupe particulier dont la conductivité est isotrope.

L'équation (2) est remplacée, pour les cristaux, par les relations (3)

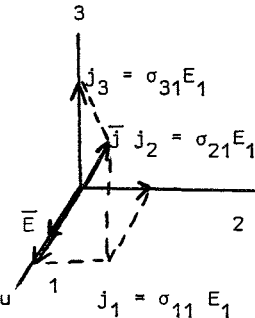
$$\left. \begin{aligned} j_1 &= \sigma_{11} E_1 + \sigma_{12} E_2 + \sigma_{13} E_3 \\ j_2 &= \sigma_{21} E_1 + \sigma_{22} E_2 + \sigma_{23} E_3 \\ j_3 &= \sigma_{31} E_1 + \sigma_{32} E_2 + \sigma_{33} E_3 \end{aligned} \right\} \quad (3)$$


$\sigma_{11}$ ,  $\sigma_{12}$ ... étant des constantes.

Chaque composante de  $\vec{j}$  est liée par une relation linéaire aux trois composantes de  $\vec{E}$  et  $\vec{j}$  n'a plus la même direction que  $\vec{E}$ . On peut donner aux coefficients  $\sigma_{ij}$  de (3) une signification physique.

Si le champ est appliqué parallèlement à l'axe 1.

$\vec{E} = [E_1, 0, 0]$  et les équations (3) deviennent (4) :

$$\left. \begin{aligned} j_1 &= \sigma_{11} E_1 \\ j_2 &= \sigma_{21} E_1 \\ j_3 &= \sigma_{31} E_1 \end{aligned} \right\} \quad (4)$$


Il y a donc des composantes de  $\vec{j}$  non seulement sur l'axe 1 mais aussi sur les autres axes : la composante dans la direction du champ est donnée par  $\sigma_{11}$  et les deux composantes transversales par  $\sigma_{21}$  et  $\sigma_{31}$ . De façon semblable,  $\sigma_{23}$  mesure la composante de  $\vec{j}$  parallèle à  $x_2$  quand le champ est parallèle à  $x_3$ .

Ainsi la conductivité d'un cristal est une propriété qui est décrite par neuf coefficients, que l'on peut écrire sous la forme d'un tableau carré, entre deux crochets, qui symbolise un tenseur de rang 2 :

$$\begin{bmatrix} \sigma_{11} & \sigma_{12} & \sigma_{13} \\ \sigma_{21} & \sigma_{22} & \sigma_{23} \\ \sigma_{31} & \sigma_{32} & \sigma_{33} \end{bmatrix} \rightarrow \begin{bmatrix} \sigma_{ij} \end{bmatrix} \downarrow \begin{matrix} \text{ligne} \\ \text{colonne} \end{matrix} \quad (5)$$

$\sigma_{ij}$  sont les composantes du tenseur.

Ainsi, nous avons introduit trois sortes de quantités :

- tenseur de rang zéro (scalaire) représenté par un seul nombre et indépendant de tout système de référence.
- tenseur de rang 1 (vecteur) caractérisé par trois nombres ou composantes qui sont associés à un système d'axes de référence.
- tenseur de rang 2 caractérisé par 9 nombres ou composantes dont chacun est associé à deux axes (pris dans un ordre déterminé).

La notation introduite traduit bien ces distinctions : scalaire s'écrit sans indice, les composantes d'un vecteur avec 1 indice, celles d'un tenseur de rang 2 avec deux indices. Le nombre des indices donne le rang du tenseur

D'une façon générale, si une propriété  $T$  lie deux vecteurs  $\vec{p} = (p_1, p_2, p_3)$  et  $\vec{q} = (q_1, q_2, q_3)$  de telle sorte que :

$$\begin{aligned} p_1 &= T_{11} q_1 + T_{12} q_2 + T_{13} q_3 \\ p_2 &= T_{21} q_1 + T_{22} q_2 + T_{23} q_3 \\ p_3 &= T_{31} q_1 + T_{32} q_2 + T_{33} q_3 \end{aligned} \quad (6)$$

$T_{ij}$ , étant des constantes, on dit que  $T_{ij}$  représente un tenseur de rang deux.

Un grand nombre de propriétés, en physique, font appel à des tenseurs de rang deux : exemple : conductivité électrique, thermique, perméabilité etc...

#### 4°) Notation des indices muets

Il faut simplifier les notations. Les équations (6) peuvent s'écrire :

$$p_i = \sum_{j=1}^3 T_{ij} q_j \quad (i = 1, 2, 3) \quad (7)$$



On supprime le signe  $\Sigma$

$$p_i = T_{ij} q_j \quad (i, j = 1, 2, 3) \quad (8)$$

en adoptant la convention d'Einstein : quand un indice intervient 2 fois dans un terme monôme, la sommation par rapport à cet indice est sous-entendue. Ainsi (6), (7) et (8) sont équivalentes. Dans l'équation (8), j est dit indice muet et i indice libre.

$$\begin{aligned} p_i & : \text{désigne vecteur } \vec{p} = [p_1, p_2, p_3] \\ q_i & : \text{désigne vecteur } \vec{q} \\ T_{ij} & : \text{désigne tenseur } [T_{ij}] \end{aligned}$$

## I.2.- Transformations

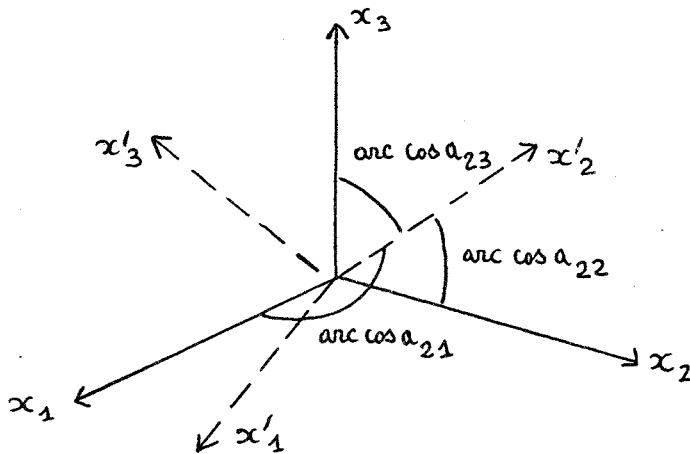
Dans l'équation (6), les valeurs des coefficients  $T_{ij}$  dépendent des axes de références choisis. Cependant, ces coefficients représentent toujours la même quantité physique : il doit donc exister une certaine relation entre les coefficients correspondant à des systèmes d'axes différents.

Lorsqu'on change le système de référence, seule change la méthode de représentation de la propriété physique mais la propriété elle-même reste inchangée.

Nous allons déterminer la loi de variation des neuf composantes  $T_{ij}$  d'un tenseur lors d'un changement d'axes.

### I.2.1.- Transformation des axes

Considérons un changement d'axes c'est-à-dire le passage d'un système d'axes trirectangles à un autre trirectangles ayant la même origine. Sur chaque axe, l'unité de longueur reste la même. Le premier système est  $x_1, x_2, x_3$ , le second  $x'_1, x'_2, x'_3$ .



Les relations angulaires liant les axes sont données par le tableau suivant (tableau des cos. directeurs).

		Anciens axes		
		$x_1$	$x_2$	$x_3$
Nouveaux	$x'_1$	$a_{11}$	$a_{12}$	$a_{13}$
	$x'_2$	$a_{21}$	$a_{22}$	$a_{23}$
	$x'_3$	$a_{31}$	$a_{32}$	$a_{33}$

(9)

Par exemple ; les cos directeurs de  $x'_2$  par rapport à  $x_1, x_2, x_3$  sont  $a_{21}, a_{22}$  et  $a_{23}$  et les cos directeurs de  $x'_3$  par rapport à  $x_1, x_2$  et  $x_3$  sont  $a_{31}, a_{32}$  et  $a_{33}$ . Ainsi :

$$a_{ij} = \cos \text{angle } (x'_i, x_j)$$

$\swarrow$   
nouveaux  
axes

$\searrow$   
anciens  
axes

Le tableau des  $a_{ij}$  est une matrice : désigné symboliquement par  $(a_{ij})$ . Les 9 composantes ne sont pas indépendantes les unes des autres. Vous pourrez d'ailleurs en exercice établir les relations qui existent entre les cos. directeurs  $a_{ij}$ .

Exercice n° 1 : Relations entre les cos. directeurs de la matrice  $(a_{ij})$ .

Montrer que trois quantités indépendantes suffisent pour définir la transformation d'axes ; cela revient à trouver 6 relations indépendantes entre les 9 coefficients  $a_{ij}$ . On considèrera : qu'une longueur unité reste égale à 1 et que 2 axes rectangulaires ont des cos. directeurs nuls. On utilisera le symbole de KRONECKER  $\delta_{ij} = \begin{cases} 1 & i=j \\ 0 & i \neq j \end{cases}$

		Anciens Axes		
		$x_1$	$x_2$	$x_3$
Nouveaux	$x'_1$	$a_{11}$	$a_{12}$	$a_{13}$
	$x'_2$	$a_{21}$	$a_{22}$	$a_{23}$
	$x'_3$	$a_{31}$	$a_{32}$	$a_{33}$

(1)

Les 9 coefficients  $a_{ij}$  ne sont pas indépendants. Considérons le nombre de degrés de liberté de la transformation : si les axes  $Ox_1$ ,  $Ox_2$  et  $Ox_3$  sont donnés, il faut 2 angles pour préciser la direction de  $Ox'_1$  (latitude et longitude). Les nouveaux axes peuvent encore tourner autour de  $Ox'_1$  et un autre angle, l'angle de rotation autour de  $Ox'_1$  est nécessaire pour les fixer complètement. Ainsi trois quantités indépendantes suffisent pour définir la transformation : nous devons donc trouver 6 relations indépendantes entre les 9 coefficients  $a_{ij}$ .

Chaque ligne du tableau (1) représente les 3 cos. directeurs d'une droite par rapport à 3 axes orthogonaux  $Ox_1$ ,  $Ox_2$ ,  $Ox_3$ . On a donc :

$$a_{11}^2 + a_{12}^2 + a_{13}^2 = 1 \quad a_{1k} a_{1k} = 1$$

$$a_{21}^2 + a_{22}^2 + a_{23}^2 = 1 \quad a_{2k} a_{2k} = 1$$

$$a_{31}^2 + a_{32}^2 + a_{33}^2 = 1 \quad a_{3k} a_{3k} = 1$$

ou  $\underline{a_{ik} a_{jk} = 1 \quad \text{si } i = j} \quad (2)$

De plus, 2 lignes successives du tableau (1) représentent les cos. directeurs de 2 axes rectangulaires.

On a :

$$\left. \begin{aligned} a_{11} a_{21} + a_{12} a_{22} + a_{13} a_{23} &= 0 & a_{1k} a_{2k} &= 0 \\ a_{21} a_{31} + a_{22} a_{32} + a_{23} a_{33} &= 0 & a_{2k} a_{3k} &= 0 \\ a_{31} a_{11} + a_{32} a_{12} + a_{33} a_{13} &= 0 & a_{3k} a_{1k} &= 0 \end{aligned} \right\}$$

$$\text{ou} \quad \underline{a_{ik} a_{jk} = 0 \quad \text{si } i \neq j} \quad (3)$$

Les équations (2) et (3) sont appelées relations d'orthogonalité (= 6)

On peut les exprimer en une seule équation :

$$\boxed{a_{ik} a_{jk} = \delta_{ij}} \quad (4)$$

$$\underline{\delta_{ij} = \text{symbole de KRONECKER}} = \begin{cases} 1 & i=j \\ 0 & i \neq j \end{cases} = \text{matrice unité } (\delta_{ij})$$

Le même raisonnement peut être fait pour les colonnes mais les relations n'apportent pas de renseignements nouveaux

Remarque : propriété de substitution des  $(\delta_{ij})$

Considérons la composante  $p_i$  d'un vecteur  $\vec{p}$

calculons  $\delta_{ij} p_i$  : on a  $\delta_{ij} p_i = p_j \Rightarrow$  on substitue  $j$  à  $i$

De même  $\delta_{ij} p_j = p_i$

Pour une composante tensorielle  $T_{jl}$  :  $\delta_{ij} T_{jl} = T_{il}$

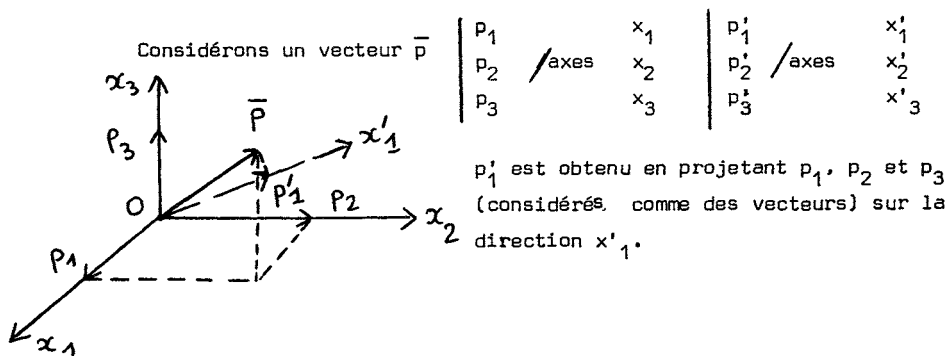
$$\delta_{il} T_{jl} = T_{ji}$$

$(\delta_{ij})$  est, pour cette raison, souvent appelée matrice de substitution.

Exercice n° 2 - Démontrer, par la notation des indices muets, que le carré de la longueur d'un vecteur  $[p_i]$  défini par  $p_i p_i$  est conservé dans un changement d'axes (une telle grandeur est un invariant)

$$p_i p_i = a_{ji} p'_j a_{ki} p'_k = \delta_{jk} p'_j p'_k = p'_k p'_k$$

### I.2.2.- Transformations des composantes d'un vecteur



$$p'_1 = p_1 \cos [x_1, x'_1] + p_2 \cos [x_2, x'_1] + p_3 \cos [x_3, x'_1]$$

Soit d'après (9)

$$p'_1 = a_{11} p_1 + a_{12} p_2 + a_{13} p_3 \quad (10.1)$$

De même  $p'_2 = a_{21} p_1 + a_{22} p_2 + a_{23} p_3 \quad (10.2)$

$$p'_3 = a_{31} p_1 + a_{32} p_2 + a_{33} p_3 \quad (10.3)$$

que l'on peut écrire selon la notation des indices muets :

$$p'_i = a_{ij} p_j \quad (11)$$

expression des nouveaux  $p$  en fonction des anciens.

On peut faire le même raisonnement pour la transformation inverse : on a alors

$$p_i = a_{ji} p'_j \quad (12)$$

expression des "anciens"  $p$  en fonction des "nouveaux".

Remarque -

#### Transformations des coordonnées d'un point

Les coordonnées d'un point  $P$   $\begin{vmatrix} x_1 \\ x_2 \\ x_3 \end{vmatrix}$  sont les composantes du vecteur  $\vec{OP}$ .

On a donc :

$$\begin{aligned} x'_i &= a_{ij} x_j \\ x_i &= a_{ji} x'_j \end{aligned} \quad (12 \text{ bis})$$

#### I.2.4.- Transformation des composantes d'un tenseur de rang deux

Les vecteurs  $\bar{p}$  et  $\bar{q}$  sont reliés entre eux par les 3 équations (6). Les valeurs particulières des coefficients  $T_{ij}$  dépendent du système d'axes choisi. Considérons un nouveau système d'axes  $x'_1, x'_2, x'_3$ . Les vecteurs  $\bar{p}$  et  $\bar{q}$  ont pour composantes  $p'_i$  et  $q'_i$ . Pour trouver les relations qui existent entre les nouvelles composantes, nous utiliserons la série d'équations suivantes :

$$p' \xrightarrow{(11)} p \xrightarrow{(8)} q \xrightarrow{(12)} q'$$

en fonction de

$$p'_i = a_{ik} p_k \qquad p_k = T_{kl} q_l \qquad q_l = a_{jl} q'_j$$

En combinant ces équations :

$$p'_i = a_{ik} T_{kl} a_{jl} q'_j : \text{or } p'_i = T'_{ij} q'_j$$

soit

$$T'_{ij} = a_{ik} a_{jl} T_{kl} \quad (13)$$

k et l sont des indices muets, alors que i et j sont des indices libres (représentés deux fois).

Les 9 composantes définies par la loi de transformation sont  
équations (13) permettent d'écrire dans les nouveaux axes les relations entre  $p'_i$  et  $q'_j$ .

#### Remarque : développement de l'équation (13)

Le développement se fait en deux étapes : d'abord / indice puis / l'autre l'ordre étant indifférent.

Développons / l :

$$T'_{ij} = a_{ik} a_{j1} T_{k1} + a_{ik} a_{j2} T_{k2} + a_{ik} a_{j3} T_{k3}$$

k est un indice muet dans chaque terme.

$$\begin{aligned} T'_{ij} = & a_{i1} a_{j1} T_{11} + a_{i2} a_{j1} T_{21} + a_{i3} a_{j1} T_{31} \\ & + a_{i1} a_{j2} T_{12} + a_{i2} a_{j2} T_{22} + a_{i3} a_{j2} T_{32} \\ & + a_{i1} a_{j3} T_{13} + a_{i2} a_{j3} T_{23} + a_{i3} a_{j3} T_{33} \end{aligned}$$

On comprend ainsi toute l'économie que représente la notation des indices muets : (13) représente un système de neuf équations, chacun ayant 9 termes dans son second membre.

Remarque 2 : transformation inverse

On considérera la série  $p \rightarrow p' \rightarrow q' \rightarrow q$  qui permet d'obtenir les anciennes composantes en fonction des nouvelles

$$p_i = a_{ki} p'_k \quad p'_k = T'_{kl} q'_l \quad q'_l = a_{lj} q_j$$

d'où

$$T_{ij} = a_{ki} a_{lj} T'_{kl} \quad (14)$$

Remarque 3 : moyen mnémotechnique

Dans la transformation (13), où les nouvelles composantes sont exprimées en fonction des anciennes, les indices muets sont aussi voisins que possible, alors que dans la transformation inverse (14) c'est le contraire. Il en est de même pour les lois de transformation vectorielle.

Remarque 4 : le tableau ci-dessous rassemble les lois de transformation d'un scalaire, vecteur, tenseurs de rang deux et plus ( nous utiliserons le tenseur élasticité qui est de rang 4). Ces lois de transformation sont d'une importance fondamentale, car elles forment la base de la définition d'un tenseur.

Nom	Rang	Nouveaux en fonction des anciens	Anciens en fonction des nouveaux
Scalaire	0	$\psi' = \psi$	$\psi = \psi'$
vecteur	1	$p'_i = a_{ij} p_j$	$p_i = a_{ji} p'_j$
Tenseur	2	$T'_{ij} = a_{ik} a_{jl} T_{kl}$	$T_{ij} = a_{ki} a_{lj} T'_{kl}$
	3	$T'_{ijk} = a_{il} a_{jm} a_{kn} T_{lmn}$	$T_{ijk} = a_{li} a_{mj} a_{nk} T'_{lmn}$
	4	$T'_{ijkl} = a_{im} a_{jn} a_{ko} a_{lp} T_{mnop}$	$T_{ijkl} = a_{mi} a_{nj} a_{ok} a_{pl} T'_{mnop}$

### I.3.- Définition d'un tenseur

Les lois de transformation des tenseurs sont d'une importance telle que nous pouvons les utiliser comme définition d'un tenseur. Déterminons leur signification profonde.

Prenons l'exemple du vecteur : on peut dire qu'un vecteur est une quantité qui se transforme dans un changement d'axes selon les équations (11).

Cette règle de transformation nous a été imposée par le fait que les 3 nombres  $p_i$  associés aux axes  $Ox_1$ ,  $Ox_2$  et  $Ox_3$  sont les composantes d'une grandeur physique qui se conserve dans le changement d'axes.

Ainsi dire que les 3 nombres  $p_i$  suivent la règle (11) revient à dire qu'ils sont les coordonnées sur  $Ox_i$  d'une grandeur physique invariante.

De même un tenseur de rang 2 représente une propriété physique à laquelle on attribue une existence propre en dehors des systèmes d'axes particuliers choisis. C'est la reconnaissance de cette existence (relation entre 2 grandeurs vectorielles) qui nous a conduit aux règles (13) et (14). Inversement on peut dire que quand ces règles sont respectées, cela signifie que l'on manipule "l'être" qui représente une propriété physique indépendante du système d'axes.

Remarque 1 : différence entre la matrice de transformation  $\{a_{ij}\}$  et le tenseur  $[T_{ij}]$   
 $\{a_{ij}\}$  et  $[T_{ij}]$  sont tous deux des tableaux de 9 nombres mais leur ressemblance se limite là.

$\{a_{ij}\}$  est un tableau de coefficients exprimant les relations entre deux systèmes d'axes. Par contre  $[T_{ij}]$  est une grandeur physique qui, pour un système d'axes donné, est représentée par 9 nombres.

#### Remarque 2 : Tenseurs symétriques et antisymétriques

Un tenseur  $[T_{ij}]$  est symétrique si  $T_{ij} = T_{ji}$   
 " " est antisymétrique si  $T_{ij} = -T_{ji} \Rightarrow$  ce qui implique que  $T_{ii} = 0$ .

La propriété de symétrie et d'antisymétrie d'un tenseur est indépendante des axes de référence.

On démontrera facilement que si on a  $T_{ij} = T_{ji} \Rightarrow T'_{ij} = T'_{ji}$

$$T'_{ij} = a_{ik} a_{jl} T_{kl} \quad T'_{ji} = a_{jl} a_{ik} T_{ik} = T'_{ij}$$

$$\quad \quad \quad \parallel$$

$$\quad \quad \quad T''_{kl}$$



I.4.- Quadrique représentative

Nous donnerons dans ce paragraphe la représentation géométrique d'un tenseur de rang 2.

Considérons l'équation

$$S_{ij} x_i x_j = 1 \quad (15)$$

où les  $S_{ij}$  sont des coefficients

Effectuons les sommations par rapport à  $i$  et  $j$  dans (15) et posons  $S_{ij} = S_{ji}$ .

On obtient :

$$S_{11} x_1^2 + S_{22} x_2^2 + S_{33} x_3^2 + 2 S_{23} x_2 x_3 + 2 S_{31} x_3 x_1 + 2 S_{12} x_1 x_2 = 1$$

c'est l'équation générale d'une surface du second degré ou quadrique rapportée à un système d'axes dont l'origine est en son centre. Cette quadrique est en général une ellipsoïde ou une hyperboloïde.

On peut transformer l'équation (15) dans un nouveau système d'axes en utilisant les équations (12 bis) donnant la transformation des coordonnées d'un point :

$$x_i = a_{ki} x'_k \quad x_j = a_{lj} x'_l$$

$$S_{ij} a_{ki} x'_k a_{lj} x'_l = 1$$

$$\text{d'où} \quad S'_{kl} x'_k x'_l = 1 \quad \text{avec} \quad \boxed{S'_{kl} = a_{ki} a_{lj} S_{ij}}$$

On s'aperçoit que cette loi de transformation est identique à celle d'un tenseur de rang 2.

Nous avons posé  $S_{ij} = S_{ji}$ . Donc les coefficients  $S_{ij}$  de la quadratique (15) se transforment comme les coefficients d'un tenseur symétrique de rang 2.

Pour savoir comment se transforment les composantes d'un tel tenseur, on examinera la transformation de la quadrique correspondante (15) qu'on appelle quadrique représentative du tenseur  $S_{ij}$ .

Tous les tenseurs de rang 2 (sauf un, le tenseur thermoélectrique) représentant les propriétés cristallines sont symétriques.

Ainsi la quadrique représentative peut être utilisée pour décrire n'importe quel tenseur symétrique de rang 2 ; en particulier on peut l'utiliser pour décrire n'importe quelle propriété cristalline représentée par un tel tenseur.

I.4.1.- Diagonalisation d'un tenseur. Axes principaux

Sans revenir en détail sur les propriétés des quadriques, on sait qu'elles possèdent des axes principaux : c'est-à-dire qu'il existe trois directions orthogonales telles que l'équation de la quadrique générale, rapportée à ces axes, s'écrit

$$S_1 x_1^2 + S_2 x_2^2 + S_3 x_3^2 = 1 \quad (16)$$

Un tenseur symétrique de rang 2 rapporté à ses axes principaux s'écrit de même :

$$\begin{array}{c} \text{axes arbitraires} \\ S_{ij} = \begin{bmatrix} S_{11} & S_{12} & S_{13} \\ S_{12} & S_{22} & S_{23} \\ S_{13} & S_{23} & S_{33} \end{bmatrix} \end{array} \Rightarrow \begin{array}{c} \text{axes principaux} \\ \begin{bmatrix} S_1 & 0 & 0 \\ 0 & S_2 & 0 \\ 0 & 0 & S_3 \end{bmatrix} \end{array}$$

$S_1, S_2, S_3$  sont les composantes principales du tenseur  $[S_{ij}]$

6 composantes indépendantes  $\Rightarrow$  3 mais le nombre de "degrés de liberté" reste égal à 6 car 3 quantités indépendantes sont nécessaires pour préciser les directions des axes et 3 autres pour déterminer les valeurs des composantes principales.

La comparaison de (16) à l'équation classique

$$\frac{x^2}{a^2} + \frac{y^2}{b^2} + \frac{z^2}{c^2} = 1 \quad (16 \text{ bis})$$

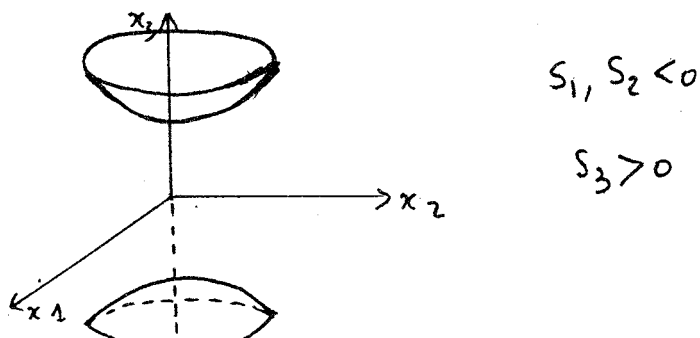
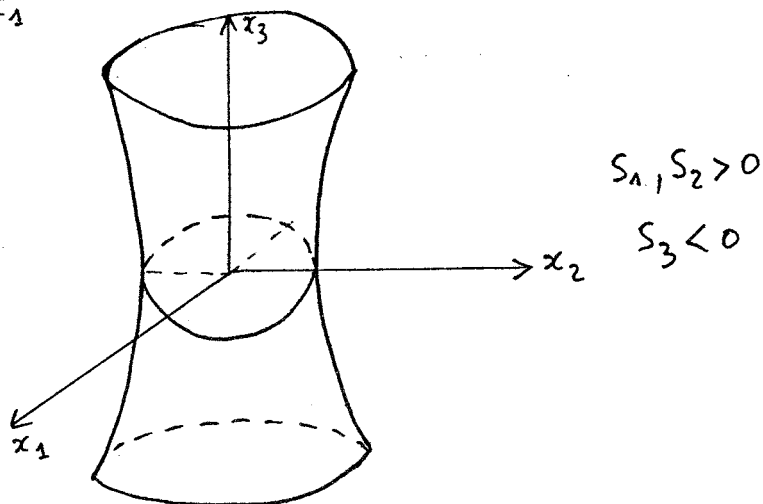
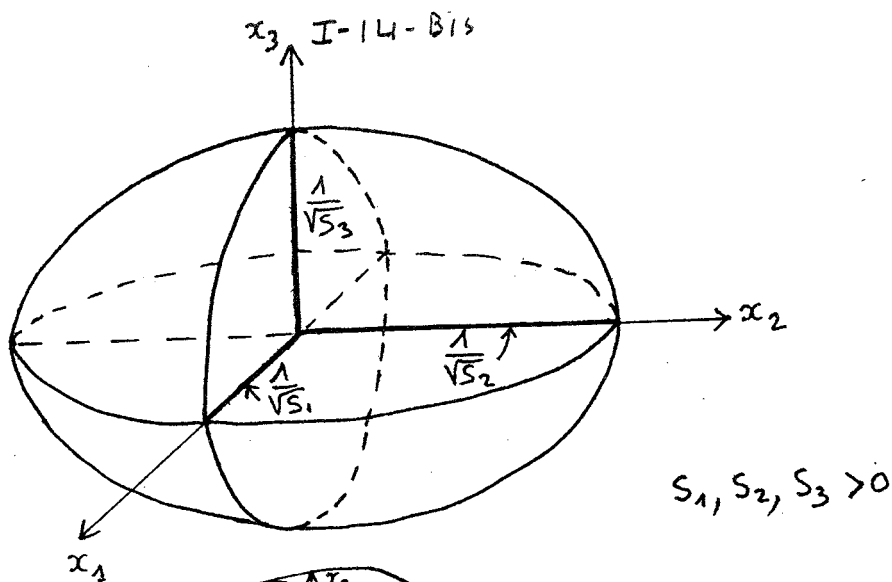
montre que les longueurs des demi axes de la quadrique sont  $\frac{1}{\sqrt{S_1}}, \frac{1}{\sqrt{S_2}}, \frac{1}{\sqrt{S_3}}$

Si  $S_1, S_2, S_3$  sont  $> 0$ , la surface est un ellipsoïde.

Si deux coefficients sont  $> 0$  et le troisième négatif, on a un hyperboloïde à une nappe (2 sections principales,  $\perp$  aux axes sont hyperboliques, l'autre étant elliptique).

Si un coefficient est  $> 0$  et les deux autres  $< 0$ , on a un hyperboloïde à 2 nappes : 2 sections principales sont des hyperboles et la troisième est une ellipse imaginaire.

Enfin si 3  $< 0 \Rightarrow$  ellipsoïde imaginaire.



#### I.4.2.- Simplification des équations quand elles sont ramenées aux axes principaux

Reprenons l'équation liant le vecteur  $\vec{p}$  au vecteur  $\vec{q}$

$$p_i = T_{ij} q_j \quad (17)$$

Si  $\begin{bmatrix} T_{ij} \end{bmatrix}$  est symétrique, on a  $p_i = S_{ij} q_j$

Si  $\begin{bmatrix} S_{ij} \end{bmatrix}$  est rapporté à ses axes principaux, (17) s'écrit alors :

$$p_1 = S_1 q_1 \quad p_2 = S_2 q_2 \quad p_3 = S_3 q_3 \quad (17 \text{ bis})$$

Si  $q$  est dirigé selon l'un quelconque des 3 axes principaux,  $p$  est alors parallèle à  $q$ .

#### I.5.- Grandeur en valeur absolue d'une propriété physique dans une direction donnée

Définition :

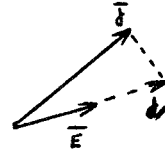
Si on a une propriété tensorielle du type  $p_i = S_{ij} q_j$ , l'intensité  $S$  de la propriété  $\begin{bmatrix} S_{ij} \end{bmatrix}$  dans une certaine direction s'obtient en appliquant  $\vec{q}$  dans cette direction et en mesurant  $P//q$ ,  $P//$  étant la composante de  $\vec{p}$  parallèle à  $\vec{q}$ .

Expressions analytiques

Considérons l'exemple de la conductivité.

1°) par rapport aux axes principaux : axes de référence sont les axes principaux de conductivité.

Considérons une direction  $\begin{vmatrix} l_1 \\ l_2 \\ l_3 \end{vmatrix}$  = cos directeur



ces directeur = composantes du vecteur unitaire // direction. On applique  $\vec{E}$  dans cette direction  $\vec{E} = (l_1 E, l_2 E, l_3 E)$ . Soit d'après (17 bis)

$$\vec{J} = (\sigma_1 l_1 E, \sigma_2 l_2 E, \sigma_3 l_3 E)$$

La composante de  $\vec{J}_{//}$  à  $\vec{E}$  est la somme des projections des composantes de  $\vec{J}$  sur  $\vec{E}$  soit :

$$J_{//} = l_1^2 \sigma_1 E + l_2^2 \sigma_2 E + l_3^2 \sigma_3 E$$

L'intensité  $\sigma$  de la conductivité dans la direction  $l_1$  est donc :

$$\sigma = l_1^2 \sigma_1 + l_2^2 \sigma_2 + l_3^2 \sigma_3 \quad (18)$$

$$l_1^2 + l_2^2 + l_3^2 = 1$$

## 2) Par rapport à des axes quelconques

Soient  $l_i$  les cos directeurs de  $\vec{E}$  par rapport aux axes

$$E_i = E l_i$$

$$J_i = \sigma_{ij} E_j$$

$$j_{//} = \frac{\vec{J} \cdot \vec{E}}{E} = \frac{J_i E_i}{E} \leftarrow \text{produit scalaire en notation tensorielle}$$

Dans la direction  $l_i$ , la conductivité est donc :

$$\sigma = \frac{j_{//}}{E} = \frac{J_i E_i}{E^2} = \frac{\sigma_{ij} E_j E_i}{E^2} = \sigma_{ij} l_i l_j$$

$$\boxed{\sigma = \sigma_{ij} l_i l_j} \quad (19)$$

(19) est l'expression générale

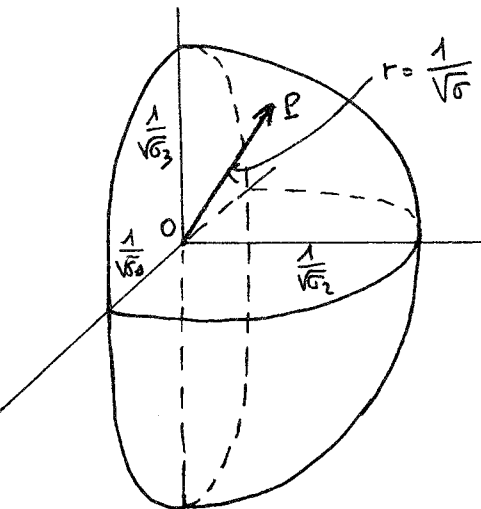
(18) étant 1 cas particulier

L'équation (19) est valable si le tenseur n'est pas symétrique.

## I.6.- Propriétés géométriques de la quadrique représentative

## I.6.1.- Longueur du rayon vecteur

Soit P un point quelconque de l'ellipsoïde  $\sigma_{ij} x_i x_j = 1$



$$\overline{OP} \begin{vmatrix} l_1 \\ l_2 \\ l_3 \end{vmatrix} \quad P \quad \left| \begin{array}{l} x_1 = r l_1 \end{array} \right.$$

cos dir.

si  $OP = r$

$$\text{Soit } \sigma_{ij} x_i x_j = 1 = r^2 \sigma_{ij} l_i l_j = 1$$

$$\text{D'après (19) } \sigma = \frac{1}{r^2} \quad \boxed{r = \frac{1}{\sqrt{\sigma}}} \quad (20)$$

Ce raisonnement s'applique à toutes les propriétés représentées par un tenseur symétrique de rang 2  $[S_{ij}]$

$$S = \frac{1}{r^2} \quad r = \frac{1}{\sqrt{S}}$$

$S$  = intensité de la propriété dans la direction

# I-17-

Remarque : Si la quadrique  $S_{ij} x_i x_j = 1$  est un hyperboloïde ou un ellipsoïde imaginaire, quand les longueurs des rayons vecteurs sont imaginaires, on considèrera alors la quadrique :

$$S_{ij} x_i x_j = -1$$

que le rayon vecteur coupe en un point réel et on aura :  $a :$

$$s = -\frac{1}{r^2} \quad r = \frac{1}{\sqrt{-s}}$$

- cas de l'hyperboloïde à 2 nappes :  $-1$  : est transformé en hyperboloïde à 1 nappe
- cas de l'hyperboloïde à 1 nappe :  $-1 \Rightarrow 2$  nappes
- ou ellipsoïde imaginaire :  $-1 \Rightarrow$  réel

## I.6.2.- Propriété de la normale au rayon vecteur

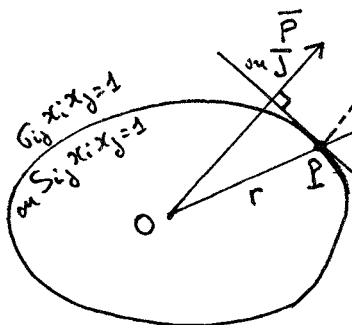
Prenons pour  $Ox_i$  les axes principaux de  $\sigma_{ij}$ .

$$\bar{E} = \{l_1 E, l_2 E, l_3 E\} \quad \bar{J} = \{\sigma_1 l_1 E, \sigma_2 l_2 E, \sigma_3 l_3 E\}$$

Si  $P$  est un point de la surface représentative du tenseur.

$$\sigma_1 x_1^2 + \sigma_2 x_2^2 + \sigma_3 x_3^2 = 1$$

tel que  $OP$  soit parallèle à  $\bar{E}$  :  $P \begin{vmatrix} r l_1 \\ r l_2 \\ r l_3 \end{vmatrix} \quad OP = r$



L'équation du plan tangent en  $P$  est :

$$r l_1 \sigma_1 x_1 + r l_2 \sigma_2 x_2 + r l_3 \sigma_3 x_3 = 1$$

(généralisation de l'équation de la tangente à 1 ellipse). Les cos directeurs de la normale en  $P$  sont proportionnels à :

$$l_1 \sigma_1, l_2 \sigma_2, l_3 \sigma_3.$$

En effet considérons un point  $M \begin{pmatrix} x_1 \\ x_2 \\ x_3 \end{pmatrix}$  du plan tangent ; le produit  $\overrightarrow{PM} \cdot \overrightarrow{\text{normale}}$  doit être nul.

$$\text{soit : } r_1 \sigma_1 (x_1 - r_1) + r_2 \sigma_2 (x_2 - r_2) + r_3 \sigma_3 (x_3 - r_3) = 0$$

Le point  $M$  vérifiant l'équation du plan tangent en  $P$ , cette égalité est satisfaite : les cos directeurs de la normale en  $P$  sont donc bien prop à  $l_1 \sigma_1, l_2 \sigma_2, l_3 \sigma_3$ . La normale en  $P$  est par conséquent parallèle à  $\vec{j}$ .

Ce résultat est général : si  $p_i = S_{ij} q_j$ , on peut déterminer la direction de  $\vec{p}$  lorsque  $\vec{q}$  est donné en menant d'abord parallèlement à  $\vec{q}$  un rayon vecteur  $OP$  de la quadrique représentative et en menant ensuite la normale en  $P$  à la quadrique.

Remarque : si on a un point imaginaire, on considérera alors la quadrique  $S_{ij} x_i x_j = -1$  point réel : (normale vers l'intérieur).

#### I.7.- Diagonalisation d'un tenseur. Détermination analytique des axes principaux du tenseur. Invariants d'un tenseur.

Nous avons dit au paragraphe I.4. que l'équation de la quadrique représentative  $S_{ij} x_i x_j = 1$  ( $S_{ij} = S_{ji}$ ) pouvait se simplifier en  $S_1 x_1^2 + S_2 x_2^2 + S_3 x_3^2 = 1$  par un changement d'axes. Aux points d'intersection de la quadrique avec ses axes principaux, la normale à la quadrique est parallèle au rayon vecteur. Considérons un point  $P$  quelconque de la quadrique :  $\overrightarrow{OP} \parallel x_i$ . Nous avons vu (propriété du rayon-normale) que le vecteur  $S_{ij} x_j$  est parallèle à la normale en  $P$ . Pour les axes principaux le vecteur  $S_{ij} x_j$  est  $\parallel$  à  $x_j$  : ceci s'écrit :

$$S_{ij} x_j = \lambda x_i \quad (21)$$

$\lambda = C^{te}$ . (21) est un ensemble de 3 équations linéaires et homogènes des variables  $x_i$ . Pour que la solution soit différente de  $x_i = 0$ , le déterminant des coefficients  $F(\lambda)$  doit être nul

$$F(\lambda) \equiv \begin{vmatrix} S_{11}-\lambda & S_{12} & S_{31} \\ S_{12} & S_{22}-\lambda & S_{23} \\ S_{31} & S_{23} & S_{33}-\lambda \end{vmatrix} = 0 \quad (22)$$

$$\text{ou } F(\lambda) \equiv \begin{vmatrix} S_{ij} - \lambda \delta_{ij} \end{vmatrix} = 0 \quad (23)$$

Cette équation du 3ème degré en  $\lambda$  est appelée équation séculaire. Les 3 racines  $\lambda', \lambda'', \lambda'''$  sont les 3 valeurs possibles de  $\lambda$  qui permettent à l'équation (21) de posséder une solution  $\neq 0$ . Chaque racine définit une direction pour laquelle le rayon vecteur de la quadrique est  $\parallel$  à la normale. Cette direction est

un axe principal.

Les trois directions sont perpendiculaires 2 à 2 : considérons 2 d'entre elles définies par  $\lambda'$  et  $\lambda''$ . Soient  $x'_i$  et  $x''_i$  les 2 rayons vecteurs correspondant :

$$\left. \begin{aligned} S_{ij} x'_j &= \lambda' x'_i \\ S_{ij} x''_j &= \lambda'' x''_i \end{aligned} \right\} \begin{aligned} &\times x''_i \\ &\times x'_i \end{aligned}$$

Multiplions la 1ère par  $x''_i$  et la 2ème par  $x'_i$  et soustrayons

$$\text{On a } S_{ij}(x'_j x''_i - x''_j x'_i) = (\lambda' - \lambda'') x'_i x''_i$$

Puisque  $S_{ij} = S_{ji}$ , le 1er membre est nul donc  $x'_i x''_i = 0$

Le produit scalaire de  $x'_i$  et  $x''_i$  est nul : les 2 vecteurs sont perpendiculaires.

#### Direction des axes principaux

On résout l'équation (22) par rapport à  $\lambda$ . Avec une des valeurs de  $\lambda$  on forme les 3 équations (21):  $S_{ij} x'_j = \lambda' x'_i$  et on détermine les valeurs  $x'_1, x'_2, x'_3$ . On recommence pour  $\lambda'' : x''_1, x''_2, x''_3$ . La 3ème direction est perpendiculaire aux 2 autres.

#### Longueur des axes principaux

$$S_{ij} x'_j = \lambda' x'_i \quad \text{multiplions les 2 membres par } x'_i$$

$$S_{ij} x'_j x'_i = \lambda' x'_i x'_i = 1 \quad x'_i \text{ étant un rayon vecteur.}$$

La longueur du rayon vecteur correspondant à  $\lambda'$  est donc :

$$\sqrt{(x'_i x'_i)} = \frac{1}{\sqrt{\lambda'}}$$

Les axes principaux ont pour longueur  $\frac{1}{\sqrt{S_1}} \quad \frac{1}{\sqrt{S_2}} \quad \frac{1}{\sqrt{S_3}}$

donc

$$\boxed{S_1 = \lambda' \quad S_2 = \lambda'' \quad S_3 = \lambda'''} \quad (24)$$

Les 3 racines de (22) sont égales aux 3 coefficients principaux  $S_1, S_2, S_3$ .



Remarque : moyen mnémotechnique : si la quadrique est déjà rapportée à ses axes principaux, l'équation séculaire est alors :

$$\begin{vmatrix} S_1 - \lambda & 0 & 0 \\ 0 & S_2 - \lambda & 0 \\ 0 & 0 & S_3 - \lambda \end{vmatrix} = 0$$

$(S_1 - \lambda) (S_2 - \lambda) (S_3 - \lambda) = 0$  dont les racines sont évidemment  $S_1, S_2, S_3$ .

#### Invariants d'un tenseur

L'équation séculaire (22) permettant de diagonaliser le tenseur s'écrit si on la développe

$$-\lambda^3 + I_1 \lambda^2 - I_2 \lambda + I_3 = 0$$

avec  $I_1 = S_{ii} = S_{11} + S_{22} + S_{33}$

$$I_2 = \frac{1}{2} (S_{ii} S_{jj} - S_{ij}^2)$$

$$= S_{11} S_{22} + S_{22} S_{33} + S_{33} S_{11} - S_{12}^2 - S_{13}^2 - S_{23}^2$$

$$I_3 = \begin{vmatrix} S_{ij} \end{vmatrix} = \text{déterminant de la matrice des } S_{ij}.$$

Cette équation doit conserver les mêmes racines si on change d'axes puisque les valeurs propres sont constantes (axes principaux du tenseur, leur longueur étant égale aux racines). Par conséquent  $I_1, I_2$  et  $I_3$  sont les trois invariants d'un tenseur.

## CHAPITRE II

## CARACTERISTIQUES DES MATERIAUX

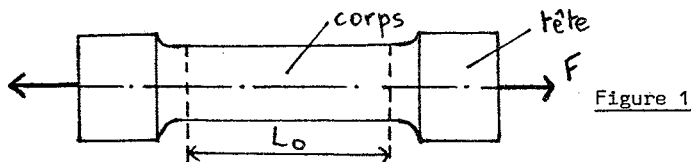
## ESSAIS FONDAMENTAUX

## II-1. - Essai de traction

L'essai de traction consiste à soumettre un échantillon à des contraintes longitudinales qui tendent à l'allonger ou même à le casser. On trace ainsi un diagramme effort-déformation.

Dans une machine de traction, les extrémités de l'éprouvette sont solidaires de deux traverses rigides : l'une est fixe, l'autre est rendue mobile par un dispositif à vis ou hydraulique. Une vitesse de déplacement constante est imposée à la traverse mobile et on mesure la charge à chaque instant grâce à des capteurs électriques ou à des dispositifs mécaniques ou hydrauliques. Les variations de la charge  $F$  en fonction de l'élongation  $\Delta L = L - L_0$  sont mesurées : on obtient ainsi une courbe de traction.

L'essai de traction doit être réalisé dans des conditions précises, sur des éprouvettes normalisées. On utilise très souvent des éprouvettes cylindriques dont les extrémités (têtes) de diamètre supérieur sont raccordées à la partie utile (corps) par des congés de grand rayon (fig. 1).



La forme générale d'une courbe de traction est indiquée par la figure 2. Elle se compose de deux parties :

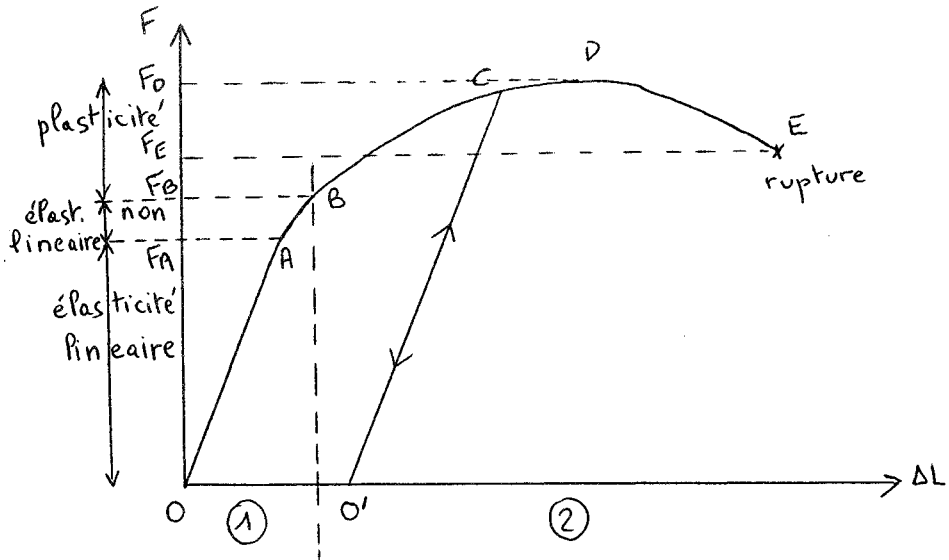


Figure 2

- zone 1 : zone élastique (zone OAB) le solide reprend son état initial dès que la charge est supprimée. Dans ce cas la transformation est parfaitement réversible : la relation effort-déformation est univoque.

La courbe OB est constituée de deux parties :

- une partie rectiligne OA (pour une charge  $F_A$ )
- une partie légèrement courbée AB (pour une charge  $F_A < F_B$ ). La partie OA est dite zone d'élasticité linéaire et  $F_A$  est la limite d'élasticité proportionnelle. La partie AB est dite zone d'élasticité non linéaire et  $F_B$  est la limite d'élasticité.

Remarque : la signification de ces limites est toute relative car elle dépend de la précision des mesures.

- zone 2 : (zone BOE) zone plastique : lorsqu'on supprime l'effort, l'éprouvette ne revient pas à son état initial mais garde une déformation permanente ou plastique.

Si on fait croître la charge jusqu'en C puis si on fait décroître, on décrit la courbe CD', OO' représentant l'allongement permanent. La courbe CD' est pratiquement parallèle à la courbe OA. Si après cette expérience, on procède à une nouvelle charge on constate que la limite élastique du matériau  $F_C$  est plus grande que précédemment ( $F_C > F_B$ ). C'est le phénomène d'écrouissage : la limite élastique a été augmentée mais le matériau est plus fragile.

Dans la zone BD, les allongements sont répartis uniformément dans l'éprouvette (plasticité répartie) alors que dans la zone DE, les allongements deviennent localisés : la déformation a lieu dans une région très limitée de l'éprouvette dont la section diminue rapidement : c'est le phénomène de striction ou plasticité localisée (fig. 3).

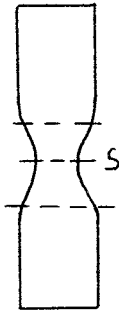


Figure 3

La striction précède de peu la rupture qui a lieu dans la section la plus réduite en  $S$  pour une charge ultime  $F_E$ . En fait la rupture commence en  $D$  et la charge  $F_D$  est appelée charge de rupture ou charge maximum.

## II.2 - Essai de compression

Dans l'essai de compression peut apparaître le phénomène de flambage pour les éprouvettes longues (fig. 4). On dit qu'il y a flambage quand sous l'action d'un effort axial une éprouvette fléchit. Pour éviter le phénomène de flambage, il faut que le rapport longueur sur diamètre soit petit. En général, la longueur ne doit pas excéder 3 fois le diamètre.

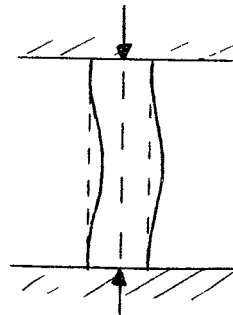


Figure 4

Mais dans ce cas le rôle des faces d'appui devient important : la dilatation des extrémités de l'éprouvette est gênée par le frottement entre les extrémités et les plateaux de compression (problème de la liaison d'extrémité). Ainsi les extrémités de l'éprouvette de compression ont tendance à garder leur diamètre

initial alors que la section centrale se dilate donnant à l'éprouvette une forme de tonneau (fig. 5).

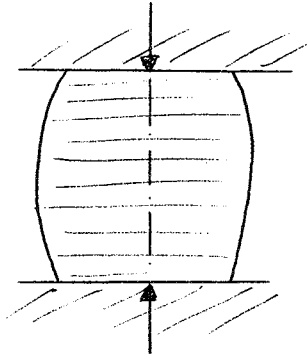


Figure 5

### II.3 - Essai de torsion

-----

Ce type d'essai permet essentiellement de déterminer les caractéristiques des matériaux aux grandes déformations. En effet, dans le cas de la torsion, il n'y a pas de modification de la forme de l'éprouvette et par conséquent la striction n'existe pas.

L'essai de torsion consiste en la mesure de la déformation angulaire  $\alpha$  en fonction du couple  $C$  appliqué aux extrémités du cylindre (fig.6).

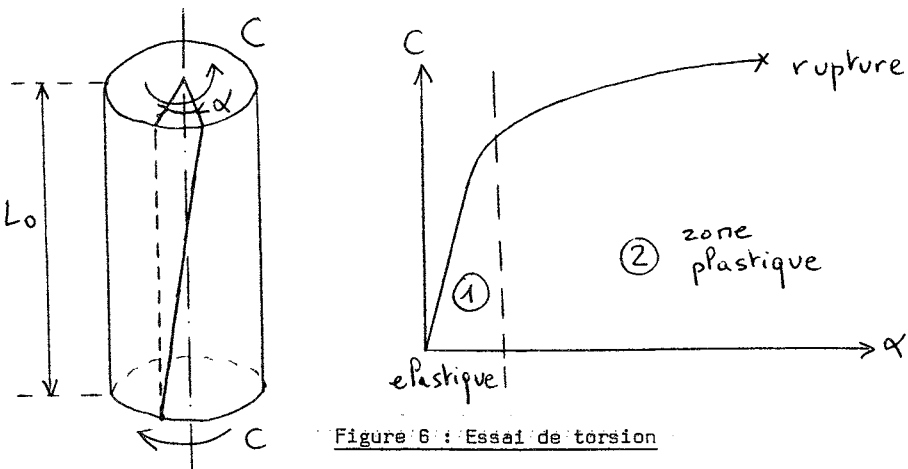


Figure 6 : Essai de torsion

Le diagramme de torsion a l'allure indiquée par la figure 6. On remarque les mêmes domaines qu'en traction :

- les déformations sont d'abord proportionnelles au couple : c'est le domaine élastique. La longueur du cylindre  $L_0$  est constante.

- les déformations deviennent ensuite permanentes : c'est la zone plastique. La longueur augmente très légèrement alors que le diamètre de l'éprouvette subit une légère diminution.

Il faut remarquer que tous les points décrivent des arcs de cercle même dans le domaine plastique. Dans l'essai de torsion, la déformation n'est pas homogène : elle est nulle sur l'axe et maximale sur la surface. Pour avoir une déformation homogène, on utilise parfois un tube à paroi très mince. Mais les difficultés pratiques d'usinage et les phénomènes de flambage rendent difficile ce genre d'essais.

#### II.4 - Notion de contrainte

##### II.4.1. - Définition

Un solide est en état de contrainte quand il est soumis à l'action des forces extérieures.

Un élément de volume à l'intérieur d'un corps en état de contrainte est soumis à deux catégories de forces :

1 - les forces de volume : dues à des champs de force (comme, par exemple, la pesanteur) qui s'exerce sur tous les éléments de volume. Les forces de volume sont proportionnelles au volume de l'élément.

2 - les forces de surface : exercées sur la surface de l'élément par le milieu qui l'entoure. Elles sont proportionnelles à la surface externe de l'élément. La force par unité de surface est appelée "contrainte".

Considérons un corps en équilibre soumis à l'action de forces extérieures  $F_1, F_2 \dots F_n \dots$ . Sous l'action de ces forces extérieures, des forces intérieures vont prendre naissance. Pour étudier la grandeur de ces forces en un point quelconque P, séparons le corps en deux parties I et II par un plan quelconque  $\pi$  passant par le point P. Considérons l'une des parties I. (fig 7).

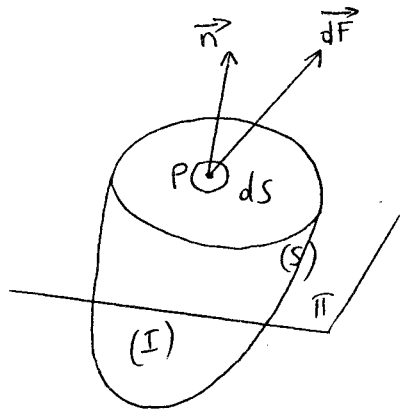
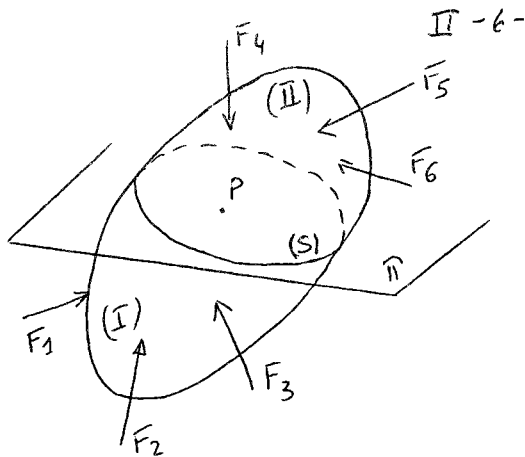


Figure 7

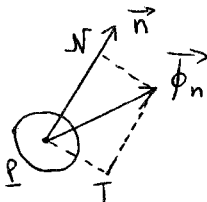
Elle est en équilibre sous l'action des forces extérieures qui lui sont appliquées et des forces intérieures réparties sur la section transversale (S) du corps par le plan  $\pi$  qui représentent l'action de la partie II sur la partie I. On admet que ces forces intérieures sont réparties d'une manière continue sur la surface (S). Si on considère un élément de surface  $dS$  appartenant à la section (S) et passant par le point P, les actions exercées par la partie II sur la partie I à travers  $dS$  ont pour résultante  $\vec{dF}$ .

La limite de  $\left(\frac{\vec{dF}}{dS}\right)$  quand  $dS$  tend vers 0 donne la contrainte agissant sur la section (S) au point P.

$$\lim_{dS \rightarrow 0} \left(\frac{\vec{dF}}{dS}\right) = \vec{\sigma}_n$$

contrainte au point P sur la facette  $dS$  dont l'orientation est définie par la normale  $\vec{n}$  à la facette (la normale est orientée vers l'extérieur de la partie isolée I).

Une contrainte est une grandeur vectorielle. On a l'habitude de décomposer la contrainte en deux composantes (fig. 8) :



- $\overline{PN} = \sigma$  : composante normale de la contrainte ou contrainte normale ( $\sigma > 0$  correspond à une tension,  $\sigma < 0$  à une compression).
- $\overline{PT} = \tau$  : composante tangentielle de la contrainte ou contrainte tangentielle (ou de cisaillement) ou cission.

Figure 8

L'équation aux dimensions d'une contrainte est

$$\frac{LMT^{-2}}{L^2} = M L^{-1} T^{-2}$$

L'unité de contrainte du système international est le Pascal (symbole Pa) :

$$1 \text{ Pa} = \frac{1 \text{ N}}{1 \text{ m}^2}$$

On utilise couramment comme unités : bar et hectobar :

$$\begin{aligned} \text{bar} &= \frac{\text{daN}}{\text{cm}^2} = 10^5 \text{ Pa} \\ 1 \text{ hbar} &= \frac{\text{daN}}{\text{mm}^2} = 10^7 \text{ Pa} \end{aligned}$$

On exprime encore les contraintes en  $\text{kgf/mm}^2$  :

$$g = 9,81 \text{ m/s}^2 \quad 1 \text{ kgf/mm}^2 = 9,81 \cdot 10^6 \text{ Pa}$$

soit sensiblement

$$1 \text{ kgf/mm}^2 \approx 1 \text{ hbar}$$

#### II.4.2. - Equilibre - Réduction des forces extérieures

Quand on réalise une coupure dans un solide comme précédemment, la partie isolée reste en équilibre sous l'action d'une part des forces extérieures qui lui sont appliquées et d'autre part des actions de contact identiques aux actions de la partie enlevée. Le corps étant en équilibre, le système des forces appliquées à la partie isolée est donc équivalent à zéro. Ce système comprend :

- d'une part le système des forces extérieures appliquées à la partie isolée
- d'autre part le système des forces appliquées dans la surface de la coupure (soit le système des contraintes dans cette surface).

Ces deux systèmes de forces sont donc opposés. Si on réalise leur réduction en un point, leurs résultantes sont opposées et leurs moments résultants par rapport à ce point sont opposés.



Ainsi pour étudier les contraintes dans une section d'un corps, on effectue la réduction du système des forces extérieures appliquées à l'une des parties isolées par la section, cette réduction étant généralement effectuée au centre de gravité  $G$  de la section (fig. 9).

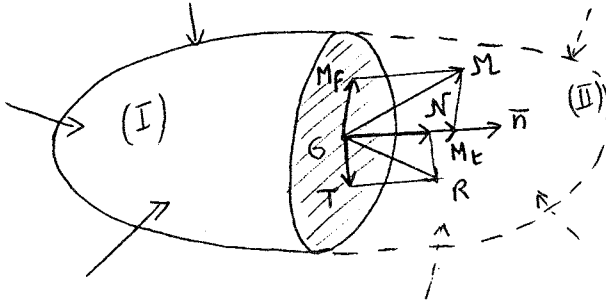


Figure 9

Si  $R$  est la résultante en  $G$  des forces extérieures appliquées à la partie (I), on appelle :

- la composante normale à  $S$  :  $N$  : résultante normale ou de traction ou effort longitudinal
- la composante tangentielle  $T$  : résultante tangentielle ou de cisaillement ou effort tranchant

Si  $M$  est le moment résultant en  $G$  des forces extérieures appliquées à la partie (I), on appelle :

- la composante normale :  $M_t$  : moment de torsion
- la composante tangentielle :  $M_f$  : moment de flexion

#### II.4.3. - Quelques exemples

1/ Traction : Soit une pièce travaillant en traction simple c'est-à-dire soumise à ses extrémités  $A$  et  $B$  à deux forces opposées  $F$  et  $-F$  (fig 10).

Considérons une facette  $S$  perpendiculaire à l'axe de traction  $z$  séparant l'éprouvette en deux parties (I) et (II).

Effectuons la réduction en G centre de gravité S des forces extérieures appliquées à la partie I.

Ces forces se réduisent à  $-F$  :

On aura  $N = -F$  : valeur algébrique sur l'axe z de l'effort appliqué sur la partie isolée I.

$$T = 0$$

$$M_t = 0$$

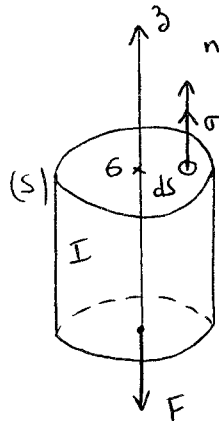
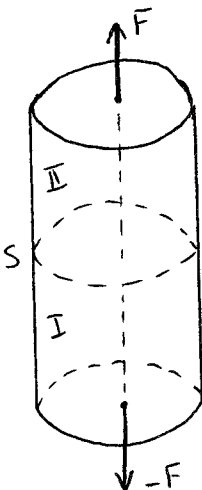
$$M_f = 0$$

L'équilibre de la partie I soumise à la force  $F$  et aux contraintes dans la section  $S$  implique que la résultante des contraintes soit égale à  $-N$  et que le moment résultant par rapport à  $G$  soit nul.

Ces conditions sont vérifiées par un système de contraintes normales ( $\tau = 0$ ) et uniformes.

$$\int_S \sigma dS + N = 0 \quad \sigma \int_S dS + N = 0$$

$$\sigma = -\frac{N}{S} = \frac{F}{S} > 0$$



$$F > 0$$

Figure 10

## 2/ Torsion d'un tube

On dit qu'il y a torsion pure si la réduction des forces extérieures est telle que seul le moment de torsion n'est pas nul. C'est le cas des sections droites d'une pièce cylindrique soumise aux extrémités à deux couples opposés. On procède de la même manière que pour la traction (fig. 11).

Les forces extérieures appliquées à la partie I se réduisent à un couple  $-C$  :

$$N = 0, T = 0, M_t = -C, M_f = 0.$$

L'équilibre de la partie I implique que le système des contraintes ait une résultante nulle et un moment résultant par rapport à G égal à  $-M_t$ . On fait les hypothèses suivantes :

1 - Dans la section S, les contraintes normale  $\sigma$  sont nulles (il n'y a pas de déplacement axial de la section) et les contraintes radiales sont nulles aussi car la section reste de grandeur constante (ceci découle de l'observation expérimentale). Seules existent les contraintes  $\tau$  normales au rayon vecteur.

2 - On peut admettre dans le cas d'un tube mince que  $\tau = \text{cte}$ .

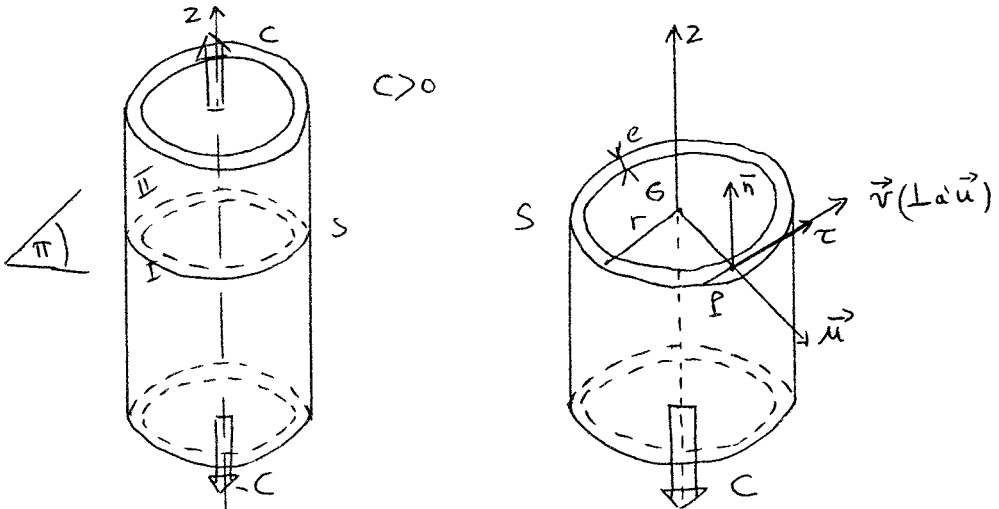


Figure 11

On a donc l'équation d'équilibre :

$$\int_S \tau r dS + M_t = 0$$

$$\tau \int_S r dS + M_t = 0 \quad \tau r S + M_t = 0$$

$$\tau = - \frac{M_t}{rS} = \frac{C}{rS}$$

$$S = 2 \pi r e$$

### 3 - Torsion d'une barre pleine

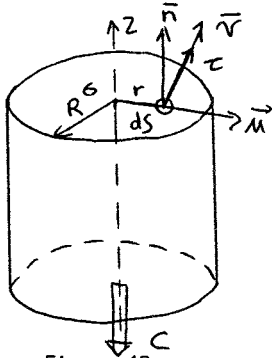


Figure 12

La contrainte n'est pas homogène : elle est nulle sur l'axe z et maximale pour  $r = R$

On peut admettre que :

$$\tau = kr$$

L'équation d'équilibre est donc :

$$\int_S \tau r dS + M_t = 0$$

$$k \int_S r^2 dS + M_t = 0$$

$$\int r^2 dS = I_G = \text{moment d'inertie de la section par rapport à son axe au moment}$$

d'inertie polaire de la section

$$k = - \frac{M_t}{I_G} = \frac{C}{I_G}$$

soit  $\tau = - \frac{M_t}{I_G} r = \frac{C}{I_G} r$

### II.5. - Notion de déformation

#### II.5.1. - Dilatation linéaire unitaire

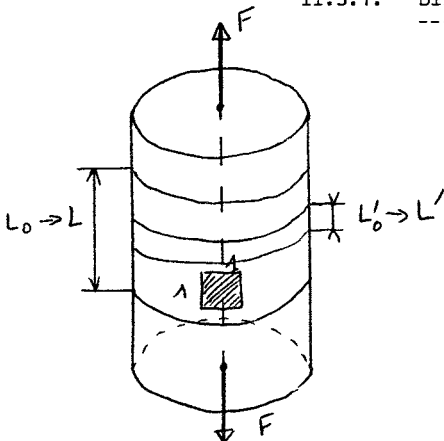


Figure 13

Considérons un essai de traction. Au cours de l'essai, la longueur entre deux sections augmente : on définit la dilatation linéaire unitaire dans la direction longitudinale par le rapport (sans dimension) :

$$\frac{L - L_0}{L_0} = \frac{L' - L'_0}{L'_0} = \dots = \text{Cte} = \epsilon_L = \frac{\Delta L}{L_0}$$

Dans la direction transversale :

$$\epsilon_T = \frac{\pi D - \pi D_0}{\pi D_0} = \frac{D - D_0}{D_0} = \frac{\Delta D}{D_0}$$

Si on considère un carré de côté unité dont le plan contient l'axe de traction, il se déforme de la manière indiquée par la figure 14 :

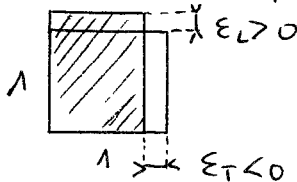


Figure 14

$$\text{On a } \epsilon_L = \frac{\Delta L}{1} = \Delta L$$

$$\epsilon_T = \Delta D$$

Remarques :

1 - Quelle que soit  $F$ , dans le domaine élastique, on remarque que

$$\frac{\epsilon_T}{\epsilon_L} = \frac{\frac{D-D_0}{D_0}}{\frac{L-L_0}{L_0}} = \text{Cte} = -\nu$$

$$\text{soit } \boxed{\nu = -\frac{\epsilon_T}{\epsilon_L}} \quad \nu \text{ est le } \underline{\text{coefficient de Poisson}} \\ (\nu \simeq 0,3 \text{ pour l'acier})$$

$$2 - \text{Le volume de l'échantillon est } V = \frac{\pi D^2}{4} \times L$$

$$\text{La variation relative de volume est égale à } \frac{\Delta V}{V} = \frac{2\Delta D}{D} + \frac{\Delta L}{L}$$

$$\text{soit } \frac{\Delta V}{V_0} = \frac{2\Delta D}{D_0} + \frac{\Delta L}{L_0} = -2\nu \epsilon_L + \epsilon_L$$

$$\text{soit } \boxed{\frac{\Delta V}{V_0} = (1 - 2\nu) \epsilon_L}$$

si  $\nu = 0,5$  : le corps est incompressible.

Donc le volume d'un acier en traction augmente dans le domaine élastique (fig 15).

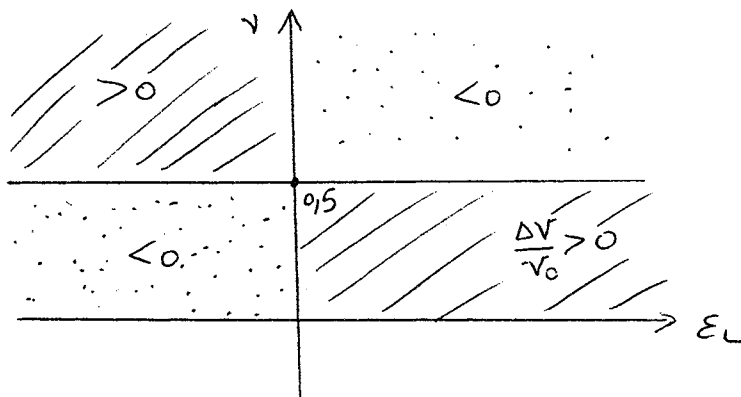


Figure 15

## II.5.2. - Glissement

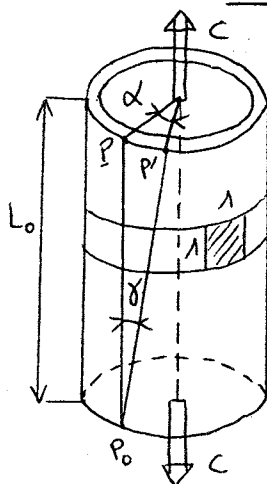


Figure 16

Considérons le cas de la torsion d'un tube (fig 16). Sous l'action du couple de torsion, le déplacement d'une section droite est uniquement une rotation  $\alpha$  autour de son axe et proportionnelle à la distance à la section d'encastrement (section de référence).

On appelle déformation relative en torsion  $\theta$ , la rotation par unité de longueur :

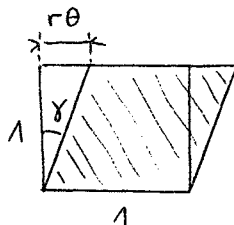
$$\theta = \frac{\alpha}{L_0} = \frac{\alpha'}{L'_0} = \text{cte}$$

Si on considère un parallélogramme unité, le glissement relatif ou glissement par unité de longueur du cylindre est l'angle de l'hélice formée par les points d'une génératrice initiale du cylindre.

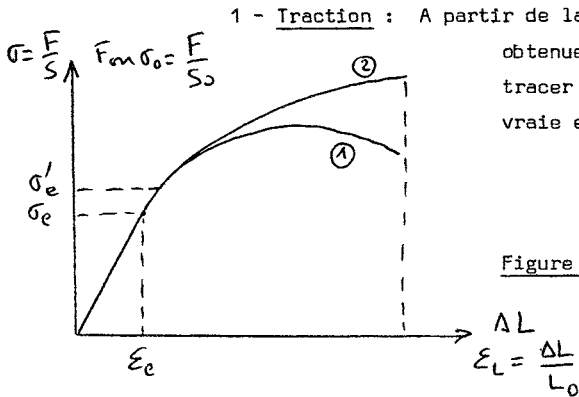
$$\gamma \simeq r\theta$$

(glissement ou distorsion)

$$\text{ou } \gamma \simeq \frac{r}{L_0} \alpha$$



## II.6 - Diagrammes fondamentaux



$$\sigma_0 = \text{contrainte conventionnelle} = \frac{F}{S_0}$$

$$\sigma = \text{contrainte vraie} = \frac{F}{S}$$

Le domaine élastique linéaire est caractérisé par la pente de la droite E module d'élasticité longitudinale ou de Young.

$$\sigma = \epsilon E$$

loi de Hooke pour une contrainte uniaxiale.

Acier  $E \simeq 21.000 \text{ hbar}$ .

Remarque : si  $\sigma_e \simeq 21 \text{ hbar}$ , l'allongement unitaire  $\epsilon_e$  correspondant est égal à :

$$\epsilon_e = \frac{\sigma_e}{E} = 10^{-3} = 0,1\%$$

On définit  $\sigma_e$  la limite de proportionnalité

$\sigma'_e$  la limite d'élasticité

Pour les métaux usuels,  $\sigma_e \simeq \sigma'_e$

Souvent, il est difficile de définir la limite élastique car elle n'apparaît pas toujours comme un point particulier sur la courbe de traction (cf. physique des matériaux). On définit alors une limite élastique conventionnelle à 0,2 % qui est la contrainte provoquant un allongement permanent de 0,2%.

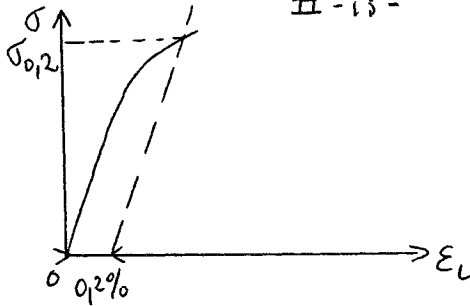


Figure 18

## 2 - Torsion :

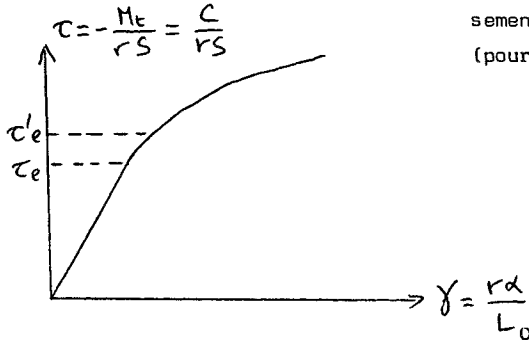


Figure 19

On trace le diagramme contrainte-glis-  
sement à partir de la courbe de torsion  
(pour un tube par exemple).

$\tau_e$  est la limite de proportionnalité au cisaillement

$\tau'_e$  est la limite d'élasticité au cisaillement

En général pour les métaux  $\tau_e \simeq \tau'_e$

Le domaine élastique est caractérisé par la pente de la droite qui est le module  
d'élasticité transversale ou de Coulomb  $G$

$$\tau = G\gamma$$

loi de Hooke pour une contrainte tangentielle

Acier :  $G \simeq 8000 \text{ hbar}$

Remarques :

1/ Nous verrons par la suite que les 3 constantes élastiques  $E$ ,  $G$ ,  $\nu$  ne sont pas  
indépendantes. Il existe en effet entre ces 3 constantes la relation

$$G = \frac{E}{2(1+\nu)}$$

2/  $\tau_e$  et  $\sigma_e$  sont aussi liées par l'intermédiaire des critères de résistance.

3/ Dans le domaine plastique, il existe une liaison entre les courbes fondamentales  
de traction et de torsion. En effet, on peut établir une courbe générale d'écrouis-  
sage. De plus, la loi de Hooke n'est plus valable dans le domaine plastique. Elle  
doit être remplacée par une loi plus générale (loi de comportement).

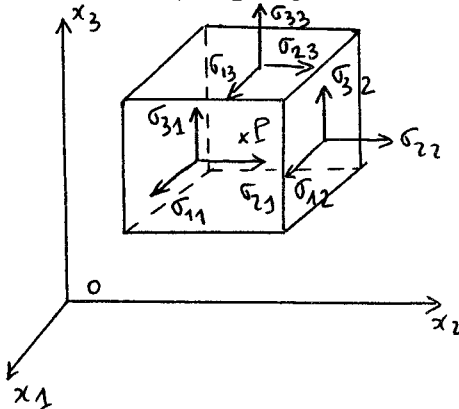


# CHAPITRE III

## TENSEUR DE CONTRAINTES

### III.1. Définition - Notations - Contrainte sur une facette quelconque

Considérons à l'intérieur d'un corps un parallélépipède infiniment petit autour d'un point P et d'arêtes parallèles aux axes de coordonnées rectangulaires  $Ox_1, Ox_2, Ox_3$  (fig.1).



Sur chaque face du parallélépipède, la matière exerce une force qui peut être décomposée en 3 composantes. Si on considère une face perpendiculaire à l'axe  $Ox_1$ , on a les composantes de contrainte :

$-\sigma_{11}$  parallèle à l'axe  $Ox_1$  : contrainte normale

$-\sigma_{21}$  parallèle à l'axe  $Ox_2$  ) contrainte de

$-\sigma_{31}$  parallèle à l'axe  $Ox_3$  ) cisaillement

Figure 1

On peut adopter la même définition pour les faces perpendiculaires à l'axe  $Ox_2$  et à l'axe  $Ox_3$ . On définit ainsi 9 composantes de la contrainte autour du point P que l'on peut désigner d'une façon générale par  $\sigma_{ij}$ ,  $\sigma_{ij}$  étant la composante selon l'axe  $Ox_i$  de la contrainte qui s'exerce sur une face du parallélépipède perpendiculaire à l'axe  $Ox_j$ .

$\sigma_{ij}$  représente la contrainte exercée dans la direction  $+Ox_i$  par la matière qui se trouve du côté  $+Ox_j$  sur la matière qui se trouve du côté  $-Ox_j$ .

### III- 2 -

On adopte la convention de signe suivante :

$\sigma_{ii} > 0$  correspond à une tension  
 $\sigma_{ii} < 0$  compression

$\sigma_{ii}$  représente les composantes normales de la contrainte

$\sigma_{ij}$  ( $i \neq j$ ) représente les composantes de cisaillement (ou tangentielles)

Remarque : sur la face perpendiculaire à  $Ox_1$  mais orientée par l'opposée de  $\vec{i}_1$ ,  
on a  $-\sigma_{11}, -\sigma_{21}, -\sigma_{31}$  (action et réaction)

#### III.1.1. Caractère tensoriel des $\sigma_{ij}$

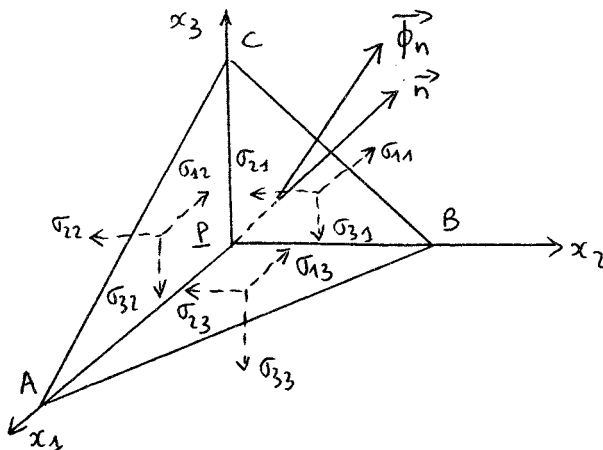
Nous allons maintenant montrer que les composantes des contraintes  $\sigma_{ij}$  forment un tenseur de rang 2. On a vu qu'un ensemble de grandeurs  $T_{ij}$  liant deux vecteurs  $p_i$  et  $q_i$  par une équation de la forme :

$$p_i = \sum_j T_{ij} q_j = T_{ij} q_j \quad (1)$$

obéissent à une loi de transformation tensorielle et forment donc un tenseur de rang deux.

Il faut donc montrer que  $\sigma_{ij}$  lient bien 2 vecteurs par une équation de ce type. Considérons un solide en équilibre soumis à des contraintes.

Soit à l'intérieur d'un tel solide un tétraèdre élémentaire  $PABC$  (infinitement petit) et étudions son équilibre (fig. 2).



$$\vec{\Phi}_n \begin{vmatrix} x_1 \\ x_2 \\ x_3 \end{vmatrix}$$

Figure 2

L'orientation de la face ABC du tétraèdre est définie par sa normale  $\vec{n}$  (vecteur unitaire dirigé de l'intérieur vers l'extérieur) dont les cosinus directeurs sont :

$$\vec{n} \begin{vmatrix} n_1 \\ n_2 \\ n_3 \end{vmatrix}$$

Sur la facette ABC s'exerce une force égale à  $\vec{T}_n \times S(ABC)$  (force exercée par la matière située du côté  $>0$  sur la matière située du côté  $<0$ ). Les forces qui s'exercent sur les 3 autres faces sont représentées par les composantes des contraintes  $\sigma_{ij}$  : les forces de volume (poids, inertie) du 3ème ordre peuvent être négligées par rapport aux forces de surface précédentes qui sont du 2ème ordre. Le tétraèdre étant en équilibre, il doit être soumis à un ensemble de forces équivalent à zéro : la résultante  $\sum \vec{F}$  et le moment résultant doivent être nuls.

$$\sum \vec{F} = 0$$

Suivant l'axe  $Px_1$ , cette équation s'écrit :

$$X_1 S = \sigma_{11} BPC + \sigma_{12} APC + \sigma_{13} APB$$

$$\text{Aire}(BPC) = \text{Aire}(ABC) \times n_1$$

$$\text{Aire}(APC) = \text{Aire}(ABC) \times n_2$$

$$\text{Aire}(APB) = \text{Aire}(ABC) \times n_3$$

$$\text{Soit } X_1 = \sigma_{11}n_1 + \sigma_{12}n_2 + \sigma_{13}n_3$$

de même pour les axes  $Ox_2$  et  $Ox_3$  ; soit

$$X_2 = \sigma_{21}n_1 + \sigma_{22}n_2 + \sigma_{23}n_3$$

$$X_3 = \sigma_{31}n_1 + \sigma_{32}n_2 + \sigma_{33}n_3$$

soit en notation indicielle

$$X_i = \sum_{j=1}^3 \sigma_{ij}n_j = \sigma_{ij}n_j \quad (2) \quad i = 1 \text{ à } 3$$

Les  $\sigma_{ij}$  lient donc les vecteurs  $X_i$  et  $n_j$  selon une relation linéaire identique à l'équation (1). Ils forment donc un tenseur du second ordre.

La relation (2) permet donc de calculer les contraintes pour une facette d'orientation quelconque à partir des composantes  $\sigma_{ij}$ . La connaissance du tenseur des contraintes  $\sigma_{ij}$  suffit donc pour déterminer complètement l'état de contrainte autour du point P.

Remarque : Présentation matricielle de l'équation (2) :

$$\vec{\Phi}_n = \begin{bmatrix} x_1 \\ x_2 \\ x_3 \end{bmatrix} = [X] \qquad \vec{n} = \begin{bmatrix} n_1 \\ n_2 \\ n_3 \end{bmatrix} = [n]$$

$$\sigma_{ij} \Rightarrow \begin{bmatrix} \sigma_{11} & \sigma_{12} & \sigma_{13} \\ \sigma_{21} & \sigma_{22} & \sigma_{23} \\ \sigma_{31} & \sigma_{32} & \sigma_{33} \end{bmatrix} = [\sigma]$$

On a donc  $[X] = [\sigma] [n]$

\* Moment résultant = 0 (fig. 3).

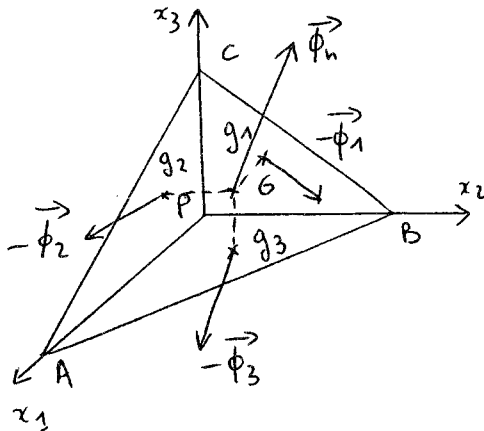


Figure 3

$$\begin{aligned} PA_1 &= 1_1 & Gg_1 &= 1_1/3 \\ PA_2 &= 1_2 & Gg_2 &= 1_2/3 \\ PA_3 &= 1_3 & Gg_3 &= 1_3/3 \end{aligned}$$

$$\begin{bmatrix} \sigma_{11} \\ \sigma_{21} \\ \sigma_{31} \end{bmatrix} \quad \begin{bmatrix} \sigma_{12} \\ \sigma_{22} \\ \sigma_{32} \end{bmatrix} \quad \begin{bmatrix} \sigma_{13} \\ \sigma_{23} \\ \sigma_{33} \end{bmatrix}$$

Soit G le centre de gravité de ABC et  $g_1, g_2, g_3$  ses projections sur les faces PBC, PAC et PAB respectivement. L'équation du moment par rapport à G s'écrit (dans le cas où il n'existe pas de champ de moments) :

$$- Gg_1 \wedge \vec{\Phi}_1 (\text{aire PBC}) - Gg_2 \wedge \vec{\Phi}_2 (\text{aire PAC}) - Gg_3 \wedge \vec{\Phi}_3 (\text{aire PAB}) = 0$$

$$\text{soit } S n_1 (Gg_1 \wedge \vec{\Phi}_1) + S n_2 (Gg_2 \wedge \vec{\Phi}_2) + S n_3 (Gg_3 \wedge \vec{\Phi}_3) = 0$$

Suivant l'axe  $Px_1$  on a :

$$\vec{G}_{G_1} \wedge \vec{\rho}_1 \Rightarrow 0, \quad \vec{G}_{G_2} \wedge \vec{\rho}_2 \Rightarrow \frac{1}{3} \sigma_{32} \vec{G}_{G_3} \wedge \vec{\rho}_3 \Rightarrow -\frac{1}{3} \sigma_{23}$$

$$\text{soit } S n_2 \frac{1}{3} \sigma_{32} - S n_3 \frac{1}{3} \sigma_{23} = 0$$

$$\text{or } S n_2 \frac{1}{3} = S n_3 \frac{1}{3} = V = \text{volume du tétraèdre } (\frac{1}{3} \text{ base } \times \text{ hauteur})$$

$$\text{d'où } \boxed{\sigma_{23} = \sigma_{32}}$$

De même suivant les 2 autres axes

$$\begin{aligned} \sigma_{31} &= \sigma_{13} \\ \sigma_{12} &= \sigma_{21} \end{aligned}$$

$$\boxed{\sigma_{ij} = \sigma_{ji}} \quad (3)$$

Il y a réciprocité des contraintes tangentielles. Les  $\sigma_{ij}$  forment donc un tenseur symétrique.

Remarques: 1/ Cette propriété découle du fait qu'on suppose qu'il n'existe pas de champ de moment (par exemple une action magnétique). Dans le cas contraire, le tenseur des contraintes n'est plus symétrique.

2/ Interprétation physique (fig. 4)

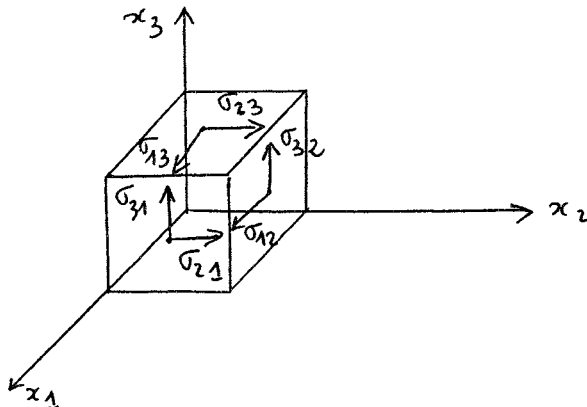


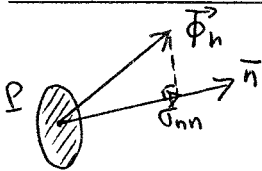
Figure 4

Exercice : Relation de Cunchy

Montrer que si l'on considère deux facettes passant par le même point de vecteurs contraintes et de normales respectives  $\vec{\phi}_n, \vec{n}$  et  $\vec{\phi}_{n'}, \vec{n}'$ , on a  $\vec{\phi}_n \cdot \vec{n}' = \vec{\phi}_{n'} \cdot \vec{n}$

III.1.2. Calcul des contraintes normales et tangentielles

Contrainte normale  $\sigma_{nn}$



$$\sigma_{nn} = \vec{\phi}_n \cdot \vec{n} = X_1 n_1 + X_2 n_2 + X_3 n_3 = X_1 n_1$$

$$\sigma_{nn} = \sigma_{ij} n_i n_j$$

$$= \sigma_{11} n_1^2 + \sigma_{22} n_2^2 + \sigma_{33} n_3^2 + 2 \sigma_{12} n_1 n_2 + 2 \sigma_{13} n_1 n_3 + 2 \sigma_{23} n_2 n_3$$

$$\sigma_{nn} = \sigma_{11} n_1^2 + \sigma_{22} n_2^2 + \sigma_{33} n_3^2 + 2 \sigma_{12} n_1 n_2 + 2 \sigma_{13} n_1 n_3 + 2 \sigma_{23} n_2 n_3 \quad (4)$$

Présentation matricielle :

$$\sigma_{nn} = [\tilde{X}] [n] = [\tilde{n}] [X]$$

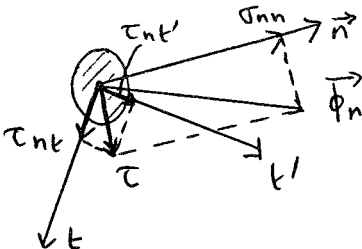
$$\sigma_{nn} = [\tilde{n}] [\sigma] [n]$$

(4')

C'est la forme quadratique associée à la matrice symétrique  $[\sigma]$  et développée par rapport au vecteur  $n$ .

Contrainte tangentielle :  $\tau_{nt}$

contrainte tangentielle quelconque obtenue par projection sur une direction  $\vec{t}$  du plan  $dS$ .  $\vec{n}, \vec{t}, \vec{t}'$ , forment un trièdre trirectangle.



$\vec{t}$  et  $\vec{t}'$  sont perpendiculaires à  $n$

$$\tau_{nt} = \vec{\phi}_n \cdot \vec{t} = X_1 t_1 + X_2 t_2 + X_3 t_3 = X_1 t_1 = \sigma_{1j} n_j t_1$$

Figure 5

$$\tau_{nt} = [\sigma_{11}n_1 + \sigma_{12}n_2 + \sigma_{13}n_3] t_1 + \dots$$

$$\begin{aligned} \tau_{nt} = & \sigma_{11}n_1t_1 + \sigma_{22}n_2t_2 + \sigma_{33}n_3t_3 + \sigma_{12}(n_2t_1 + n_1t_2) + \sigma_{23}(n_3t_2 + n_2t_3) \\ & + \sigma_{13}(n_1t_3 + n_3t_1) \end{aligned}$$

#### Présentation matricielle

$$\tau_{nt} = [\tilde{t}][\sigma] = [\tilde{t}][\sigma][n]$$

C'est la forme polaire associée à la matrice symétrique  $[\sigma]$  et développée par rapport aux vecteurs  $\vec{n}$  et  $\vec{t}$ .

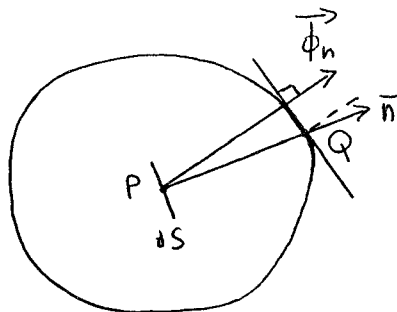
Remarque : la contrainte de cisaillement totale est  $\tau$

$$\tau^2 = \sigma_n^2 - \sigma_{nn}^2$$

### III.2. - Répartition des contraintes autour d'un point

#### III.2.1. - Quadrique de Cauchy. Eléments principaux en P

En un point P et pour un élément de surface dS de normale  $\vec{n}$ , on peut représenter la valeur de la contrainte normale  $\sigma_{nn}$  en portant sur la normale positive un vecteur (fig.6) PQ de longueur :



$$\frac{1}{n} \begin{vmatrix} n_1 \\ n_2 \\ n_3 \end{vmatrix}$$

$$r = \frac{1}{\sqrt{\sigma_{nn}}}$$

$$\overline{PQ} \begin{vmatrix} x_1 = r n_1 \\ x_2 = r n_2 \\ x_3 = r n_3 \end{vmatrix}$$

Figure 6

Le lieu géométrique de l'extrémité du vecteur  $\overrightarrow{PQ}$  est donné par :

$$r^2 \sigma_{nn} = \pm 1$$

soit  $\sigma_{11}x_1^2 + \sigma_{22}x_2^2 + \sigma_{33}x_3^2 + 2\sigma_{12}x_1x_2 + 2\sigma_{23}x_2x_3 + 2\sigma_{13}x_1x_3 = \pm 1$

Le signe + correspondant au cas où  $\sigma_{nn}$  est positif

Le signe - " " négatif.

C'est l'équation générale d'une quadrique rapportée à un système d'axes dont l'origine est en son centre. Cette quadrique est soit un ellipsoïde soit un hyperboloïde (se reporter au § I.4). La quadrique de Cauchy n'est autre que la quadrique représentative du tenseur des contraintes ou quadrique des contraintes, dont l'équation en notation indicielle est :

$$\sigma_{ij}x_i x_j = \pm 1 \quad (7)$$

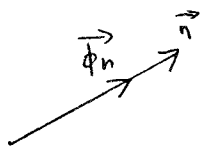
Rapportée à leurs axes principaux (cf. § I.4.1) , l'équation de la quadrique s'écrit :

$$\sigma_1 x_1^2 + \sigma_2 x_2^2 + \sigma_3 x_3^2 = \pm 1$$

Les demi-axes ont pour longueur  $\frac{1}{\sqrt{\sigma_1}}, \frac{1}{\sqrt{\sigma_2}}, \frac{1}{\sqrt{\sigma_3}}$   $\sigma_1, \sigma_2$  et  $\sigma_3$  pouvant être  $> 0$  ou  $< 0$ .

$\sigma_1, \sigma_2$  et  $\sigma_3$  sont les contraintes principales et les axes principaux sont les directions principales des contraintes.

Les axes principaux de la quadrique sont des directions privilégiées : ce sont les normales à des éléments qui sont soumis uniquement à une contrainte normale. La recherche des directions et des contraintes principales revient à trouver les directions telles que (cf. § I.7).



$$\vec{p}_n = \lambda \vec{n}$$

soit en écriture tensorielle :

$$\sigma_{ij}n_j = \lambda n_i \quad (8) \text{ ou } (\sigma_{ij} - \lambda \delta_{ij}) n_j = 0$$

$$\delta_{ij} n_j = n_i \quad \delta_{ij} = \text{symbole de Kronecker (cf. § I.2.1)}$$

$$\sigma_{ij} = \begin{cases} 1 & \text{si } i = j \\ 0 & \text{si } i \neq j \end{cases}$$



En écriture matricielle :

$$([\sigma] - \lambda [1]) [n] = 0 \quad (8)$$

$$[1] = \text{matrice unité} = \begin{bmatrix} 1 & 0 & 0 \\ 0 & 1 & 0 \\ 0 & 0 & 1 \end{bmatrix}$$

On reconnaît la recherche des vecteurs et valeurs propres d'un tenseur. Pour qu'il y ait une solution <sup>non triviale</sup> il faut que le déterminant de  $([\sigma] - \lambda [1])$  soit nul (ou le déterminant de  $(\sigma_{ij} - \lambda \delta_{ij})$ ). En développant, on obtient une équation du 3ème degré en  $\lambda$  (équation séculaire) dont les 3 racines  $\lambda_1, \lambda_2, \lambda_3$  sont toujours réelles car  $\sigma_{ij}$  est symétrique : on a  $\sigma_1 = \lambda_1, \sigma_2 = \lambda_2, \sigma_3 = \lambda_3$ . Les trois directions propres correspondantes forment un trièdre trirectangle qui sont les directions principales des contraintes.

Leur détermination se fait en résolvant le système (8) pour chaque racine de  $\lambda$  :

$$\begin{cases} (\sigma_{11} - \lambda) n_1 + \sigma_{12} n_2 + \sigma_{13} n_3 = 0 \\ \sigma_{12} n_1 + (\sigma_{22} - \lambda) n_2 + \sigma_{23} n_3 = 0 \\ \sigma_{13} n_1 + \sigma_{23} n_2 + (\sigma_{33} - \lambda) n_3 = 0 \end{cases}$$

$$\text{avec } n_1^2 + n_2^2 + n_3^2 = 1$$

Le tenseur des contraintes ramené à ses axes principaux s'écrit :

$$[\sigma_{ij}] = \begin{bmatrix} \sigma_1 & 0 & 0 \\ 0 & \sigma_2 & 0 \\ 0 & 0 & \sigma_3 \end{bmatrix}$$

Remarques : 1/ La propriété du rayon normal de la quadrique (§ I.6.2 et fig.6) permet de déterminer la direction de la force résultante  $\vec{\phi}_n dS$  appliquée à l'aire  $dS$ .

On mène parallèlement à  $\vec{n}$ , le rayon vecteur de la quadrique de longueur  $r$ , il coupe en  $Q$  la surface de la quadrique. La direction de  $\vec{T}_n$  est donnée par la normale en  $Q$  à la quadrique. Evidemment, si  $Q$  est sur l'un des 3 axes principaux,  $\vec{T}_n$  est parallèle à  $\vec{n}$  : il n'y a pas de composante de cisaillement.

2/ Si le tenseur des contraintes est ramené à ses axes principaux, les contraintes normales et tangentiellles deviennent :

$$\begin{cases} \sigma_{nn} = \sigma_1 n_1^2 + \sigma_2 n_2^2 + \sigma_3 n_3^2 \\ \tau_{nt} = \sigma_1 n_1 t_1 + \sigma_2 n_2 t_2 + \sigma_3 n_3 t_3 \end{cases} \quad (9)$$

$n_1, n_2, n_3$  étant les cosinus directeurs de la normale par rapport aux axes principaux et  $t_1, t_2, t_3$  celles de la tangente  $\vec{t}$ .

### 3/ Cas particuliers

- $\sigma_1 = \sigma_2 \neq \sigma_3$  : la quadrique des contraintes est de révolution autour de l'axe  $G_3$ . Dans le plan  $\sigma_1 \sigma_2$ , la section de la quadrique est un cercle : toutes les directions de ce plan sont principales.
- $\sigma_1 = \sigma_2 = \sigma_3$  la quadrique est une sphère. Toutes les directions sont principales. Un tel point est dit point singulier.

### III.2.2. - Les invariants de $\sigma_{ij}$ (cf. § I.7)

On a vu que la recherche des directions principales conduit à la solution de  $(\sigma_{ij} - \lambda \delta_{ij})x_j = 0$

Il n'y a des solutions que si  $|\sigma_{ij} - \lambda \delta_{ij}| = 0$

$$\text{soit } \Delta = \begin{vmatrix} \sigma_{11} - \lambda & \sigma_{12} & \sigma_{13} \\ \sigma_{12} & \sigma_{22} - \lambda & \sigma_{23} \\ \sigma_{13} & \sigma_{23} & \sigma_{33} - \lambda \end{vmatrix} = 0$$

où  $-\lambda^3 + I_1\lambda^2 - I_2\lambda + I_3 = 0$

Développons  $\Delta$  :

$$\Delta = (\sigma_{11} - \lambda) \begin{bmatrix} (\sigma_{33} - \lambda) & -\sigma_{23} \\ (\sigma_{22} - \lambda) & -\sigma_{13} \end{bmatrix} - \sigma_{12} \begin{bmatrix} \sigma_{12} (\sigma_{33} - \lambda) - \sigma_{13} \sigma_{23} \\ \sigma_{12} \sigma_{23} - \sigma_{13} (\sigma_{22} - \lambda) \end{bmatrix}$$

$I_1 = \sigma_{ii} = \sigma_{11} + \sigma_{22} + \sigma_{33} = \text{trace du tenseur } \sigma_{ij}$

$I_1$  est invariant linéaire

$$I_2 = \frac{1}{2} (\sigma_{ii} \sigma_{jj} - \sigma_{ij}^2) = \sigma_{11} \sigma_{22} + \sigma_{22} \sigma_{33} + \sigma_{33} \sigma_{11} - (\sigma_{12}^2 + \sigma_{13}^2 + \sigma_{23}^2)$$

$$\left. \begin{array}{l} \sigma_{11} \sigma_{22} - \sigma_{12}^2 = \text{mineur relatif à } \sigma_{33} \\ \sigma_{22} \sigma_{33} - \sigma_{23}^2 = \text{ " } \sigma_{11} \\ \sigma_{33} \sigma_{11} - \sigma_{13}^2 = \text{ " } \sigma_{22} \end{array} \right\} I_2 = \sum \text{mineurs relatifs aux termes diagonaux}$$

$I_2$  est l'invariant quadratique

$$I_3 = \begin{vmatrix} \sigma_{ij} \end{vmatrix} = \text{déterminant de la matrice des } \sigma_{ij}$$

$$= \sigma_{11} \sigma_{22} \sigma_{33} + \sigma_{12} \sigma_{13} \sigma_{23} - \sigma_{11} \sigma_{23}^2 - \sigma_{22} \sigma_{13}^2 - \sigma_{33} \sigma_{12}^2$$

$I_3$  est l'invariant cubique

Nous rappelons (cf; § I.7) que  $I_1$ ,  $I_2$  et  $I_3$  sont des invariants car si on part d'un autre système d'axes, le tenseur des contraintes est  $\sigma'_{ij}$  et l'équation séculaire s'écrit :

$$-\lambda^3 + I'_1\lambda^2 - I'_2\lambda + I'_3 = 0$$

Mais on doit retrouver les mêmes contraintes principales  $\sigma_1, \sigma_2, \sigma_3$  donc les mêmes racines de l'équation séculaire (seuls les cosinus directeurs des directions principales sont différents) ; ceci implique donc que  $I_1 = I'_1$ ,  $I_2 = I'_2$  et  $I_3 = I'_3$ .

Par rapport aux axes principaux

$$\begin{cases} I_1 = \sigma_1 + \sigma_2 + \sigma_3 \\ I_2 = \sigma_1\sigma_2 + \sigma_2\sigma_3 + \sigma_3\sigma_1 \\ I_3 = \sigma_1\sigma_2\sigma_3 \end{cases}$$

### III.2.3. - Ellipsoïde de Lamé (fig. 7)

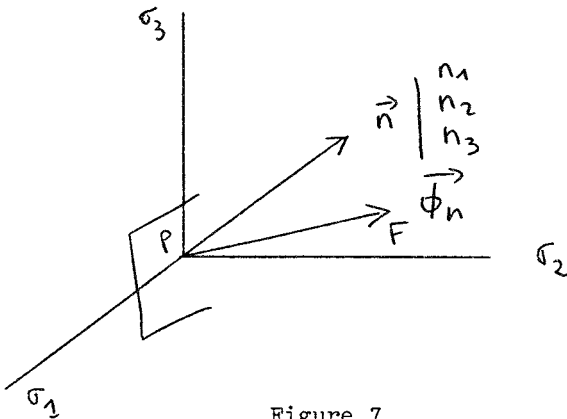


Figure 7

Considérons l'extrémité F du vecteur contrainte sur un élément ds défini par sa normale positive  $\vec{n}$ . Prenons pour axes de coordonnées les axes principaux  $\sigma_1, \sigma_2, \sigma_3$ .

Le point F a pour coordonnées :

$$\begin{cases} X_1 = \sigma_1 n_1 \\ X_2 = \sigma_2 n_2 \\ X_3 = \sigma_3 n_3 \end{cases}$$

Le lieu géométrique de  $F$  lorsque ds décrit tout l'espace autour du point  $P$  est :

$$n_1^2 + n_2^2 + n_3^2 = 1 \quad \text{soit} \quad \frac{x_1^2}{\sigma_1^2} + \frac{x_2^2}{\sigma_2^2} + \frac{x_3^2}{\sigma_3^2} = 1$$

C'est un ellipsoïde rapporté à ses axes principaux, dont les demi-axes sont  $|\sigma_1|$ ,  $|\sigma_2|$  et  $|\sigma_3|$ .

C'est l'ellipsoïde de la propriété définie au § I.9.

#### III.2.4. - Recherche des éléments principaux quand

on connaît a priori une direction principale  $\sigma_3$

#### - 1 - Formules de bases (fig. 8)

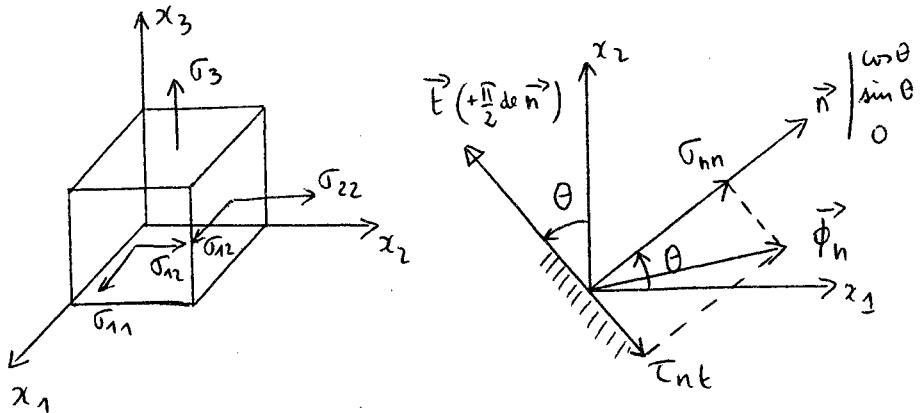


Figure 8

Par rapport aux axes  $x_1, x_2, \sigma_3$ , le tenseur  $\sigma_{ij}$  a la forme :

$$[\sigma_{ij}] = \begin{bmatrix} \sigma_{11} & \sigma_{12} & 0 \\ \sigma_{21} & \sigma_{22} & 0 \\ 0 & 0 & \sigma_3 \end{bmatrix}$$

Calculons  $\vec{\sigma}_n$  pour une facette parallèle à l'axe  $\sigma_3$  et dont la normale  $\vec{n}$  a pour coordonnées

$$\begin{vmatrix} \cos \theta \\ \sin \theta \\ 0 \end{vmatrix}$$

$$[X] = [\sigma] [n]$$

$$X_i = \sigma_{ij} n_j$$

$$\begin{bmatrix} X_1 \\ X_2 \\ X_3 \end{bmatrix} = \begin{bmatrix} \sigma_{11} & \sigma_{12} & 0 \\ \sigma_{12} & \sigma_{22} & 0 \\ 0 & 0 & \sigma_3 \end{bmatrix} \begin{bmatrix} \cos \theta \\ \sin \theta \\ 0 \end{bmatrix}$$

$$= \begin{bmatrix} \sigma_{11} \cos \theta + \sigma_{12} \sin \theta \\ \sigma_{12} \cos \theta + \sigma_{22} \sin \theta \\ 0 \end{bmatrix}$$

La contrainte normale  $\sigma_{nn}$  est égale à (relation III.4)

$$\sigma_{nn} = \sigma_{11} n_1^2 + \sigma_{22} n_2^2 + 2\sigma_{12} n_1 n_2$$

$$= \sigma_{11} \cos^2 \theta + \sigma_{22} \sin^2 \theta + 2 \sigma_{12} \cos \theta \sin \theta$$

$$\sigma_{nn} = \frac{\sigma_{11} + \sigma_{22}}{2} + \frac{\sigma_{11} - \sigma_{22}}{2} \cos 2\theta + \sigma_{12} \sin 2\theta$$

$$\cos^2 = \frac{1 + \cos 2\theta}{2}$$

$$\sin^2 = \frac{1 - \cos 2\theta}{2}$$

La contrainte tangentielle suivant  $\vec{t}$   $\begin{vmatrix} -\sin \theta \\ \cos \theta \\ 0 \end{vmatrix}$

$\vec{t}$  étant dans le plan  $x_1, x_2$ , est égale à (relation III.5)

$$\tau_{nt} = -\sigma_{11} \sin \theta \cos \theta + \sigma_{22} \sin \theta \cos \theta + \sigma_{12} (-\sin^2 \theta + \cos^2 \theta)$$

$$\tau_{nt} = \frac{\sigma_{22} - \sigma_{11}}{2} \sin 2\theta + \sigma_{12} \cos 2\theta$$

- 2 - Méthode algébrique

$\vec{n}$  est direction principale si  $\tau_{nt} = 0$  c'est-à-dire pour  $\theta = \varphi$

soit  $\boxed{\operatorname{tg} 2\varphi = \frac{2 \sigma_{12}}{\sigma_{11} - \sigma_{22}}} \quad (10) \quad \begin{array}{l} 2\varphi \text{ à } \pi \text{ près} \\ \varphi \text{ à } \frac{\pi}{2} \text{ près} \end{array}$

$$\varphi_1 = \varphi + \frac{\pi}{2}$$

$$\begin{cases} \sigma_{\varphi} = \frac{\sigma_{11} + \sigma_{22}}{2} + \frac{\sigma_{11} - \sigma_{22}}{2} \cos 2\varphi + \sigma_{12} \sin 2\varphi \\ \sigma_{\varphi'} = \frac{\sigma_{11} + \sigma_{22}}{2} + \frac{\sigma_{11} - \sigma_{22}}{2} \cos 2\varphi - \sigma_{12} \sin 2\varphi \end{cases}$$

or  $\sigma_{12} = \frac{\operatorname{tg} 2\varphi (\sigma_{11} - \sigma_{22})}{2}$

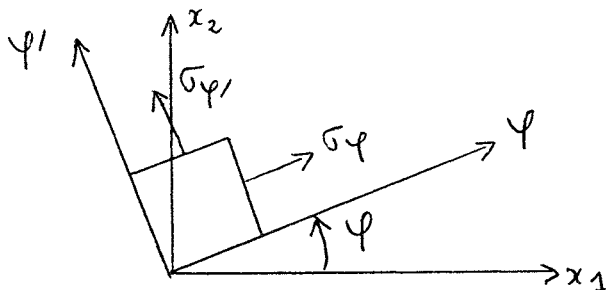


Figure 9

$$\sigma_{\varphi} = \frac{\sigma_{11} + \sigma_{22}}{2} + \frac{\sigma_{11} - \sigma_{22}}{2} \cos 2\varphi + \frac{\sigma_{11} - \sigma_{22}}{2} \operatorname{tg} 2\varphi \sin 2\varphi$$

soit  $\boxed{\begin{array}{l} \sigma_{\varphi} = \frac{\sigma_{11} + \sigma_{22}}{2} + \frac{\sigma_{11} - \sigma_{22}}{2} \frac{1}{\cos 2\varphi} \\ \sigma_{\varphi'} = \frac{\sigma_{11} + \sigma_{22}}{2} - \frac{\sigma_{11} - \sigma_{22}}{2} \frac{1}{\cos 2\varphi} \end{array}} \quad (11)$

On adopte la convention :  $\sigma_p \gg \sigma_{p'}$  algébriquement

$$\sigma_p - \sigma_{p'} \gg 0 \quad \frac{\sigma_{11} - \sigma_{22}}{\cos 2\varphi} \gg 0 \quad \text{c'est-à-dire que}$$

$\cos 2\varphi$  doit être du signe de  $\sigma_{11} - \sigma_{22}$

Éliminons  $\varphi$  entre  $\tan 2\varphi$  et  $\sigma_p$  (ou  $\sigma_{p'}$ ) :

$$\frac{1}{\cos^2 2\varphi} = 1 + \tan^2 2\varphi = \frac{(\sigma_{11} - \sigma_{22})^2 + 4\sigma_{12}^2}{(\sigma_{11} - \sigma_{22})^2}$$

$$\frac{1}{\cos 2\varphi} = \pm \frac{\sqrt{(\sigma_{11} - \sigma_{22})^2 + 4\sigma_{12}^2}}{\sigma_{11} - \sigma_{22}}$$

on prend le signe + pour avoir  $\sigma_p > \sigma_{p'}$  ( $\cos 2\varphi$  est alors du signe de  $\sigma_{11} - \sigma_{22}$ )

d'où

$$\sigma_{\frac{p}{p'}} = \frac{\sigma_{11} + \sigma_{22}}{2} \pm \frac{1}{2} \sqrt{(\sigma_{11} - \sigma_{22})^2 + 4\sigma_{12}^2}$$

(12)

D'où le tenseur ramené à ses axes principaux  $\varphi, \varphi', \sigma_3$

$$\begin{bmatrix} \sigma_\varphi & 0 & 0 \\ 0 & \sigma_{\varphi'} & 0 \\ 0 & 0 & \sigma_3 \end{bmatrix}$$

Exercice : Retrouver les valeurs de  $\sigma_\varphi$  et  $\sigma_{\varphi'}$  à partir de la recherche des valeurs propres de la matrice  $[\sigma]$ .

- 3 - Méthode graphique. Construction du cercle de Mohr  
(cf. § I.8)



Problème 1 : On suppose connus les axes  $\varphi, \varphi'$  et  $\sigma_{\varphi}, \sigma_{\varphi'}$   
 Trouver  $\sigma_{nn}$  et  $\tau_{nt}$  pour une facette quelconque n.

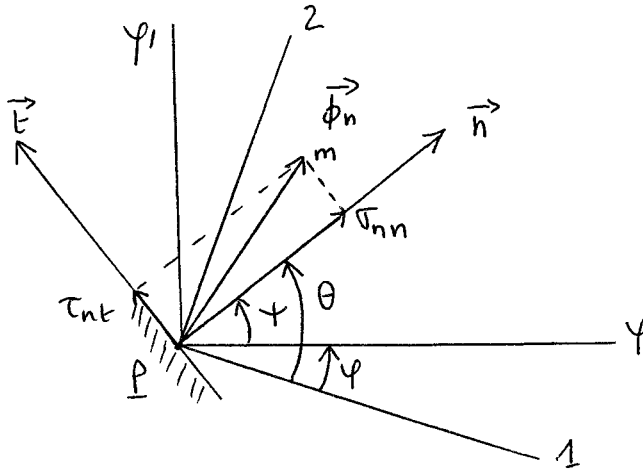


Figure 10

On a

$$\begin{cases} \sigma_{nn} = \frac{\sigma_{11} + \sigma_{22}}{2} + \frac{\sigma_{11} - \sigma_{22}}{2} \cos 2\theta + \sigma_{12} \sin 2\theta \\ \tau_{nt} = -\frac{\sigma_{11} - \sigma_{22}}{2} \sin 2\theta + \sigma_{12} \cos 2\theta \end{cases}$$

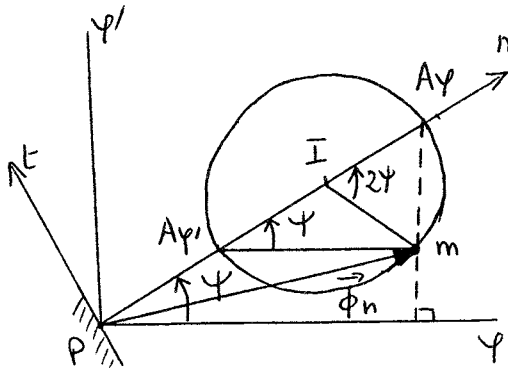
ou

$$\begin{cases} \sigma_{nn} = \frac{\sigma_{\varphi} + \sigma_{\varphi'}}{2} + \frac{\sigma_{\varphi} - \sigma_{\varphi'}}{2} \cos 2\psi \\ \tau_{nt} = -\frac{\sigma_{\varphi} - \sigma_{\varphi'}}{2} \sin 2\psi \end{cases}$$

C'est l'équation paramétrique d'un cercle, lieu de l'extrémité m de  $\vec{\phi}_n$  dans les axes mobiles  $\vec{n}$  et  $\vec{t}$ .

$$\left( \sigma_{nn} - \frac{\sigma_{\varphi} + \sigma_{\varphi'}}{2} \right)^2 + \tau_{nt}^2 = \left( \frac{\sigma_{\varphi} - \sigma_{\varphi'}}{2} \right)^2$$

Le centre I du cercle est sur Pn au point  $\frac{\sigma\varphi + \sigma\varphi'}{2}$  et son rayon est égal à  $\frac{\sigma\varphi - \sigma\varphi'}{2}$  (fig. 11)



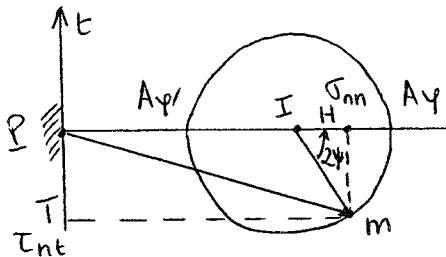
$$\begin{aligned}\overline{PA} &= \sigma\varphi \\ \overline{PA'} &= \sigma\varphi' \\ \overline{PI} &= \frac{\sigma\varphi + \sigma\varphi'}{2}\end{aligned}$$

$$\sigma_{nn} = \overline{PI} + R \cos 2\psi$$

$$\tau_{nt} = -R \sin 2\psi$$

Figure 11

Remarque 1 : L'axe  $\varphi$  est parallèle à  $A\varphi'm$  d'où la construction de Mohr (fig. 12)



$$\begin{aligned}\overline{PH} &= \sigma_{nn} \\ \overline{PT} &= \tau_{nt}\end{aligned}$$

Figure 12

Remarque 2 : Quand n tourne d'un angle  $\psi$  par rapport à l'axe  $\varphi$ , on tourne d'un angle  $2\psi$  en sens inverse.

- Les contraintes normales  $\sigma_{nn}$  sont comprises entre

$$\sigma\varphi' \leq \sigma_{nn} \leq \sigma\varphi$$

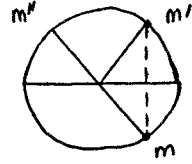
- Cissions particulières : cission maximale pour

$$\psi = \pm 45^\circ \quad \tau_{\max} = \frac{\sigma\varphi - \sigma\varphi'}{2}$$

cission pure seulement si  $\sigma_\varphi$  et  $\sigma_{\varphi'}$  sont de signe contraire.

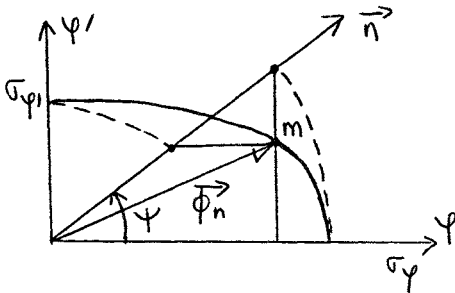
- points particuliers :

$m'$  représente une facette symétrique par rapport à l'axe  $\varphi$   
 $m''$  une facette perpendiculaire à celle représentée par  $m$ .



Remarque 3 : lieu de  $m$  dans les axes  $\varphi$  et  $\varphi'$

$$\begin{bmatrix} X_1 \\ X_2 \\ X_3 \end{bmatrix} = \begin{bmatrix} \sigma_{11} \cos \theta + \sigma_{12} \sin \theta \\ \sigma_{12} \cos \theta + \sigma_{22} \sin \theta \\ 0 \end{bmatrix} \Rightarrow \begin{bmatrix} X_\varphi \\ X_{\varphi'} \end{bmatrix} = \begin{bmatrix} \sigma_\varphi \cos \psi \\ \sigma_{\varphi'} \sin \psi \end{bmatrix}$$



$\begin{cases} X = \sigma_\varphi \cos \psi \\ Y = \sigma_{\varphi'} \sin \psi \end{cases}$   
 est l'équation paramétrique d'une ellipse (fig. 13) qui est l'ellipse de Lamé (cf. § III.2.3)

$$\frac{X^2}{\sigma_\varphi^2} + \frac{Y^2}{\sigma_{\varphi'}^2} = 1$$

Figure 13



### III.2.5. - Tricercle de Mohr

- 1 - Position du problème : c'est une représentation plane du faisceau des contraintes fondamentales. On cherche à représenter l'état de contrainte sur un élément de surface ds entourant le point P : cherchons le lieu de m dans les axes mobiles  $\vec{n}$ ,  $\vec{t}$ ,  $\vec{\bar{t}}$  étant dans le plan contenant à la fois  $\vec{n}$  et  $\vec{\bar{p}}_n$ . Soient  $X_1$ ,  $X_2$ ,  $X_3$  les axes principaux et  $\sigma_1$ ,  $\sigma_2$ ,  $\sigma_3$  les contraintes principales avec la convention d'écriture :  $\sigma_1 > \sigma_2 > \sigma_3$  (fig. 15)

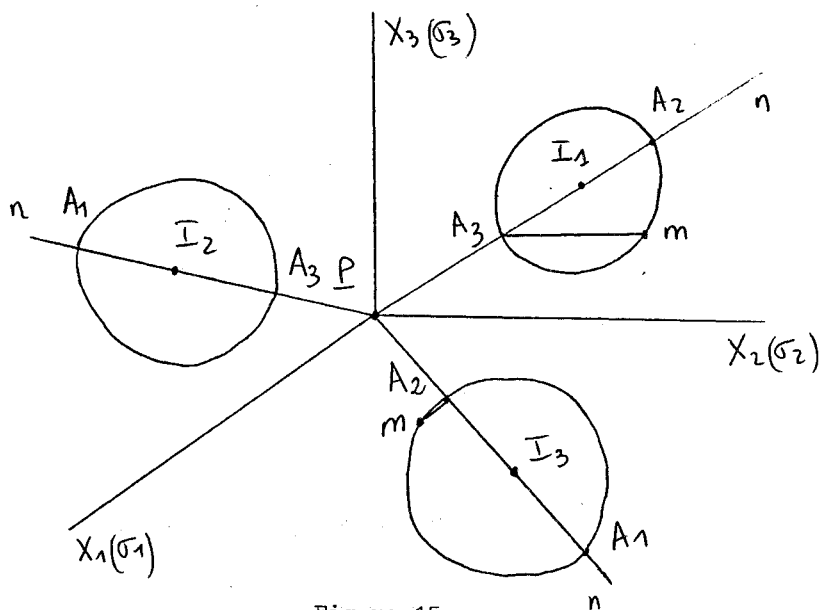


Figure 15

Lorsque la facette // à l'axe  $X_3$  tourne autour de  $X_3$ , le point m se trouve sur le cercle de centre  $I_3$  et de diamètre  $A_1A_2$ . Il en est de même pour les axes  $X_1$  et  $X_2$ .

Pour une facette quelconque (non parallèle à l'un des axes principaux), on va montrer que le point m représentatif se situe obligatoirement dans la zone hachurée du diagramme  $(\sigma_{nn}, \tau_{nt})$  Fig. 16

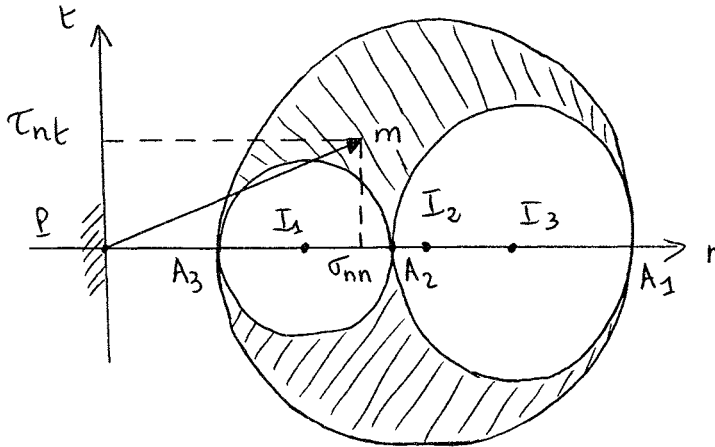
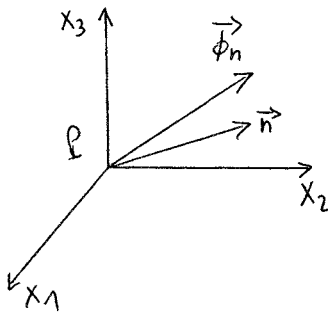


Figure 16

- 2 - Mise en équation (fig 17)



$$[\sigma_{ij}] = \begin{bmatrix} \sigma_1 & 0 & 0 \\ 0 & \sigma_2 & 0 \\ 0 & 0 & \sigma_3 \end{bmatrix}$$

Appliquons la relation III.9

$$\text{On a } \sigma_{nn} = \sigma_1 n_1^2 + \sigma_2 n_2^2 + \sigma_3 n_3^2$$

$$|\vec{\phi}_n|^2 = \sigma_{nn}^2 + \tau_{nt}^2 = x_1^2 + x_2^2 + x_3^2$$

$$\text{d'après la relation III.2 } = \sigma_1^2 n_1^2 + \sigma_2^2 n_2^2 + \sigma_3^2 n_3^2$$

Figure 17

$$\begin{cases} \tau_{nn}^2 + \tau_{nt}^2 = \sigma_1^2 n_1^2 + \sigma_2^2 n_2^2 + \sigma_3^2 n_3^2 \\ \sigma_{nn} = \sigma_1 n_1^2 + \sigma_2 n_2^2 + \sigma_3 n_3^2 \\ 1 = n_1^2 + n_2^2 + n_3^2 \end{cases} \quad (13)$$

Il est possible d'attacher à toute facette de normale  $\vec{n}$  un point  $m$  ( $\sigma_{nn}, \tau_{nt}$ ) dans le plan ( $\sigma_{nn}, \tau_{nt}$ ). Inversement recherchons à quelle condition un point  $m$  ( $\sigma_{nn}, \tau_{nt}$ ) du plan correspond à une facette de normale  $\vec{n}(n_1, n_2, n_3)$ . Cette condition se ramène simplement à réduire le système d'équations (13).

Réolvons le système par rapport à  $n_1^2, n_2^2, n_3^3$ .

$$\Delta = \begin{vmatrix} \sigma_1^2 & \sigma_2^2 & \sigma_3^2 \\ \sigma_1 & \sigma_2 & \sigma_3 \\ 1 & 1 & 1 \end{vmatrix} = \begin{vmatrix} \sigma_1^2 - \sigma_2^2 & \sigma_2^2 - \sigma_3^2 & \sigma_3^2 \\ \sigma_1 - \sigma_2 & \sigma_2 - \sigma_3 & \sigma_3 \\ 0 & 0 & 1 \end{vmatrix}$$

$$\Delta = (\sigma_1 - \sigma_2) (\sigma_2 - \sigma_3) \begin{vmatrix} \sigma_1 + \sigma_2 & \sigma_2 + \sigma_3 & \sigma_3^2 \\ 1 & 1 & \sigma_3 \\ 0 & 0 & 1 \end{vmatrix}$$

$$= (\sigma_1 - \sigma_2) (\sigma_2 - \sigma_3) (\sigma_1 + \sigma_2 - \sigma_2 - \sigma_3)$$

$$= (\sigma_1 - \sigma_2) (\sigma_2 - \sigma_3) (\sigma_1 - \sigma_3)$$

$$\Delta_{n1}^2 = \begin{vmatrix} \sigma_{nn}^2 + \tau_{nt}^2 & \sigma_2^2 & \sigma_3^2 \\ \sigma_{nn} & \sigma_2 & \sigma_3 \\ 1 & 1 & 1 \end{vmatrix} = (\sigma_2 - \sigma_3) \begin{vmatrix} \sigma_{nn}^2 + \tau_{nt}^2 & \sigma_2 + \sigma_3 & \sigma_3^2 \\ \sigma_{nn} & 1 & \sigma_3 \\ 1 & 0 & 1 \end{vmatrix}$$

$$= (\sigma_2 - \sigma_3) \left[ \sigma_{nn}^2 + \tau_{nt}^2 + (\sigma_2 + \sigma_3) \sigma_3 - \sigma_{nn} (\sigma_2 + \sigma_3) - \sigma_3^2 \right]$$

$$\text{soit } n_1^2 = \frac{\Delta_{n1}^2}{\Delta} = \frac{\sigma_{nn}^2 + \tau_{nt}^2 - \sigma_{nn} (\sigma_3 + \sigma_2) + \sigma_2 \sigma_3}{(\sigma_1 - \sigma_2) (\sigma_1 - \sigma_3)}$$

et par permutation circulaire

$$n_2^2 = \frac{\sigma_{nn}^2 + \tau_{nt}^2 - \sigma_{nn}(\sigma_3 + \sigma_1) + \sigma_3 \sigma_1}{(\sigma_2 - \sigma_3)(\sigma_2 - \sigma_1)} \quad (14)$$

$$n_3^2 = \frac{\sigma_{nn}^2 + \tau_{nt}^2 - \sigma_{nn}(\sigma_1 + \sigma_2) + \sigma_1 \sigma_2}{(\sigma_3 - \sigma_1)(\sigma_3 - \sigma_2)}$$

### - 3 - Discussion

Ces trois valeurs représentent les cosinus directeurs (par rapport aux axes principaux) de la normale aux facettes pour lesquelles  $\sigma_{nn}$  et  $\tau_{nt}$  ont les valeurs choisies. Mais ces deux valeurs ne sont pas quelconques car  $n_1^2$ ,  $n_2^2$  et  $n_3^2$  sont positifs.

Il faut donc que

$$\begin{cases} \sigma_{nn}^2 + \tau_{nt}^2 - \sigma_{nn}(\sigma_2 + \sigma_3) + \sigma_2 \sigma_3 \geq 0 \\ \sigma_{nn}^2 + \tau_{nt}^2 - \sigma_{nn}(\sigma_1 + \sigma_2) + \sigma_1 \sigma_2 \leq 0 \\ \sigma_{nn}^2 + \tau_{nt}^2 - \sigma_{nn}(\sigma_1 + \sigma_2) + \sigma_1 \sigma_2 \geq 0 \end{cases}$$

Ces conditions signifient que le point représentatif doit se trouver dans la partie hachurée du diagramme de la fig. 18 .  
En effet :

- la 1ère condition exprime que m est à l'extérieur du cercle centré en  $I_1$  et de rayon  $\frac{\sigma_2 - \sigma_3}{2}$ .
- la 2ème condition est vérifiée à l'intérieur du cercle centré en  $I_2$  et de rayon  $\frac{\sigma_1 - \sigma_3}{2}$
- la 3ème condition est vérifiée à l'extérieur du cercle centré en  $I_3$  et de rayon  $\frac{\sigma_1 - \sigma_2}{2}$



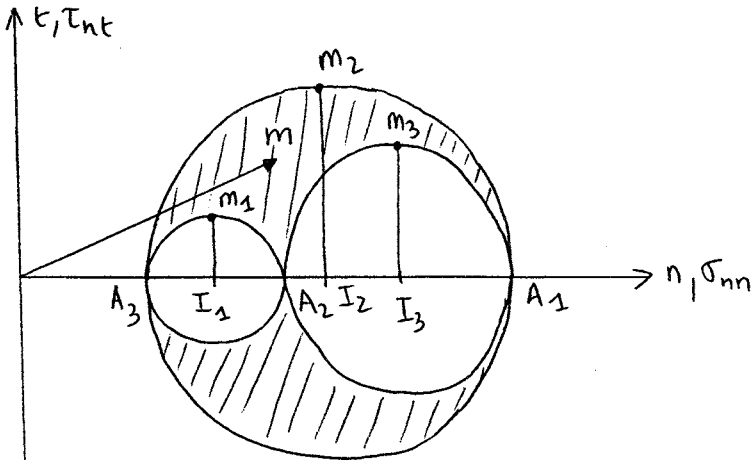


Figure 18

Remarques

On voit sur la figure 18 que :

- les contraintes normales sont comprises entre  $\sigma_3$  et  $\sigma_1$
- l'addition d'un état de contrainte sphérique ( $\sigma \ 0 \ 0, \ 0 \ \sigma \ 0, \ 0 \ 0 \ \sigma$ ) se traduit simplement par une translation d'ensemble du diagramme de Mohr de  $\sigma$  suivant l'axe des  $\sigma_{nn}$
- lorsque deux contraintes principales sont égales, un des cercles se réduit à un point et les autres cercles sont confondus, le point m se trouvant nécessairement dessus.
- lorsque les trois contraintes principales sont égales, les 3 cercles se réduisent à un point et le point m est confondu avec ce point
- lorsque le point m est situé sur un des cercles,  $n_1, n_2$  ou  $n_3$  est égal à 0 et la facette correspondante contient une direction principale. Dans ce cas, on peut utiliser les résultats obtenus au § III.2.4.

- 4 - Cisaillements principaux (fig. 18)

Pour des facettes passant par l'axe  $x_1$ , la cission maximale est égale à (point  $m_1$ ) :

$$\left\{ \begin{array}{l} \tau_1 = \frac{\sigma_2 - \sigma_3}{2} \\ \text{Pour l'axe } x_2, \text{ point } m_2 \\ \tau_2 = \frac{\sigma_1 - \sigma_3}{2} : \text{contrainte tangentielle maximale} \quad (15) \\ \text{Pour l'axe } x_3, \text{ point } m_3 \\ \tau_3 = \frac{\sigma_1 - \sigma_2}{2} \end{array} \right.$$

Les cosinus directeurs correspondant à chacune de ces cissions maximales peuvent être calculés à partir des relations (III.14).

$$\begin{array}{lll} \text{Pour } \tau_1 : n_1 = 0 & \text{Pour } \tau_2 : n_1 = \pm \sqrt{\frac{1}{2}} & \text{Pour } \tau_3 : n_1 = \pm \sqrt{\frac{1}{2}} \\ 2 : n_2 = \pm \sqrt{\frac{1}{2}} & n_2 = 0 & n_2 = \pm \sqrt{\frac{1}{2}} \\ 3 : n_3 = \pm \sqrt{\frac{1}{2}} & n_3 = \pm \sqrt{\frac{1}{2}} & n_3 = 0 \end{array}$$

Ce sont des facettes passant respectivement par les axes  $x_1$ ,  $x_2$ ,  $x_3$  et bissectrices de l'angle que font les deux autres axes principaux.

### III.2.6 Tenseur déviateur

-----

Le tenseur des contraintes définit entièrement l'état des contraintes autour d'un point

$$\sigma_{ij} = \begin{pmatrix} \sigma_{11} & \sigma_{12} & \sigma_{13} \\ \sigma_{12} & \sigma_{22} & \sigma_{23} \\ \sigma_{13} & \sigma_{23} & \sigma_{33} \end{pmatrix}$$

Le tenseur  $\sigma_{ij}$  peut être décomposé, d'après les propriétés générales des tenseurs, en la somme de deux tenseurs  $\sigma_{ij}^s$  et  $\sigma_{ij}^d$  avec

$$(16) \quad \sigma_{ij}^s = \begin{pmatrix} \sigma_m & 0 & 0 \\ 0 & \sigma_m & 0 \\ 0 & 0 & \sigma_m \end{pmatrix} \quad \sigma_m = \frac{\sigma_{11} + \sigma_{22} + \sigma_{33}}{3} = \frac{\text{trace}[\sigma]}{3} = \frac{I_1}{3} (*)$$

qui représente un état de contrainte très particulier : état de contrainte sphérique (ellipsoïde de Lamé est une sphère) ou hydrostatique correspondant uniquement à un changement de volume.

$$(16) \text{ et } \sigma_{ij}^d = \begin{pmatrix} \frac{2\sigma_{11} - \sigma_{22} - \sigma_{33}}{3} & \sigma_{12} & \sigma_{13} \\ \sigma_{12} & \frac{2\sigma_{22} - \sigma_{11} - \sigma_{33}}{3} & \sigma_{23} \\ \sigma_{13} & \sigma_{23} & \frac{2\sigma_{33} - \sigma_{11} - \sigma_{22}}{3} \end{pmatrix}$$

qui correspond au contraire à un état de contrainte sans dilatation volumique mais avec distorsion (ou cisaillement) :  $\sigma_{ij}^d$  est appelé tenseur déviateur. Sa trace est nulle

---

\* $\sigma_m$  est souvent appelé "contrainte moyenne": c'est en fait la moyenne des contraintes principales.

Les invariants du déviateur sont les suivants :

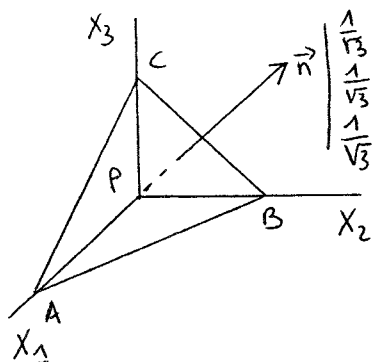
$$\begin{aligned}
 J_1 &= 0 \\
 J_2 &= -\frac{1}{6} \left[ (\sigma_{11} - \sigma_{22})^2 + (\sigma_{11} - \sigma_{33})^2 + (\sigma_{22} - \sigma_{33})^2 \right. \\
 &\quad \left. + 6(\sigma_{12}^2 + \sigma_{13}^2 + \sigma_{23}^2) \right] \\
 &= -\frac{1}{6} \left[ (\sigma_1 - \sigma_2)^2 + (\sigma_2 - \sigma_3)^2 + (\sigma_3 - \sigma_1)^2 \right] \\
 J_3 &= \det [\sigma_{ij}^d]
 \end{aligned}$$

Si on choisit comme axes de coordonnées les axes principaux, les tenseurs  $\sigma_{ij}$ ,  $\sigma_{ij}^s$  et  $\sigma_{ij}^d$  prennent la forme

$$\begin{pmatrix} \sigma_1 & 0 & 0 \\ 0 & \sigma_2 & 0 \\ 0 & 0 & \sigma_3 \end{pmatrix} = \begin{pmatrix} \sigma_m & 0 & 0 \\ 0 & \sigma_m & 0 \\ 0 & 0 & \sigma_m \end{pmatrix} + \begin{pmatrix} \frac{2\sigma_1 - \sigma_2 - \sigma_3}{3} & 0 & 0 \\ 0 & \frac{2\sigma_2 - \sigma_1 - \sigma_3}{3} & 0 \\ 0 & 0 & \frac{2\sigma_3 - \sigma_1 - \sigma_2}{3} \end{pmatrix}$$

### III.2.7. - Contraintes octaédriques

Les ruptures ont tendance à se produire suivant des plans également inclinés sur les 3 axes principaux (la normale est la trissectrice du trièdre) (fig. 19)



$\sigma_1, \sigma_2, \sigma_3$  sont donnés

$$n_1 = n_2 = n_3 = \frac{1}{\sqrt{3}}$$

Ainsi, on a (relations III.13)

$$\sigma_{nn} = \sigma_1 n_1^2 + \sigma_2 n_2^2 + \sigma_3 n_3^2$$

$$\sigma_{nn}^2 + \tau_{nt}^2 = \sigma_1^2 n_1^2 + \sigma_2^2 n_2^2 + \sigma_3^2 n_3^2$$

Figure 19

$$\text{soit } \sigma_{nn} = \frac{\sigma_1 + \sigma_2 + \sigma_3}{3} = \frac{I_1}{3} = \sigma_{oct} = \sigma_m$$

$$\tau_{nt}^2 = \frac{\sigma_1^2 + \sigma_2^2 + \sigma_3^2}{3} - \frac{(\sigma_1 + \sigma_2 + \sigma_3)^2}{9}$$

$$= \frac{1}{9}(2\sigma_1^2 + 2\sigma_2^2 + 2\sigma_3^2 - 2\sigma_1\sigma_2 - 2\sigma_2\sigma_3 - 2\sigma_3\sigma_1)$$

$$(17) \left| \begin{aligned} \tau_{oct}^2 &= \tau_{nt}^2 = \frac{1}{9} \left[ (\sigma_1 - \sigma_2)^2 + (\sigma_2 - \sigma_3)^2 + (\sigma_3 - \sigma_1)^2 \right] \\ &= \frac{1}{3} \left[ (\sigma_1 - \sigma_m)^2 + (\sigma_2 - \sigma_m)^2 + (\sigma_3 - \sigma_m)^2 \right] \\ \tau_{oct}^2 &= \frac{1}{9} (2I_1^2 - 6I_2) \end{aligned} \right|$$

On remarque que  $\sigma_{oct}$  et  $\tau_{oct}$  s'expriment uniquement en fonction des invariants du tenseur des contraintes. Ces valeurs sont les mêmes pour les huit plans identiques à ABC entourant le point P et formant un octaèdre. C'est pour cette raison qu'on les appelle contraintes octaédriques.

On peut exprimer  $\tau_{oct}$  en fonction des  $\sigma_{ij}$  rapportés à des axes quelconques (cf. § III.2.2).

$$\tau_{oct}^2 = \frac{1}{9} \left[ 2\sigma_{11}^2 + 2\sigma_{22}^2 + 2\sigma_{33}^2 + 4\sigma_{11}\sigma_{22} + 4\sigma_{22}\sigma_{33} + 4\sigma_{33}\sigma_{11} \right. \\ \left. - 6\sigma_{11}\sigma_{22} - 6\sigma_{22}\sigma_{33} - 6\sigma_{33}\sigma_{11} + 6\sigma_{13}^2 + 6\sigma_{32}^2 + 6\sigma_{12}^2 \right]$$

$$= \frac{1}{9} \left[ (\sigma_{11} - \sigma_{22})^2 + (\sigma_{22} - \sigma_{33})^2 + (\sigma_{33} - \sigma_{11})^2 + 6(\sigma_{12}^2 + \sigma_{23}^2 + \sigma_{13}^2) \right]$$

On peut remarquer aussi que :  $\tau_{oct}^2 = -\frac{2}{3} J_2$

### III.3 - Equations d'équilibre

Les composantes du tenseur des contraintes dans un corps en équilibre sous l'action de forces de surface et de forces de volume doivent vérifier les équations d'équilibre indéfini et les équations d'équilibre à la surface.

Considérons un parallélépipède élémentaire situé à l'intérieur d'un corps soumis à des contraintes (fig. 20).

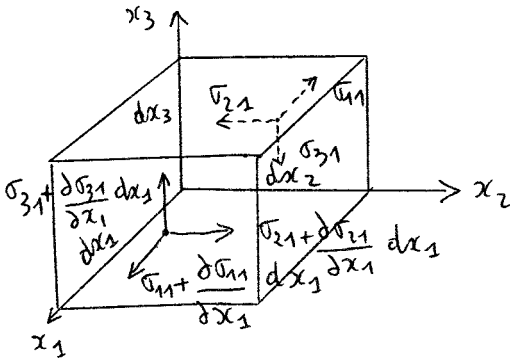


Figure 20

Ecrivons que le parallélépipède est en équilibre : on écrit d'abord que la somme des moments des forces par rapport à chacun des axes est nulle (mouvement de rotation) et on retrouve le fait qu'en l'absence de champ de moments  $\sigma_{ij}$  est un tenseur symétrique.

On écrit ensuite que la résultante des forces appliquées au parallélépipède est nulle. Considérons la projection de cette résultante sur l'axe  $Ox_1$ .

Les forces suivant  $Ox_1$  qui s'exercent sur les 2 faces perpendiculaires à  $Ox_1$  sont :

$$-\sigma_{11}dx_2dx_3 + \left(\sigma_{11} + \frac{\partial\sigma_{11}}{\partial x_1}dx_1\right)dx_2dx_3 = \frac{\partial\sigma_{11}}{\partial x_1}dx_1dx_2dx_3$$

Sur les deux faces perpendiculaires à  $Ox_2$  :

$$\frac{\partial \sigma_{12}}{\partial x_2} dx_1 dx_2 dx_3$$

Sur les deux faces perpendiculaires à  $Ox_3$

$$\frac{\partial \sigma_{13}}{\partial x_3} dx_1 dx_2 dx_3$$

S'il existe un champ de force  $\vec{F}_v$ , l'équation du mouvement s'écrit :

$$\frac{\partial \sigma_{11}}{\partial x_1} + \frac{\partial \sigma_{12}}{\partial x_2} + \frac{\partial \sigma_{13}}{\partial x_3} + F_{v1} = \rho \frac{d^2 x_1}{dt^2}$$

$\rho$  = masse volumique

Suivant les deux autres axes, on obtient des équations identiques. Ainsi, l'équation du mouvement de translation prend la forme :

$$\boxed{\frac{\partial \sigma_{ij}}{\partial x_j} + F_{vi} = \rho \frac{d^2 x_i}{dt^2}} \quad (18)$$

si  $\vec{F}_v$  est la pesanteur :  $F_{vi} = \rho g_i$

$$\boxed{\frac{\partial \sigma_{ij}}{\partial x_j} + \rho g_i = \rho \frac{d^2 x_i}{dt^2}} \quad (19)$$

C'est l'équation fondamentale qui relie les variations spatiales des contraintes dans un corps aux accélérations des éléments de volume. Elle constitue comme nous le verrons ultérieurement, le point de départ de l'étude des oscillations élastiques dans les solides.

Dans le cas où le corps est en équilibre statique, les équations (19) prennent la forme :

$$\frac{\partial \sigma_{ij}}{\partial x_j} + F_{vi} = 0 \quad (18')$$

$$\frac{\partial \sigma_{ij}}{\partial x_j} + \rho g_i = 0 \quad (19')$$

Ce sont les équations d'équilibre, très utilisées dans la théorie de l'élasticité.

Ces équations peuvent aussi s'écrire :

$$\text{div} \sigma_{ij} + F_{vi} = 0 \quad (18'')$$

Conditions aux limites :

Considérons un point P situé sur la surface du corps (fig. 21) et dont la normale à la surface est  $\vec{n}$

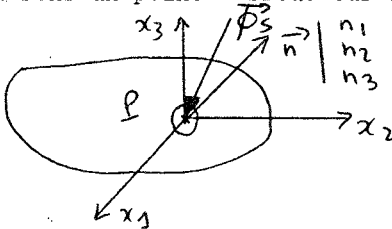


Figure 21

Supposons qu'au point P soit appliquée une force de contact  $\vec{\phi}_s$  dont les composantes par unité de surface sont égales à :

$$X_{s1}, X_{s2}, X_{s3}$$

Les contraintes internes doivent en ce point équilibrer les efforts extérieurs soit en appliquant la relation (III.2) :

$$X_{s1} = \sigma_{11}n_1 + \sigma_{12}n_2 + \sigma_{13}n_3 = X_{s1}$$

ou plus généralement :

$$X_{si} = \sigma_{ij}n_j \quad (20)$$

La condition (20) doit être vérifiée sur toute la surface. Si au point considéré ne s'applique aucune force (la surface est dite libre), on aura alors :  $\sigma_{ij}n_j = 0$ .



### III.4 - Formes particulières prises par le tenseur des contraintes

(rapporté à ses axes principaux)

#### 1°/ Contrainte uniaxiale

$$\begin{bmatrix} \sigma & 0 & 0 \\ 0 & 0 & 0 \\ 0 & 0 & 0 \end{bmatrix}$$

C'est le cas d'une tige verticale infiniment longue portant un poids à son extrémité.

#### 2°/ Contrainte biaxiale

$$\begin{bmatrix} \sigma_1 & 0 & 0 \\ 0 & \sigma_2 & 0 \\ 0 & 0 & 0 \end{bmatrix}$$

Nous retrouverons un tel tenseur dans le cas d'une plaque mince.

#### 3°/ Contrainte triaxiale

C'est l'état de contrainte le plus général, présentant trois contraintes principales  $\neq 0$ .

$$\begin{bmatrix} \sigma_1 & 0 & 0 \\ 0 & \sigma_2 & 0 \\ 0 & 0 & \sigma_3 \end{bmatrix}$$

#### 4°/ Pression hydrostatique

$$\begin{bmatrix} -p & 0 & 0 \\ 0 & -p & 0 \\ 0 & 0 & -p \end{bmatrix} \quad \text{ou} \quad \left[ -p \delta_{ij} \right]$$

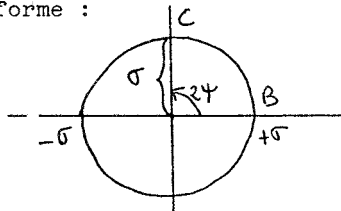
5°/ Contrainte de cisaillement pur

C'est un cas particulier de contrainte biaxiale. Dans une tige longue soumise à une torsion pure se produit une distribution non uniforme de contraintes de cisaillement pur.

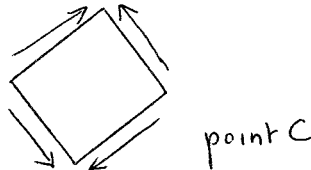
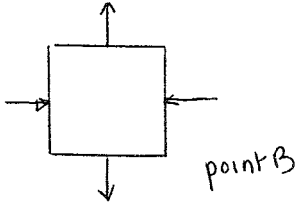
$$\begin{bmatrix} -\sigma & 0 & 0 \\ 0 & \sigma & 0 \\ 0 & 0 & 0 \end{bmatrix}$$

La construction du cercle de Mohr montre que, si l'on fait tourner les axes de  $45^\circ$  autour de  $Ox_3$ , la contrainte normale disparaît et le tenseur prend la forme :

$$\begin{bmatrix} 0 & \sigma & 0 \\ \sigma & 0 & 0 \\ 0 & 0 & 0 \end{bmatrix}$$



$Ox_3$  est l'axe de cisaillement. Les forces qui agissent sur les faces d'éléments orientés différemment sont les suivantes :



Remarque : Différence entre le tenseur des contraintes et le tenseur représentant des propriétés cristallines

Les tenseurs représentant les propriétés cristallines ont des orientations bien définies dans le cristal et suivent la symétrie cristalline. Ce sont des tenseurs matériels. Par contre le tenseur des contraintes (comme celui de déformation que nous allons voir), peut avoir n'importe quelle orientation à l'intérieur du cristal. Il peut exister aussi bien dans les corps isotropes que dans les cristaux anisotropes. Il ne traduit pas les propriétés d'un cristal mais dépend d'un champ de forces appliquée au solide : de tels tenseurs sont des tenseurs de champ.

# CHAPITRE IV

## TENSEUR DES DEFORMATIONS

### IV.1. - Déplacements et déformations

Soient dans un solide continu non déformé deux points P et Q voisins de coordonnées respectives  $x_i$  et  $x_i + dx_i$ . Le carré de leur distance est :

$$ds^2 = \sum_i dx_i^2$$

Supposons que chaque point du solide subisse un déplacement  $\vec{u}(x_i)$  défini de façon unique et dépendent des coordonnées du point donné :

P vient en P' de coordonnées  $X_i = x_i + u_i$

Q vient en Q' de coordonnées  $X'_i = \underbrace{x_i + u_i}_{X_i} + \underbrace{dx_i + du_i}_{dX_i}$

Le carré de la distance des deux points déplacés P'Q' est :

$$dS^2 = \sum_i dX_i^2$$

Nous disons qu'il y a déformation locale si  $dS^2$  est différent de  $ds^2$  (si  $dS^2 = ds^2$  il y a déplacement rigide de l'ensemble). Nous n'avons pas fait d'hypothèses sur le déplacement  $u(x_i)$  sinon qu'il soit défini et unique en tout point du solide. Faisons maintenant l'hypothèse que le champ de vecteurs  $u(x_i)$  est continu et dérivable.

Considérons un point P de coordonnées  $x_i$  au repos. Après déformation P vient en  $P_1$  de coordonnées  $x_i + u_i$ , le vecteur  $\overline{PP_1}$  étant le vecteur déplacement  $\vec{u}$  (fig. 1).

Considérons un point Q voisin de P :  $\overline{PQ} = [dx_i]$

Après déformation, Q vient en  $Q_1$  :

$$\overline{P_1Q_1} = [dx_i] + [du_i] = [dx'_i]$$

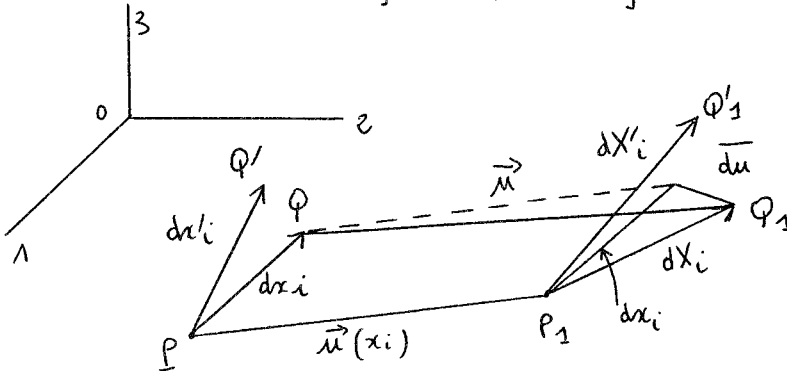


Figure 1

$[du_i]$  est la variation de la distance des deux points P et Q initialement séparés de  $[dx_i]$ . Comme  $[u_i]$  est fonction de  $x_i$ , on peut écrire, les déplacements étant supposés petits :

$$\begin{aligned} du_1 &= \frac{\partial u_1}{\partial x_1} dx_1 + \frac{\partial u_1}{\partial x_2} dx_2 + \frac{\partial u_1}{\partial x_3} dx_3 \\ du_2 &= \frac{\partial u_2}{\partial x_1} dx_1 + \frac{\partial u_2}{\partial x_2} dx_2 + \frac{\partial u_2}{\partial x_3} dx_3 \\ du_3 &= \frac{\partial u_3}{\partial x_1} dx_1 + \frac{\partial u_3}{\partial x_2} dx_2 + \frac{\partial u_3}{\partial x_3} dx_3 \end{aligned}$$

ou

$$du_i = \frac{\partial u_i}{\partial x_j} dx_j = e_{ij} dx_j \quad (1)$$

avec

$$e_{ij} = \frac{\partial u_i}{\partial x_j} \quad (2)$$

La quantité  $e_{ij}$ , qui représente le gradient du déplacement, est un tenseur du second ordre ( $e_{ij}$  relie entre eux les deux vecteurs  $\vec{u}$  et  $\vec{dx}$ , cf. chapitre I), dont la valeur doit être calculée en P. Ainsi le déplacement des points voisins Q et Q' s'écrivent :

$$\begin{cases} u_i(Q) = u_i(P) + e_{ij} dx_j \\ u_i(Q') = u_i(P) + e_{ij} dx'_j \end{cases} \quad \sum_j$$

On peut donc écrire :

$$\begin{aligned} dX_i &= dx_i + du_i = dx_i + u_i(Q) - u_i(P) \\ \begin{cases} dX_i &= dx_i + e_{ij} dx_j = (\delta_{ij} + e_{ij}) dx_j \\ dX'_i &= dx'_i + e_{ij} dx'_j = (\delta_{ij} + e_{ij}) dx'_j \end{cases} \end{aligned} \quad (3)$$

$\delta_{ij}$  = tenseur unité ou symbole de Kronecker

$$\delta_{ij} \begin{cases} = 1 \text{ si } i = j \\ = 0 \text{ si } i \neq j \end{cases}$$

On peut vérifier que  $\delta_{ij} \delta_{jk} = \delta_{ik}$

$$\begin{aligned} \delta_{ij} T_{jk} &= T_{ik} & \delta_{ij} V_i V_j &= V_k V_k = \left| \vec{V} \right|^2 \\ \delta_{kk} &= 3 \end{aligned}$$

Comparons les produits scalaires  $\vec{dx} \cdot \vec{dx}'$  et  $\vec{dX} \cdot \vec{dX}'$

$$\begin{aligned} \vec{dX} \cdot \vec{dX}' &= dX_i dX'_i = (\delta_{ik} + e_{ik}) (\delta_{ij} + e_{ij}) dx_k dx'_j \\ &= (\delta_{jk} + e_{jk} + e_{kj} + e_{ik} e_{ij}) dx_k dx'_j \\ &= P_{kj} dx_k dx'_j \end{aligned}$$

avec

$$\begin{aligned} P_{ij} &= \delta_{ij} + 2 \Delta_{ij} \\ \Delta_{ij} &= \frac{1}{2} \left[ e_{ij} + e_{ji} + e_{ki} e_{kj} \right] \end{aligned} \quad (4)$$

$$\Delta_{ij} = \frac{1}{2} \left[ \frac{\partial u_i}{\partial x_j} + \frac{\partial u_j}{\partial x_i} + \frac{\partial u_k}{\partial x_i} \frac{\partial u_k}{\partial x_j} \right] \quad \varepsilon_k$$

On a ainsi :

$$\begin{aligned} \overrightarrow{dX} \cdot \overrightarrow{dx'} &= (\delta_{ij} + 2 \Delta_{ij}) dx_i dx'_j \\ &= dx_j dx'_j + 2 \Delta_{ij} dx_i dx'_j \\ &= \overrightarrow{dx} \cdot \overrightarrow{dx'} + 2 \Delta_{ij} dx_i dx'_j \end{aligned}$$

$$d'où \overrightarrow{dX} \cdot \overrightarrow{dx'} - \overrightarrow{dx} \cdot \overrightarrow{dx'} = 2 \Delta_{ij} dx_i dx'_j \quad (5)$$

$P_{ij}$  et  $\Delta_{ij}$  sont des tenseurs symétriques de rang deux.

Dans le cas où les produits scalaires sont conservés,  $\Delta_{ij}$  est nul et  $P_{ij}$  est alors égal à  $\delta_{ij}$  : c'est le cas d'un déplacement rigide de l'ensemble du solide. Ainsi  $P_{ij}$  et  $\Delta_{ij}$  donnent une mesure de la déformation du milieu et peuvent donc être utilisés comme tenseurs de déformation : ce sont respectivement les tenseurs de Cauchy et de Green.

## IV.2. - Déformations infinitésimales

### IV.2.1. - Signification géométrique des $e_{ij}$

Les expressions précédentes se simplifient si les déplacements et les composantes du gradient du déplacement sont petits : c'est-à-dire si

$$du_i \ll dx_i \quad \text{et si} \quad e_{ij} \ll 1$$

Dans ces conditions, on peut donner une signification géométrique simple aux  $e_{ij}$ .

Considérons deux positions particulières du vecteur  $\overline{PQ}$  : l'une parallèle à l'axe  $Ox_1$ , l'autre parallèle à l'axe  $Ox_2$  (fig. 2). Examinons la déformation de l'élément rectangulaire en P.

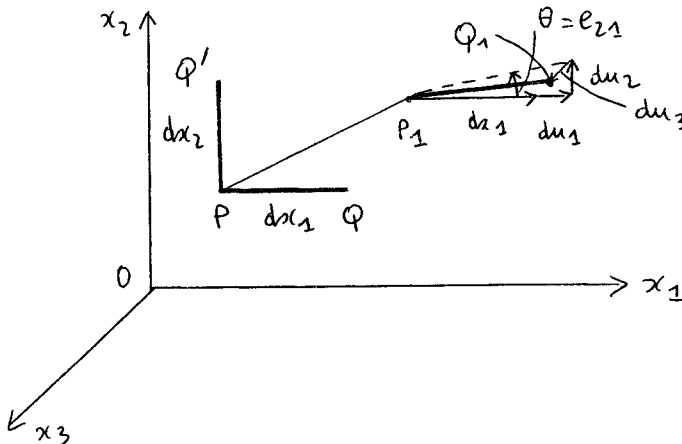


Figure 2

Pour le vecteur  $\overline{PQ}$ , on a :  $dx_2 = 0$

$$\text{soit : } du_1 = \frac{\partial u_1}{\partial x_1} dx_1 = e_{11} dx_1$$

$$du_2 = \frac{\partial u_2}{\partial x_1} dx_1 = e_{21} dx_1$$

$$du_3 = \frac{\partial u_3}{\partial x_1} dx_1 = e_{31} dx_1$$

Donc  $e_{11}$  mesure l'allongement par unité de longueur de PQ dans la direction  $Ox_1$ .

$e_{21}$  mesure la rotation de PQ (le sens positif étant le sens inverse des aiguilles d'une montre) vers l'axe  $Ox_2$ , cette rotation étant effectuée autour de l'axe  $Ox_3$ .

$$\text{On a en effet : } r_{g\theta} = \frac{du_2}{dx_1 + du_1} \approx \theta \approx \frac{du_2}{dx_1}$$

D'une manière générale :

- $e_{ii}$  représente l'allongement par unité de longueur parallèlement à l'axe  $Ox_i$  d'un segment initialement parallèle à cet axe  $Ox_i$
- $e_{ij}$  représente la rotation vers  $Ox_i$  d'un élément linéaire parallèle à  $Ox_j$ , cette rotation étant effectuée autour de l'axe  $Ox_k$ .

#### IV.2.2. - Décomposition de la déformation.

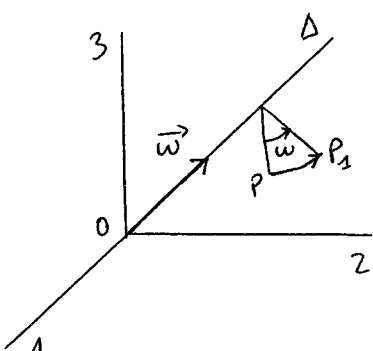
##### Rotation et déformation pure

Le tenseur  $[e_{ij}]$  représente-t-il bien la déformation au point P ? Si oui, les composantes du tenseur doivent s'annuler quand il n'y a pas de déformation. Or ceci n'est pas vrai.



Imposons en effet au corps une rotation infiniment petite de vecteur  $\vec{\omega}$ : le déplacement du point P est égal à (fig. 3).

$$\overrightarrow{PP_1} = \vec{\omega} \wedge \overrightarrow{OP}$$

$$\overrightarrow{OP} \begin{vmatrix} x_1 \\ x_2 \\ x_3 \end{vmatrix} \quad \vec{\omega} \begin{vmatrix} p \\ q \\ r \end{vmatrix}$$


$$\overrightarrow{PP_1} = \begin{bmatrix} qx_3 - rx_2 \\ rx_1 - px_3 \\ px_2 - qx_1 \end{bmatrix}$$

Figure 3

De même,

$$\overrightarrow{QQ_1} = \vec{\omega} \wedge \overrightarrow{OQ}$$

$$\overrightarrow{OQ} \begin{vmatrix} x_1+dx_1 \\ x_2+dx_2 \\ x_3+dx_3 \end{vmatrix} \quad \overrightarrow{PQ} \begin{vmatrix} dx_1 \\ dx_2 \\ dx_3 \end{vmatrix}$$

soit  $\overline{P_1Q_1} = \overline{P_1P} + \overline{PQ} + \overline{QQ_1}$

$$\overline{dX} = \overline{dx} + \overline{du}$$

$$\overline{du} = \overline{P_1P} + \overline{QQ_1} = \vec{\omega} \wedge (\overrightarrow{OQ} - \overrightarrow{OP}) = \vec{\omega} \wedge (\overrightarrow{PQ})$$

$$\overline{du} = \vec{\omega} \wedge \overrightarrow{dx}$$

$$\begin{vmatrix} du_1 = q dx_3 - r dx_2 \\ du_2 = r dx_1 - p dx_3 \\ du_3 = p dx_2 - q dx_1 \end{vmatrix}$$

8 - 1

$$\text{ou } \begin{bmatrix} du_i \end{bmatrix} = \begin{bmatrix} 0 & -r & q \\ r & 0 & -p \\ -q & p & 0 \end{bmatrix} \begin{bmatrix} dx_i \end{bmatrix}$$

soit en notation matricielle  $\begin{bmatrix} du \end{bmatrix} = \begin{bmatrix} \omega \end{bmatrix} \begin{bmatrix} dx \end{bmatrix}$  (6)

ou tensorielle  $du_i = \omega_{ij} dx_j$

$\omega_{ij}$  étant un tenseur antisymétrique.

$$\begin{bmatrix} \omega \end{bmatrix} = \begin{bmatrix} 0 & \omega_{12} & \omega_{13} \\ -\omega_{12} & 0 & \omega_{23} \\ -\omega_{13} & -\omega_{23} & 0 \end{bmatrix} \quad \left| \begin{array}{l} \omega_{12} = -r \\ \omega_{13} = q \\ \omega_{23} = -p \end{array} \right.$$

Inversement, chaque fois qu'un déplacement infiniment petit se mettra sous cette forme, ce sera une rotation  $\vec{\omega}(p, q, r)$ .

On voit donc que dans le cas d'une rotation, le tenseur  $e_{ij}$  n'est pas nul mais est antisymétrique.

D'après la définition de  $e_{ij}$ , le déplacement du point Q voisin de P, peut s'écrire :

$$\begin{aligned} u_i(Q) &= u_i(P) + e_{ij} dx_j = u_i(P) + du_i \\ &= u_i(P) + \frac{1}{2} (e_{ij} + e_{ji}) dx_j + \frac{1}{2} (e_{ij} - e_{ji}) dx_j \\ &= u_i(P) + \epsilon_{ij} dx_j + \omega_{ij} dx_j \end{aligned}$$

en posant

$$\begin{aligned} \epsilon_{ij} &= \frac{1}{2} (e_{ij} + e_{ji}) = \frac{1}{2} \left( \frac{\partial u_i}{\partial x_j} + \frac{\partial u_j}{\partial x_i} \right) \\ \omega_{ij} &= \frac{1}{2} (e_{ij} - e_{ji}) = \frac{1}{2} \left( \frac{\partial u_i}{\partial x_j} - \frac{\partial u_j}{\partial x_i} \right) \\ e_{ij} &= \epsilon_{ij} + \omega_{ij} \end{aligned}$$

(7)

$\epsilon_{ij}$  est un tenseur symétrique car  $\epsilon_{ij} = \epsilon_{ji}$

$\omega_{ij}$  est un tenseur antisymétrique car  $\omega_{ij} = -\omega_{ji}$

On distingue ici la contribution de 3 termes pour le déplacement du point Q :

-  $u_i(P)$  représente une simple translation de vecteur  $\vec{u} = \overrightarrow{PP_1}$

-  $\omega_{ij} dx_j$  représente une rotation de vecteur  $\vec{\omega}$  (relation 6)

$$\vec{\omega} = \begin{cases} \omega_{32} = -\omega_{23} \\ \omega_{13} = -\omega_{31} \\ \omega_{21} = -\omega_{12} \end{cases} \quad \text{ou encore} \quad \vec{\omega} = \frac{1}{2} \text{rot } \vec{u}$$

-  $\epsilon_{ij} dx_j$  représente la déformation proprement dite ou déformation pure.

La partie symétrique  $\epsilon_{ij}$  du tenseur gradient de déplacement exprime la déformation pure alors que sa partie antisymétrique  $\omega_{ij}$  représente la rotation (tout tenseur peut être décomposé en deux parties : une partie symétrique et une partie antisymétrique).

#### IV.2.3. - Déformations pures

Dans le cas de déformations infinitésimales, l'expression (IV.4) se simplifie : on peut en effet négliger les doubles produits  $e_{ki} e_{kj}$  devant  $e_{ij}$  et  $e_{ji}$ .

On a ainsi  $\Delta_{ij} = \frac{1}{2} (e_{ij} + e_{ji}) = \epsilon_{ij}$  (8)

La signification des composantes du tenseur  $\epsilon_{ij}$  apparaît simplement si on considère la relation (5) ; en effet, on a :

$$\overrightarrow{dX} \cdot \overrightarrow{dX'} - \overrightarrow{dx} \cdot \overrightarrow{dx'} = 2 \epsilon_{ij} dx_i dx'_j \quad (9)$$

IV.2.3.1. Dilatation linéaire unitaire dans une  
direction quelconque

Appliquons la relation (9) dans le cas où  $\overline{dx} = \overline{dx}'$

$$\overline{dX} = \overline{dX'} \text{ (fig. 5)}$$

$$\text{On a donc } dS^2 - ds^2 = 2\epsilon_{ij} dx_i dx_j$$

$$dS^2 = dX_i^2 \quad ds^2 = dx_i^2$$

Considérons le vecteur unitaire  $\vec{n}$   
porté par  $\overline{dx}$ : on a donc

$$\overline{dx} = ds \vec{n} \text{ soit } dx_i = ds n_i$$

$$\text{et posons } dS = (1 + \epsilon_{nn}) ds \quad \epsilon_{nn} = \frac{dS - ds}{ds}$$

$\epsilon_{nn}$  étant la dilatation linéaire dans la direction  $n$

La relation (10) s'écrit donc :

$$\frac{dS^2 - ds^2}{ds^2} = 2 \epsilon_{ij} n_i n_j$$

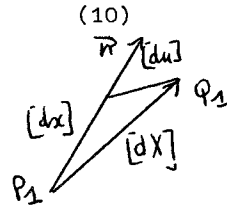
$$\text{soit } 1 + \epsilon_{nn} = \sqrt{1 + 2\epsilon_{ij} n_i n_j} \simeq 1 + \epsilon_{ij} n_i n_j$$

$$\boxed{\epsilon_{nn} = \epsilon_{ij} n_i n_j} \quad (12)$$

Soit en développant :

$$\epsilon_{nn} = \epsilon_{11} n_1^2 + \epsilon_{22} n_2^2 + \epsilon_{33} n_3^2 + 2\epsilon_{12} n_1 n_2 + 2\epsilon_{23} n_2 n_3 + 2\epsilon_{13} n_1 n_3$$

Cette relation est analogue à la relation (III.4) établie pour  
la contrainte normale  $\sigma_{nn}$ .



(11)

Notation matricielle : par analogie avec  $\sigma_{nn}$  (III.4')

$$\epsilon_{nn} = [\tilde{n}] [\epsilon] [n] \quad (12')$$

Remarque : si  $\vec{n}$  est parallèle à l'axe  $Ox_1$ ,  $n_1 = \delta_{11}$  et on a

$$\epsilon_{nn} = \epsilon_{11}$$

De même pour les axes  $Ox_2$  et  $Ox_3$ .

Les composantes diagonales de  $\epsilon_{ij}$  représentent donc la dilatation linéaire unitaire selon les axes de coordonnées.

IV.2.3.2. Distorsion d'un angle quelconque ( $\vec{n}, \vec{t}$ )  
(fig. 5)

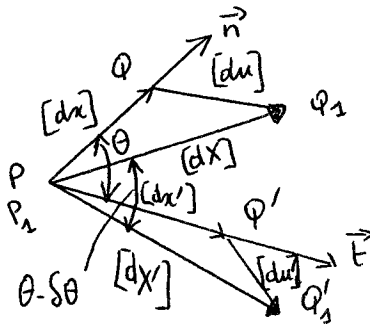


Figure 5

Appliquons la relation (9) aux deux vecteurs  $\vec{dx}$  et  $\vec{dx}'$  et respectivement parallèles aux directions  $\vec{n}$  et  $\vec{t}$  faisant entre elles un angle  $\theta$  (fig. 5).

$$\text{On a } \vec{dx} = ds \vec{n} \quad \vec{dx}' = ds' \vec{t}$$

$$\text{et } \vec{n} \cdot \vec{t} = \cos \theta$$

Soit  $\varphi = \theta - \delta\theta$  l'angle  $(\vec{dx}, \vec{dx}')$ ,  $\delta\theta$  étant la distorsion de ( $\vec{n}, \vec{t}$ )

$$\text{Il vient : } \vec{dx} \cdot \vec{dx}' = \vec{dx} \cdot \vec{dx}' + 2 \epsilon_{ij} dx_i dx'_j$$

soit en tenant compte de la relation (11) :

$$\begin{aligned} |\vec{dx}| &= ds = (1 + \epsilon_{nn}) ds \\ |\vec{dx}'| &= ds' = (1 + \epsilon_{n'n'}) ds' \end{aligned}$$

$$(1 + \epsilon_{nn}) (1 + \epsilon_{n'n'}) ds ds' \cos \varphi = (\cos \theta + 2\epsilon_{ij} n_i t_j) ds ds'$$

$$\cos(\theta - \delta\theta) = \cos\theta \cos\delta\theta + \sin\theta \sin\delta\theta$$

$$\approx \cos\theta + \sin\theta \times \delta\theta$$

si  $\delta\theta$  est petit

soit en négligeant les termes du second ordre

$$\cos\theta(\epsilon_{nn} + \epsilon_{tt}) + \delta\theta \sin\theta = 2 \epsilon_{ij} n_i t_j \quad (13)$$

Cas particulier : Si  $\vec{n}$  est perpendiculaire à  $\vec{t}$ ,  $\theta = \frac{\pi}{2}$

$$\delta\theta \frac{\pi}{2} = 2 \epsilon_{ij} n_i t_j = 2 \epsilon_{nt} \quad (14)$$

Soit en développant :  $2\epsilon_{ij} n_i t_j = 2[\epsilon_{11} n_1 t_1 + \epsilon_{22} n_2 t_2 + \epsilon_{33} n_3 t_3$

$$+ \epsilon_{12}(n_1 t_2 + n_2 t_1) + \epsilon_{23}(n_2 t_3 + n_3 t_2)$$

$$+ \epsilon_{13}(n_1 t_3 + n_3 t_1)]$$

Dans le cas où  $\vec{n}$  est parallèle à l'axe  $Ox_1$  et  $\vec{t}$  parallèle à l'axe  $Ox_2$

$$\vec{n} \begin{vmatrix} 1 \\ 0 \\ 0 \end{vmatrix} \quad \vec{t} \begin{vmatrix} 0 \\ 1 \\ 0 \end{vmatrix} \quad 2\epsilon_{ij} n_i t_j = 2\epsilon_{12} = \delta\theta \quad (1,2) \quad (15)$$

Il en est de même pour  $\epsilon_{13}$  et  $\epsilon_{23}$ . Ainsi les composantes non diagonales de  $\epsilon_{ij}$ , représentent les demi-variations d'angles initialement droits, de côtés parallèles aux axes de coordonnées soit par définition, les demi-distorsions. On les appelle déformations transversales ou de cisaillement.

#### IV.2.3.3. - Déformation d'un cube unitaire

Considérons un cube d'arête unité dont les arêtes sont parallèles aux trois axes  $Ox_1$ ,  $Ox_2$  et  $Ox_3$  et son transformé (fig. 6).

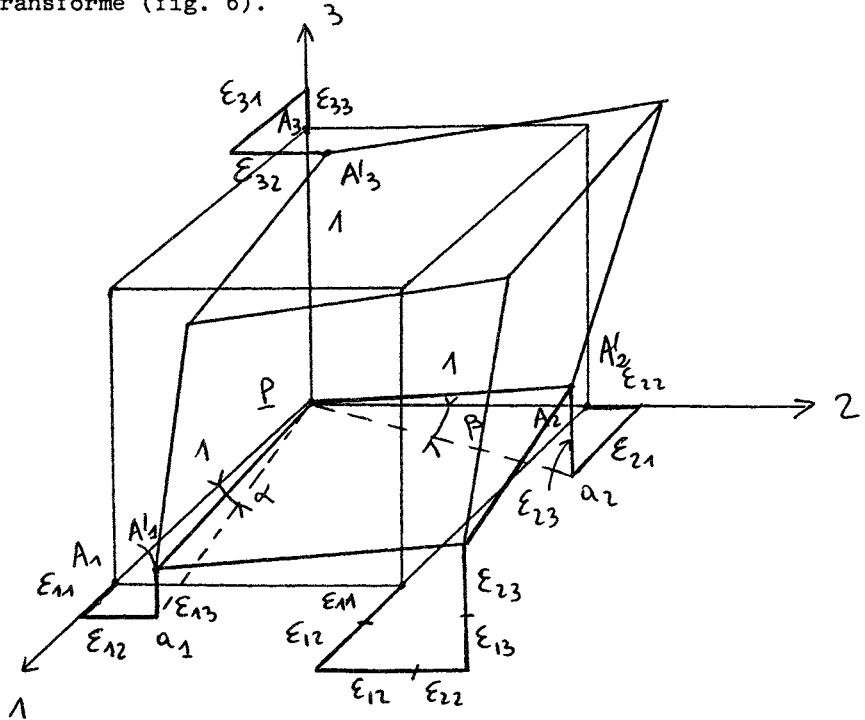


Figure 6

On a  $[du] = [\epsilon] [dx]$   $du_i = \epsilon_{ij} dx_j$   
 $[du]$  étant le déplacement dû à la déformation uniquement.

Ainsi pour le point  $A_1$  :

$$[\Delta_1] = [\epsilon] \begin{bmatrix} 1 \\ 0 \\ 0 \end{bmatrix} = \begin{bmatrix} \epsilon_{11} \\ \epsilon_{12} \\ \epsilon_{13} \end{bmatrix}$$

point  $A_2$

$$[\Delta_2] = [\epsilon] \begin{bmatrix} 0 \\ 1 \\ 0 \end{bmatrix} = \begin{bmatrix} \epsilon_{21} \\ \epsilon_{22} \\ \epsilon_{23} \end{bmatrix}$$

point  $A_3$

$$[\Delta_3] = [\epsilon] \begin{bmatrix} 0 \\ 0 \\ 1 \end{bmatrix} = \begin{bmatrix} \epsilon_{31} \\ \epsilon_{32} \\ \epsilon_{33} \end{bmatrix}$$

point de coordonnées  $(1,1,0)$  subit un déplacement :

$$[du] = \begin{bmatrix} \epsilon_{11} & \epsilon_{12} & \epsilon_{13} \\ \epsilon_{12} & \epsilon_{22} & \epsilon_{23} \\ \epsilon_{13} & \epsilon_{23} & \epsilon_{33} \end{bmatrix} \begin{bmatrix} 1 \\ 1 \\ 0 \end{bmatrix} = \begin{bmatrix} \epsilon_{11} + \epsilon_{12} \\ \epsilon_{12} + \epsilon_{22} \\ \epsilon_{13} + \epsilon_{23} \end{bmatrix}$$

#### Remarque 1 : Déformation homogène

Une déformation est dite homogène quand les  $\epsilon_{ij}$  (donc  $\epsilon_{ij}$ ) sont des constantes.

Dans ces conditions, on peut intégrer les relations (1) ; il vient :

$$u_i = (u_0)_i + \epsilon_{ij} x_j$$

$(u_0)_i$  étant le déplacement du point situé à l'origine.



Si on ne considère que la déformation pure :

$$u_i = \epsilon_{ij} x_j$$

Une courbe  $f(x_i) = 0$  devient après déformation  $f(x'_i) = 0$  avec

$$x'_i = x_i + u_i = x_i + \epsilon_{ij} x_j = (\delta_{ij} + \epsilon_{ij}) x_j$$

C'est une transformation linéaire. Par conséquent, durant la transformation, une droite reste une droite, un plan reste un plan, des droites ou plans parallèles restent parallèles, toutes les droites ayant la même direction sont dilatées ou contractées dans le même rapport. Les courbes ne changent pas de degré.

Remarque 2 :

Sur la figure 6, seuls sont représentés les déplacements  $u_i$  dus à la déformation pure. Les déplacements d'ensemble (translation et rotation) ne sont pas représentés.

a - Dilatation linéaire unitaire :

Elle est égale à (fig. 6) :

$$\frac{PA'_1 - PA_1}{PA_1} = \frac{\sqrt{(1 + \epsilon_{11})^2 + \epsilon_{12}^2 + \epsilon_{13}^2} - 1}{1}$$

$$\approx \frac{(1 + 2\epsilon_{11})^{1/2} - 1}{1} \approx \epsilon_{11}$$

$\epsilon_{11}$  est la dilatation linéaire unitaire dans la direction 1

$\epsilon_{22}$  " " 2

$\epsilon_{33}$  " " 3

On retrouve évidemment les résultats du § IV.23.1.

b - Distorsion de l'angle droit (1,2)

$$\overbrace{PA'_1, PA'_2} = \overbrace{PA_1, PA_2} - \text{distorsion} \approx \overbrace{PA_1, PA_2}$$

$$\overbrace{PA_1, PA_2} = \overbrace{PA_1, PA_2} - (\alpha + \beta)$$

$$\text{or } \text{tg} \alpha \approx \alpha \approx \frac{\epsilon_{12}}{1 + \epsilon_{11}} \approx \epsilon_{12} (1 - \epsilon_{11}) \approx \epsilon_{12}$$

$$\beta \approx \text{tg} \beta \approx \epsilon_{12}$$

$$\overbrace{PA_1, PA_2} = \overbrace{PA_1, PA_2} - 2\epsilon_{12}$$

Distorsion de l'angle droit (1,2) =  $2\epsilon_{12}$

De même " (2,3) =  $2\epsilon_{23}$

(1,3) =  $2\epsilon_{13}$

En résumé (fig. 7) :

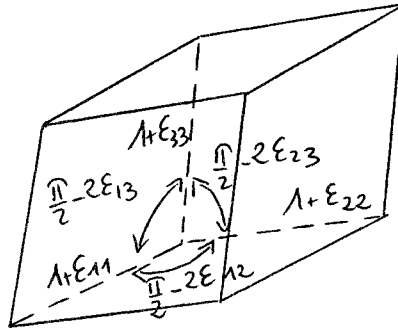


Figure 7

c - Dilatation cubique (ou volumique) unitaire

$$\theta = \frac{V - V_0}{V_0} \quad V_0 = 1 \quad V = (\overrightarrow{PA'_1}, \overrightarrow{PA'_2}, \overrightarrow{PA'_3})$$

$$V = \text{produit mixte} = \overrightarrow{PA'_1} \cdot (\overrightarrow{PA'_2} \wedge \overrightarrow{PA'_3})$$

$$V = \begin{vmatrix} 1 + \epsilon_{11} & \epsilon_{12} & \epsilon_{13} \\ \epsilon_{12} & 1 + \epsilon_{22} & \epsilon_{23} \\ \epsilon_{13} & \epsilon_{23} & 1 + \epsilon_{33} \end{vmatrix} \approx 1 + \epsilon_{11} + \epsilon_{22} + \epsilon_{33} = 1 + \epsilon_{ii}$$

si on se limite aux termes du premier ordre en  $\epsilon_{ij}$ .

soit 
$$\theta = \epsilon_{11} + \epsilon_{22} + \epsilon_{33} = \epsilon_{ii} = \text{trace } \epsilon_{ij} = I_1 \quad (16)$$

$I_1$  étant l'invariant linéaire  $= \text{div } \vec{u} = \frac{\partial u_i}{\partial x_i}$

La dilatation cubique étant égale à la trace du tenseur des déformations (ou de celle du gradient du déplacement  $\epsilon_{ij}$ ), il est évident que ce résultat est indépendant de la forme de l'élément de volume considéré et du système d'axes choisis.

Remarque : si on ne néglige pas les termes du second et troisième ordre en  $\epsilon_{ij}$ , on a :

$$\theta = I_1 + I_2 + I_3$$

$I_1$ ,  $I_2$  et  $I_3$  étant respectivement les invariants linéaire, quadratique et cubique du tenseur  $\epsilon_{ij}$ .

Ces invariants sont naturellement analogues à ceux définis pour le tenseur  $\sigma_{ij}$  (cf. § III.2.2. et § I.7).

#### IV.2.3.4. - Etat de déformation autour d'un point. Eléments principaux

Il y a analogie avec les contraintes (cf. § III.2). En un point P et dans la direction  $\vec{n}$ , on porte un vecteur PQ de longueur r (fig. 8).

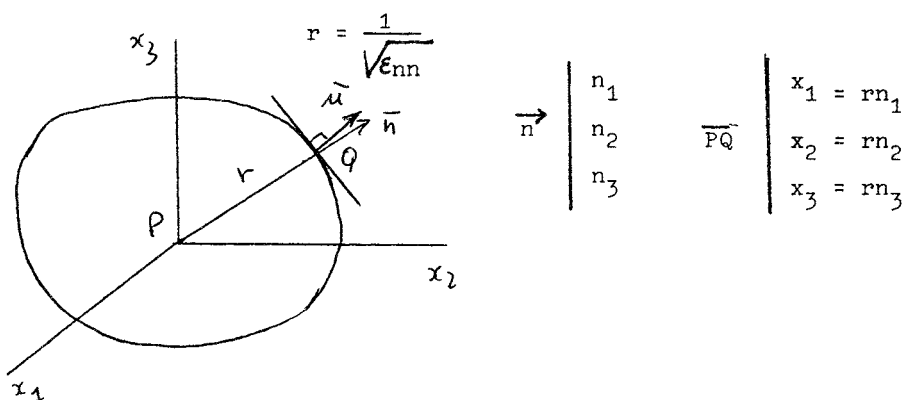


Figure 8

Le lieu géométrique de l'extrémité du vecteur  $\overline{PQ}$  est donné par :

$$r^2 \epsilon_{nn} = \pm 1$$

soit d'après la relation (IV.12)

$$\epsilon_{11}x_1^2 + \epsilon_{22}x_2^2 + \epsilon_{33}x_3^2 + 2\epsilon_{12}x_1x_2 + 2\epsilon_{23}x_2x_3 + 2\epsilon_{13}x_1x_3 = \pm 1 \quad (17)$$

Le lieu géométrique de Q est la quadrique représentative du tenseur des déformations : c'est la quadrique de Cauchy dont l'équation en notation indicielle est

$$\epsilon_{ij}x_i x_j = \pm 1 \quad (17)$$

Rapportée à ses axes principaux, l'équation de la quadrique prend la forme :

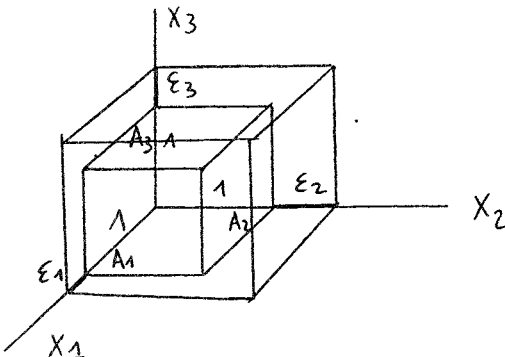
$$\epsilon_1 x_1^2 + \epsilon_2 x_2^2 + \epsilon_3 x_3^2 = \pm 1$$

Les demi-axes ont pour longueur  $\frac{1}{\sqrt{\epsilon_1}}, \frac{1}{\sqrt{\epsilon_2}}, \frac{1}{\sqrt{\epsilon_3}}$  ;  $\epsilon_1, \epsilon_2, \epsilon_3$  sont les déformations principales des déformations mutuellement orthogonales.

Par rapport aux axes principaux, le tenseur s'écrit :

$$[\epsilon_{ij}] = \begin{bmatrix} \epsilon_1 & 0 & 0 \\ 0 & \epsilon_2 & 0 \\ 0 & 0 & \epsilon_3 \end{bmatrix}$$

Dans ce système d'axes, les directions principales ne subissent pas de distorsion (fig. 9).



La signification des déformations principales est claire si on étudie un cube d'arête unité et dont les arêtes sont parallèles aux axes principaux.

Figure 9

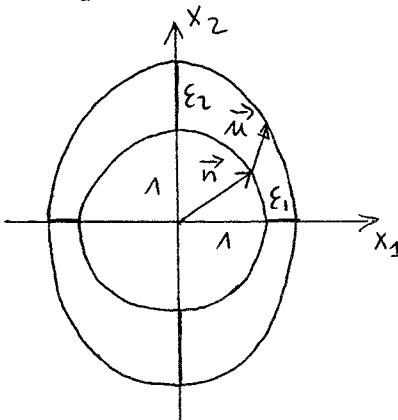
Pendant la déformation, les arêtes restent perpendiculaires ( $\epsilon_{ij} = 0 \quad i \neq j$ ) et leurs longueurs deviennent  $1+\epsilon_1, 1+\epsilon_2, 1+\epsilon_3$   $\epsilon_1, \epsilon_2, \epsilon_3$  étant les dilatations linéaires dans les directions principales.

Remarque 1 : si on tient compte des déplacements d'ensemble (rotation et translation), les axes principaux de la déformation ne gardent pas leurs directions initiales pendant le déplacement (sauf si  $\omega_{ij} = 0$ ) mais ils restent perpendiculaires durant la déformation.

Remarque 2 : la direction du vecteur déplacement  $\vec{u}$  (dû à la déformation pure) est donnée par la construction du rayon normal à la quadrique de Cauchy (fig. 8).

$$u_i = \epsilon_{ij} n_j$$

Ainsi une sphère unité se transforme en ellipsoïde par application de  $[\epsilon_{ij}]$  de demi-axes  $1+\epsilon_1, 1+\epsilon_2, 1+\epsilon_3$  (fig. 10).



En effet, l'équation de la sphère est  $x_1^2 + x_2^2 + x_3^2 = 1$   
Après déformation, on a :

$$x'_1 = x_1(1 + \epsilon_1)$$

$$x'_2 = x_2(1 + \epsilon_2)$$

$$x'_3 = x_3(1 + \epsilon_3)$$

Soit

$$\frac{x'^2_1}{(1+\epsilon_1)^2} + \frac{x'^2_2}{(1+\epsilon_2)^2} + \frac{x'^2_3}{(1+\epsilon_3)^2} = 1$$

Figure 10

Equation de l'ellipsoïde des dilatations

Remarque 3 : par rapport aux axes principaux, les équations (IV.12) et (IV.14) se simplifient :

$$\epsilon_{nn} = \epsilon_1 n_1^2 + \epsilon_2 n_2^2 + \epsilon_3 n_3^2 \quad (18)$$

$$\epsilon_{nt} = \epsilon_1 n_1 t_1 + \epsilon_2 n_2 t_2 + \epsilon_3 n_3 t_3 \quad (19)$$

Remarque 4 : si l'on connaît une direction principale  $X_3$ , la recherche des éléments principaux du plan  $X_1 X_2$  se fait comme pour les contraintes (§ III.2.4.) soit :

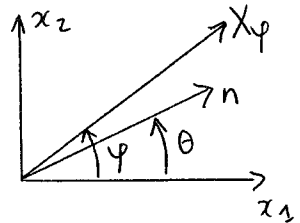
- par la méthode algébrique
- par la méthode graphique : cercles de Mohr

$\epsilon_{nn}$  est équivalent à  $\sigma_{nn}$   
 $\epsilon_{nt}$  est équivalent à  $\tau_{nt}$  ( $\vec{n} \perp \vec{t}$ )

Dans le plan  $(x_1, x_2)$ ,  $X_3$  étant direction principale, on a :

$$\begin{aligned} \epsilon_{nn} &= \epsilon_{11} \cos^2 \theta + \epsilon_{22} \sin^2 \theta + 2 \epsilon_{12} \cos \theta \sin \theta \\ &= \frac{\epsilon_{11} + \epsilon_{22}}{2} + \frac{\epsilon_{11} - \epsilon_{22}}{2} \cos 2\theta + \epsilon_{12} \sin 2\theta \end{aligned}$$

$$\begin{aligned} \epsilon_{nt} &= -\epsilon_{11} \sin \theta \cos \theta + \epsilon_{22} \sin \theta \cos \theta \\ &\quad + \epsilon_{12} (\cos^2 \theta - \sin^2 \theta) \\ &= -\frac{\epsilon_{11} - \epsilon_{22}}{2} \sin 2\theta + \epsilon_{12} \cos 2\theta \end{aligned}$$



Les directions principales sont données par :

$$\operatorname{tg} 2\varphi = \frac{2\epsilon_{12}}{\epsilon_{11} - \epsilon_{22}} \quad \epsilon_{\varphi} \geq \epsilon_{\varphi'}, \quad \varphi \text{ est tel que } \cos 2\varphi \text{ est du}$$

signe de  $\epsilon_{11} - \epsilon_{22}$  (voir § III.2.4)

IV- 21 - )

$$\begin{aligned}\epsilon_{\varphi} &= \frac{\epsilon_{11} + \epsilon_{22}}{2} + \frac{\epsilon_{11} - \epsilon_{22}}{2} \frac{1}{\cos 2\varphi} \\ \epsilon_{\varphi'} &= \frac{\epsilon_{11} + \epsilon_{22}}{2} - \frac{\epsilon_{11} - \epsilon_{22}}{2} \frac{1}{\cos 2\varphi} \\ \epsilon_{\varphi'} &= \frac{\epsilon_{11} + \epsilon_{22}}{2} \pm \frac{1}{2} \sqrt{(\epsilon_{11} - \epsilon_{22})^2 + 4\epsilon_{12}^2}\end{aligned}\quad (20)$$

Remarque 5 : Tenseur déviateur

De manière analogue au tenseur des contraintes (§ III.2.6), on peut décomposer le tenseur de formation  $\epsilon_{ij}$  en la somme de deux tenseurs  $\epsilon_{ij}^d$  et  $\epsilon_{ij}^s$  avec

$$\epsilon_{ij}^s = \begin{pmatrix} \epsilon_m & 0 & 0 \\ 0 & \epsilon_m & 0 \\ 0 & 0 & \epsilon_m \end{pmatrix} \quad \epsilon_m = \frac{\epsilon_{ii}}{3} = \text{déformation moyenne}$$

qui représente un état de déformation sphérique correspondant uniquement à un changement de volume sans distorsions et conservant l'isotropie du milieu.

$$\text{et } \epsilon_{ij}^d = \begin{pmatrix} \frac{2\epsilon_{11} - \epsilon_{22} - \epsilon_{33}}{3} & \epsilon_{12} & \epsilon_{13} \\ \epsilon_{12} & \frac{2\epsilon_{22} - \epsilon_{11} - \epsilon_{33}}{3} & \epsilon_{23} \\ \epsilon_{13} & \epsilon_{23} & \frac{2\epsilon_{33} - \epsilon_{11} - \epsilon_{22}}{3} \end{pmatrix} \quad (21)$$

qui correspond au contraire à une déformation sans dilatation volumique mais avec distorsion ou cisaillement :  $\epsilon_{ij}^d$  est appelé tenseur déviateur : (sa trace est nulle).

Par rapport aux axes principaux, on a :

$$\begin{pmatrix} \epsilon_1 & 0 & 0 \\ 0 & \epsilon_2 & 0 \\ 0 & 0 & \epsilon_3 \end{pmatrix} = \begin{pmatrix} \epsilon_m & 0 & 0 \\ 0 & \epsilon_m & 0 \\ 0 & 0 & \epsilon_m \end{pmatrix} + \begin{pmatrix} \frac{2\epsilon_1 - \epsilon_2 - \epsilon_3}{3} & 0 & 0 \\ 0 & \frac{2\epsilon_2 - \epsilon_1 - \epsilon_3}{3} & 0 \\ 0 & 0 & \frac{2\epsilon_3 - \epsilon_1 - \epsilon_2}{3} \end{pmatrix}$$

Une déformation quelconque peut être considérée comme la somme d'un état de déformation sphérique et d'un état de déformation sans changement de volume.

#### IV.3 - Formes particulières prises par le tenseur des déformations

##### a) Déformation plane et cisaillement pur

Le solide est dit en état de déformation plane si l'une des dilatations principales est nulle. Un cas particulier important est le cisaillement pur.

Dans le cas d'un cisaillement pur autour de  $Ox_3$ ,  $\epsilon_{ij}$  prend la forme

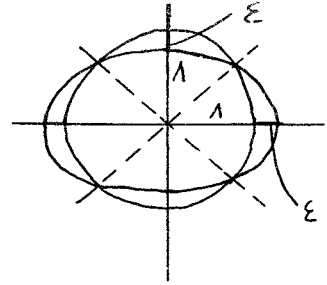
$$\begin{bmatrix} \epsilon_{ij} \end{bmatrix} = \begin{bmatrix} 0 & \epsilon & 0 \\ \epsilon & 0 & 0 \\ 0 & 0 & 0 \end{bmatrix} \quad \text{qui rapporté à ses axes principaux par une rotation de } 45^\circ \text{ donne:}$$

$$\begin{bmatrix} -\epsilon & 0 & 0 \\ 0 & \epsilon & 0 \\ 0 & 0 & 0 \end{bmatrix}$$

La déformation de cisaillement pur correspond à la contrainte de cisaillement pur vue au chapitre précédent.



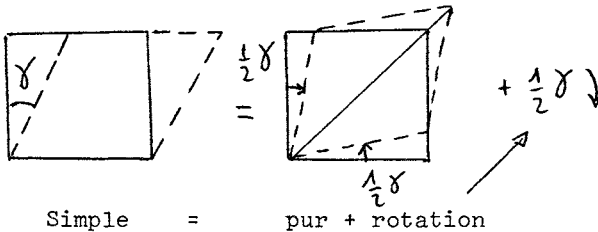
La construction du cercle de Mohr est identique. Dans ce type de déformation, la dilatation est nulle.



Déformation de cisaillement pur d'une sphère rayon unité.

#### b) Cisaillement simple

On appelle cisaillement simple la somme d'un cisaillement pur et d'une rotation.



Simple = pur + rotation

#### Remarque 1 : Déformation non homogène

Les résultats précédents peuvent être généralisés aux déformations non homogènes. On considèrera alors une petite région où la contrainte est sensiblement homogène. On définit ainsi en chaque point les trois directions de déformations principales, variant en général d'un point à un autre. De même pour le quadrique de déformation dont la grandeur, la forme et l'orientation varient d'un point à un autre.

#### Remarque 2 :

La déformation d'un cristal ne forme pas l'une de ses propriétés physiques uniquement liée au cristal lui-même et en particulier à sa symétrie : elle constitue la réponse du cristal à une sollicitation mécanique (élasticité) ou électrique (piézoélectricité). La déformation produite par une contrainte mécanique ou un champ électrique n'a pas nécessairement la symétrie du cristal, à moins que la contrainte mécanique ou le champ ne possèdent eux-mêmes cette symétrie. La déformation résultant d'une variation de température (dilatation thermique) doit par contre être conforme à la symétrie cristalline.

#### IV.4 - Dilatation thermique

La déformation associée à une variation de température peut être représentée par le tenseur des déformations  $[\epsilon_{ij}]$ . Pour une petite variation uniforme  $\Delta T$  de la température, la déformation est homogène et les composantes de  $[\epsilon_{ij}]$  sont :

$$\epsilon_{ij} = \alpha_{ij} \Delta T \quad (11)$$

$\alpha_{ij}$  = constantes = coefficients de dilatation thermique  
 $[\epsilon_{ij}]$  est un tenseur symétrique donc  $[\alpha_{ij}]$  est aussi un tenseur symétrique,  
 Si ce tenseur est rapporté à ses axes principaux, les équations (11) se simplifient :

$$\epsilon_1 = \alpha_1 \Delta T \quad \epsilon_2 = \alpha_2 \Delta T \quad \epsilon_3 = \alpha_3 \Delta T$$

$\alpha_1, \alpha_2, \alpha_3$  étant les coefficients principaux de dilatation.

La dilatation thermique d'un cristal doit présenter la symétrie du cristal (principe de Neumann : les éléments de symétrie des propriétés physiques contiennent au moins ceux du groupe à centre du cristal). La dilatation thermique ne peut donc détruire aucun de ses éléments de symétrie (sauf dans le cas d'un changement de phase) : aussi la classe d'un cristal ne dépend pas de la température. Le coefficient volumique de dilatation thermique est  $\alpha_{ii}$  ; c'est un invariant :

$$\Delta = \frac{\Delta V}{V_0} = \epsilon_{ii} = \alpha_{ii} \Delta T \quad (12)$$

Remarque : Au cours de ce chapitre, nous avons donné les composantes du tenseur déformations dans le système d'axes de coordonnées rectangulaires (système cartésien).

Dans l'annexe I, on trouvera la démonstration des expressions des composantes du tenseur déformation en coordonnées sphériques et cylindriques (ces deux systèmes étant très souvent utilisés pour résoudre les problèmes pratiques).